

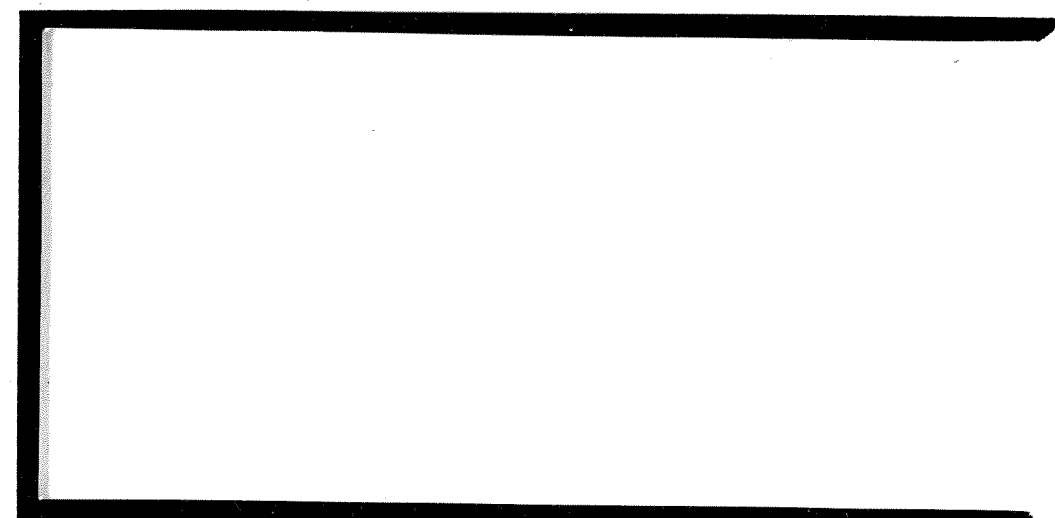


TÜRKİYE BİLİMSEL VE
TEKNİK ARAŞTIRMA KURUMU

THE SCIENTIFIC AND TECHNICAL
RESEARCH COUNCIL OF TURKEY

Dep

1997-423



Temel Bilimler Araştırma Grubu
Basic Sciences Research Grant Committee

**REFRAKTER METALLERDE ARA-İKAME
ATOMLARLA DİSLOKASYONLARIN
ETKİLEŞİMLERİNDEN DOĞAN İÇ SÜRTÜNME
TAYFLARININ BİLGİSAYAR SİMULASYONU**

PROJE NO : TBAG-1211

**Prof.Dr. Tarık Ömer OĞURTANI
Dr. Mehmet Rauf GÜNGÖR**

**Ocak, 1996
Ankara**

Ö N S Ö Z

Bu Çalışmanın ilk adımlarının atıldığı “Institut für Physik, Max-Planck-Institut für Metallforschung, Stuttgart”ın Direktörü Sayın Profesör Dr. Alfred Seeger'e teşekkür ederiz. Keza, simulasyon araştırma laboratuarının ilk komputer sisteminin teminini maddi (50000DM) bakımından destekleyen “Deutsche Gessellschaft für Technische Zusammenarbeit, DGTZ” a ve “METU Özel Araştırma Fonuna, AFP” katkılarından dolayı şükranlarımıza arzederiz.

Bu çalışmanın büyük çapta oluşumunu, TBAG-1211 projesi kapsamı içerisinde TUBITAK desteklemiştir. Zikretmeyi, ve teşekkürlerimizi ayrıcalıkla belirtmeyi görev biliyoruz.

İÇ İNDEKİLER

Önsöz	ii
İçindekiler	iii
Şekillerin Listesi	v
Öz	viii
Abstract	ix
I. GİRİŞ	1
II. DEKORASYON TAYFININ MAKRO- MODELLENMESİ	4
2.1 MATEMATİK MAKRO-MODEL	4
2.2 NORMALİZASYON TEKNİĞİ	6
III. DİNAMİK İÇ SÜRTÜNME KATSAYISI	10
IV. GÜC SPEKTRUM YOĞUNLUĞU ANALİZİ	11
4.1 METODUN TANITIMI	11
4.2. TEORİK ÖZÜMLEME	13
4.3. UYGULAMA YÖNTEMİ	14
V. SİMULASYON SONUÇLARI VE İRDELEMELER	15
5.1. İÇ SÜRTÜNME KATSAYISI BULGULARI	15
5.2. GÜC KAYIPLARI İLE İLGİLİ SONUÇLAR	31

VI. GENEL DEĞERLENDİRME	37
6.1. KINK MOBİLİTESİ	37
6.2. SONUÇLAR VE ÖZETLEME	40
 REFERANSLAR	 41
 E K L E R	
 EK. A: Komputer Programı; Yaygın Ara-İkame. Paskal	45
“LUMP.PAS”	
 EK.B: Komputer Programı; Güc Spektral Analizi	58
“SPECTRUM.PAS”	
 EK.C: Komputer Programı;, Dekorasyon I ,Basic	65
“LUMPAM52”	
 EK.D: Komputer Programı;, Dekorator II , Basic	69
“LUMPAM53	

Ş E K İ L L E R İ N B A Ş L I K L A R I

1. Kink zinciri üzerine yerleşik Dekoratör atomundan dolayı ortaya çıkan Tayf yarı logaritmik ölçek üzerinde, yaygın ara-ikame atomlara göre normalize edilmiş gevşeme zamanına göre (ters sıcaklık ekseni) plot edilmiştir. Bu şekil, seçilen uygun parametrelere karşısında, dekoratör ve yaygın ara-ikame atomlarından sonuçlanan dislokasyon sönüüm spektrumunun gayet ayrık olarak ortaya çıkabileceğini kanıtlamaktadır. Parameterler: $h=0.2$ (kesirsel göc entalpi farkı), $j_d=1$ (yapışma güç oranı), $\omega\tau_u^o=10^{-12}$ ve $N_k=3$; [$F_{bias}=0$, $F_s=0.1$, $R_p=1$, $L=100$].
2. Kinklerle birlikte sürükleen dekoratör atomlarının, ana yaygın ara-ikame atomlarından dolayı oluşan dislokasyon sönüüm (damping) tayflına olan etkisini görmek için, farklı difüzyon entalpi değerleri gösteren dekoratörler kullanılmış, ve yarı logaritmik ölçek üzerinde İç Sürtünme Katsayısı normalize relaksasyon zamanına, veya ters sıcaklık koordinatına, göre plotlanmıştır. Parameterler: $\phi_d=1$, $\omega\tau_u^o=10^{-12}$ ve $N_k=3$; [$F_{bias}=0$, $F_s=0.1$, $R_p=1$, $L=100$].
3. Dekoratör atomlarından dolayı ortaya çıkan İç Sürtünme Katsayısı mühtelif logaritmik entalpi farkları için, normalize olmuş gevşemis zamanına, veya sıcaklık tersine göre yarı logaritmik ölçek üzerinde plot edilmiştir. Parameterler: $j_d=1$, $\omega\tau_u^o=10^{-12}$ ve $N_k=3$; [$F_{bias}=0$, $F_s=0.1$, $R_p=1$, $L=100$].

4. Dekoratör atomlarından dolayı oluşan tayflara ait İç Sürtünme Katsayıları mühtelif yapışma oranlarına nazarı dikkate alınarak yarı logaritmik skala üzerinde normalize gevşeme zamanına, veya sıcaklık tersine göre plotlanmıştır. Parameterler: $h=0$, $\omega\tau_u^o=10^{-12}$ ve $N_k=3$; [$F_{bias}=0$, $F_s=0.1$, $R_p=1$, $L=100$].
5. Çizgisel kink yoğunluğunun gerek dekoratör ve gerekse yaygın ara-ikame atomlarından dolayı oluşan spektruma etkisini incelemek gayesiyle, İç Sürtünme Katsayıları yarı logaritmik ölçek üzerinde normalize edilmiş gevşeme zamanına göre plot edilmiştir. Bu şekil bize yaygın atomlarla ilişkili peyk ve esas tayfların ayısimını açıkca göstermektedir. Parameterler : $j_d=100$, ve $h=0$, $\omega\tau_u^o=10^{-12}$; [$F_{bias}=0$, $F_s=0.1$, $R_p=1$, $L=100$].
6. İç Sürtünme Katsayısı, mühtelif gerilik amplitüdleri için, yarı-logaritmik ölçekde normalize edilmiş Snoek gevşeme zamanına göre plot edilmiştir. Bu şekil bize anormal gerilik amplitüdü (anomalous stress amplitude) bağımlılığı göstermekte, ve yüksek ara-ikame atomları konsentrasyonlarında İç Sürtünme tayfinin doyuma ulaşıldığını işaret etmektedir. $F_s=2$ değerine tekabül eden spektrumda görülen ani sıçrama gerçek olup kinkin atmosferi yırtması olayına karşılık gelmektedir. Parameterler: $F_{bias}=0$, $L=100$, ve $N_k=3$ (Normalize olmuş sistem rezonans frekansı, $\tilde{\Omega}_A=10$).
7. Güc spektral yoğunluğu, $S(\omega)$ normalize olmuş frekansa, ω göre (dış sürücü frekansı) mühtelif gerilik amplitüdlerine, F_s için plot edilmiştir. Bu şekil sistemin tabii frekansı ($\tilde{\Omega}_A=20$) civarında tek-harmoniklerin jenera olduğunu göstermektedir. Bu çalışmalarında nisbeten mütevazi gerilik amplitüdleri kullanılmıştır. Çok yüksek gerilik amplitüdlerinde geniş band gürültü spektrumu, ve buna bindirilmiş gayet keskin tayfların ortaya çıktığı gözlenmektedir. Parameterler: $F_{bias}=0$, $L=100$, $N_k=3$ (data kayıtları $\tilde{\Omega}_B=1$ değerinde alınmıştır).

8. Güc spektral yoğunluğu, $S(\omega)$ normalize olmuş frekansa, ω göre (dış sürücü frekansı) muhtelif gerilim amplitüdlerine, F_s için plot edilmiştir. Bu deneylerde çok yüksek sistem tabii frekansı kullanılmıştır, ($\tilde{\Omega}_A=50$). Bu şekil bize tek-harmoniklerin tamamen silindiğini, ve yerlerine geniş band gürültü spektrumlarının olduğunu göstermektedir. Parameterler; $F_{bias}=0$, $L=100$, $N_k=3$ (data $\tilde{\Omega}_B=1$ deðerinde kayýt edilmiptir).

9. Güc spektral yoğunluğu, $S(\omega)$ normalize olmuş frekansa, ω göre (dış sürücü frekansı) ve mütevazi bir gerilim amplitüdünde, $F_s = 5$ yarı-logarithmik skala kullanılarak plot edilmiştir. Sistemde kullanılan sürücü frekansı, ($\tilde{\Omega}_A=50$ çok düşük olup gevşeme modundaki bir çalışmaya tekabül etmektedir. Bu şekil geniş band gürültü spektrumu jenerasyonu yanında, buna bindirilmiş konumda, bazı gayet keskin hat tayflarının ortaya çiktigini göstermektedir. Parameterler; $F_{bias}=0, L=100$, $N_k=3$ (data kayıtları şu deðerde alınmıştır; $\Omega_B=1$) , ve yumusatma indeksi (the smoothing index) olarak 2 seçilmiştir).

ÖZ

Paraelastik, yaygın ara-ikame atomlarından oluşan atmosfer içersinde osilasyonlar yapan, kink zincirinin ortasına yerleştirilmiş, sürünen bir dekoratör atomunu da içeren sistemi temsil eden, eğik differensiye denklemler takımı, özel bir yeniden normalizasyon ve ölçekleme tekniği kullanılarak sayısal olarak çözülmüştür. Elde edilen iç sürtünme katsayısı iki ayrı spektrumun varlığını, dekoratör ve ana yaygın ikame atomlarına ait, ortaya atmaktadır ki, bunlar sırasıyla lokalize olmuş nokta (sürünen) hata ile paraelastik ara-ikame atmosferlerini oluşturmaktadırlar.

Ayrıca, Çabuk Fürye Transformasyonu (Fast Fourier Transformation, FFT) ile paraelastik ara-ikame atmosferinde osilasyon yapan kink zincirinin güç spektral analizi yapılmıştır. Gayet keskin bir şekilde temayüz eden, bir gerilim amplitüdünün üstündeki değerlerde, ve dislokasyon iç sürtünme tayfinin düşük sıcaklıktaki bölgesinde, tek-harmonik jenerasyonuna raslanmıştır. Mütevazi gerilim amplitüdlerinde ise, sistemin tabii frekansı civarındaki harmoniklerde bir siddetlenme, ve diğerlerinde tamamen bastırılma gözlemlenmiştir. En nihayet, atmosfer yırtma olayına tekabül eden quazi-kaotik kink osilasyonlarına, sistem kuvvetli olarak süper-Snoek rejiminde sürülürken müşahede edilmiştir.

ABSTRACT

The set of non-linear differential equations which describes the kink chain oscillating in an atmosphere of continuously distributed paraelastic interstitials, and in addition, decorated by a dragging point defect at the midpoint, is solved numerically after introducing a novel scaling and re-normalization procedure. The internal friction coefficient obtained indicates the existence of two separate peaks, the decoration peak and the parent peak, which are directly related to the localized point defect dragging and the paraelastic interstitial atmosphere, respectively.

The power spectrum of a built-in kink chain oscillating in an atmosphere of paraelastic interstitials is investigated numerically by utilizing Fast Fourier Transformation technique. Above a sharply defined value of the strain amplitude, the odd-harmonic generation is observed, only at the low temperature side of the dislocation relaxation peak associated with the interstitials-kink interaction. At moderately high strain amplitudes, a strong enhancement in those harmonics that are situated at the immediate vicinity of the natural resonance frequency of the chain, and the complete depression of the rest is clearly seen. Finally, the onset of quasi-chaotic kink oscillations is detected while system strongly driven in the super-Snoek regime where the atmosphere tearing takes place.

I. GİRİŞ

Dislokasyon sönümler teorisi ilk olarak Koehler [1] tarafından formüle edilmiş, ve daha sonraları Granato ve Lücke [2] tarafından tam bir matematik modellemeye tabii tutulmuştur. Standard teorilerde dislokasyonlar, gerilmiş ve ataleti olan teller şeklinde tasarlanmış, ve husule gelen sönümler (damping) kafes yapısının viskositesi ve tellerin boyları cinsinden ifadesini bulmuştur. Koehler-Granato-Lücke (KGL) teorisinde yalnız dislokasyon düğüm (nodal) noktaları değil, dislokasyon üzerinde yiğmiş nokta hataları da sıkı bağlayıcı noktalar olarak ele alınmıştır. Simpson, Sosin ve Johnson [4,5] tarafından yapılan elektron radyasyonuna tabii tutulmuş bakır numune deneylerinde, ve keza Seiffert, Simpson ve Sosin'in [6] elektron radyasyonuna uğramış yüksek safiyetteki polikristal halindeki alüminyum parçalarında yapılan gözlemlerde, standard KGL teorisinin genelleştirilerek nokta hatalarının dislokasyon osilasyonları esnasında sürüklendikleri nazarı itibare alınması mecburiyeti ortaya çıkmıştır.

Hirth[7] tarafından geniş bir şekilde izah edilen tutarsızlıklar dolayısıyla, KGL teorisi bir hayli tenkite uğramıştır. Seeger [8], bilhassa hacim merkezli kübik (HMK) metallerde Karbon, Azot, Oksijen ve Hidrojen (C, N, O, H) ara-ikame atomları ile ilişkili dislokasyon sönümlerini Kink-Çiftleri modeli ile izah etme yolunu açmıştır. Keza, Hirth [9] HMK dövülmüş demirde hidrojen ara-ikame atomlarının mevcudiyeti ile ortaya çıkan disalokasyon sönümunü, Kink-Çiftleri mekanizması ile açıklama yoluna gitmiştir. Soğuk dövme (cold worked) iç sürtünme tayflarının diğer bir nedenselliği de, geometrik kink zincirlerinin paraelastik ara-ikame atomları ile olan karşılıklı etkileşimleri ile izah edilebilir. Bu mekanizma, Oğurtanı ve Seeger [10,11] tarafından bir hayli geliştirilmiştir, ve çok yakınlarda da Oğurtanı [12] tarafından anormal amplitud genliklerine bağlı, iç sürtünme tayflarının açıklanmalarında kullanılmıştır.

Burada şu noktayı kuvvetle belirtmekte fayda vardır, şöyle ki; *geometrik kink zinciri* modeli Seeger ve Schiller [13], Suzuki ve Elbaum [14] tarafından ilk olarak ele alınmış, ve daha sonraları Oğurtanı ve Seeger'in [10,11] çalışmaları ile geliştirilmiştir. Matematik makro-yapı bakımından bu teorik model, KGL [15,16], Simpson ve Sosin [17,18] ve en nihayet Schoeck teorilerinde [19] ele alınan *dislokasyon ipliği* modeli ile tam bir uyum içersindedir. Brailsford [20] ve Oğurtanı [21] detaylı çalışmalar sonunda göstermiştir ki, bu iki model arasındaki analitik paralellik, lineer Newtonian viskosite rejimi [22,23] içersinde kalındığı müddetçe aynen geçerliliğini korumaktadır.

Bu araştırma nihai raporunda, dislokasyon hattı üzerinde, ve çok kuvvetli bir şekilde geometrik kinke yapışmış, fakat mobil olan nokta hataların (dekorator atomlarının) tam bir sayısal çözüm işlevi verilecek, ve keza viskosite etkisinin Newtonian olmayan karakteri de nazari dikkate alınacaktır. Yakın bir geçmişte, çizgisel (lineer) Newtonian rejimde dekorasyon probleminin sürekli ortam (continuum) takribiyet modeli, Oğurtanı [24] tarafından ele alınmış ve analitik olarak incelenmiştir. Şimdiki kidemli araştırmacı tarafından, literatürde ilk defa olarak bu tip problemin tam çözümü güçlü Laplace transformasyonu tekniği kullanılarak bulunmuş, ve iç sürtünme katsayısı (internal friction coefficient) ve moduler arıza (modular defect) hesap edilmiştir. Adı geçen çalışmada soğuk işlem tayfinin bilhassa yüksek damping oranlarında, ana-tayf ve dekorasyon-tayfı olarak iki ayrı görüntüye ayırtıldığı açıkça grafiksel olarak da gösterilmiştir. Şimdiki araştırmada kullandığımız daneli (discrete) modelde sadece sürtünmenin çizgisel olmayan karakteri değil, ve aynı zamanda sürekli ortam modelinde gözlemlenmesi mümkün olmayan ikinci mertebeden, bazı iç sürtünme davranışları da tetkik edilebilmiştir; mesela kink yoğunluğunun iç sürtünme tepeciklerine etkisi gibi.

İkinci bölümde, matematik makro-model ayrıntılı bir şekilde takdim edilecektir. Burada geliştirdiğimiz normalizasyon tekniği ile, malzemenin kendine has sayısal özelliklerini yerine, sekiz universal parametre takımı ile sistemin bütün dış etkenlere karşı gösterdiği davranışları veya reaksiyonları inceleme imkanı ortaya çıkartılmıştır. Bu tip bir transformasyon bilgisayar simülasyonu için fevkalade öneme haizdir; böylece, özgün

(specific) bir malzeme veya özgün bir nokta hatalar dizisi ile çalışılacağı yerde, diğer bir deyişle ; bunların kendine özgü özelliklerinin gerçek değerlerini matematik modellemeye kullanıldığı yerde, universal parametreleri kullanarak olayın genel davranışının hakkında bir fikir sahibi olmak mümkün olmaktadır.

Özellikle, güç kayıplarını içeren diferansiyel denklemler takımı için geliştirilmiş olduğumuz **Dinamik İç Sürünme Katsayısı**, veya Q^{-1} faktörü ifadesini, ve keza bu hususta kullanılan sayısal yöntemi, Bölüm III'de ele almış bulunmaktayız. Kink zincirin cebri osilasyonlar esnasında doğurduğu harmonikler, ve gürültü spektrumları ise, Bölüm IV'de ele alınacaktır. Burada, güç kayıpları spektral yoğunluğunun, Hızlı Fourier Transformasyonu ile hesap edilmesi esas konuyu teşkil edecektir. Coulombik ara etkileşimde bulunan kinklerden müteşekkil zincirin, içerisinde bulunduğu Snoek ve/veya Cottrell atmosferinden dolayı maruz kaldığı iç sürtünmeler, ve bunlara ilaveten kink üzerinde lokalize olmuş dekoratör atomlarının etkileri ise, Bölüm.V'de detaylı bir şekilde ele alınacaktır, ve irdelenenecektir. Keza, güç spektrumu çalışmalarının sonuçlarında bu bölümde ayrıntılı olarak sunulacaktır. Bu konuya ilgili yaptığımız çok geniş ve kapsamlı bilgisayar simulasyon deneyleri bu bölümde sistematik olarak grafikler halinde verilecektir.

Hali hazırda yürütülen bilgisayar simulasyon çalışmaları yalnız geometrik kinkler için değil, ve aynı zamanda termal kinkler için de geçerlidir, ta ki kink çiftlerinin oluşum ve kayboluşum frekansları, dıştan tatbik edilen harmonik uyarıcı gerilim frekansının çok daha üstünde olsun. Diğer bir deyişle, kink-nokta hata etkileşiminden dolayı husule gelen, soğuk plastik deformasyon iç sürtünme tayfları, daima ilişkili oldukları dislokasyonların Gama tayfinin daha yukarıındaki bir sıcaklık derecesinde zehir edeceklerinden, yukarıda zikredilen şartı tabii olarak sağlamaktadır. Böylece, Seeger teorisindeki kink çiftleri modelinin doğurduğu sonuçlar ve yargilar, şimdiki bilgisayar simulasyonu çalışmasının kapsamı içerisinde girmektedir.

II. DEKORASYON TAYFININ MAKRO- MODELLENMESİ

Hali hazırda kullanacağımız makro-model, matematik yapı bakımından, hacim merkezli kübik metal (HMK) ve alaşımalar için geliştirdiğimiz, mobil ve paraelastik arakame atomları atmosferinde osilasyon yapan geometrik kink zincirinin, kollektif davranışlarından [23,25] esastan esinlenmektedir. İlk etapta, ekstra olarak ilave edilecek lokalize olmuş fakat sürüklenebilen bir nokta hata ile, bu modelin alacağı yapısal değişiklik ele alınacaktır. Daha ilerideki safhalarда, Bölüm. VI.'de ise bilgisayar simülasyonundan elde edilen sonuçlarla, diğer analitik yarı kantitatif teorilerin ön gördükleri davranışlar karşılaştırılacak, ve en nihayette laboratuar deneyleri ile olan benzerlikleri tartışılmacaktır.

2.1 MATHEMATİK MAKRO-MODEL

Daha önce yaptığımız analitik çalışmalara [24] ve bilgisayar simülasyon ugraşımıza [23,25] dayanarak aşağıdaki matematik ifadeyi yazabiliriz;

$$N_k \partial_{tt}^2 y^i + B_u \frac{A_u \partial_t y^i}{1 + A_u^2 (\partial_t y^i)^2} + B_d \delta_{id} \frac{A_d \partial_t y^i}{1 + A_d^2 (\partial_t y^i)^2} = b a_k \sigma_r \sin(\omega t) + \sum_{j \neq i} F(y^i - y^j), \\ i=2,3,\dots,N_k-1, \quad (1)$$

burada kinkler arasındaki karşılıklı etkileşim kuvveti $F(y^i - y^j)$, modifiye edilerek zincirin iki ucundaki kinkler ile nodal noktalar arasındaki bağların güçleri, gerçekçi bir biçimde ele alınabilmesi temin edilmiştir. Bu araştırmamızda, sınır kinkleri ile nodal noktalar arasındaki

etkileşimin Coulombik olduğu varsayımları yapılmıştır, fakat şiddetli serbest olarak bırakılmıştır. Yukarıdaki denklemde, M_k kinklerin effektif kitlelerini, y^i ise i 'inci kinkin global koordinatını, B_u ise kink hareketin maruz kaldığı sürtünme direncini, ara-ikame (yayılmış haldeki) atomlarının oluşturduğu atmosferden dolayı zehur ettiği kabul edilerek, drag katsayısı olarak vermektedir (Newtonian rejimde). Keza, A_u sürekli olarak yayılmış ara-ikame atomlarının, difüzyon esnasında yaptıkları atomik sıçramaların, hız değerlerinin tersine tekabül etmekte, şu ifade $A_u = \tau_u/a_O$ ile değerlendirilmektedir. Benzer şekilde σ_r , dış gerilim (stress) sisteminin dislokasyonun kayma düzlemindeki makaslama gerilimi bileşkesine karşılık gelmektedir. Burada, τ_u Snoek gevşeme zamanıdır. b ise Burgers vektörünü, a_O kafes parametresini, a_k komşu Peierls vadileri arasındaki mesafeyi, ve ω ise dış harmonik gerilimlerin frekansını ifade etmektedir.

Kinkler arasında, sadece yakın komşular arasındaki etkileşimi nazarı dikkate alırsak, aşağıdaki denklemler takımını denklem (1)'den hemen elde edebiliriz:

$$N_k \partial_{tt}^2 u_i + B_u \frac{A_u \partial_t u_i}{1 + A_u^2 (\partial_t u_i)^2} + B_d \delta_{id} \frac{A_d \partial_t u_i}{1 + A_d^2 (\partial_t u_i)^2} = F_k \sin(\omega t) + P(u_{i+1} - 2u_i + u_{i-1}) + \frac{u_{i+1} - u_{i-1} + 2d}{(u_i - u_{i-1} + d)^2 (u_{i+1} - u_i + d)^2}, \quad i=2,3,\dots,N_k-1 \quad (2)$$

$$N_k \partial_{tt}^2 u_1 + B_u \frac{A_u \partial_t u_1}{1 + A_u^2 (\partial_t u_1)^2} = F_k \sin(\omega t) + \frac{P'}{(d' + u_1)^2} - \frac{P}{(d + u_2 - u_1)^2}, \quad (3)$$

$$N_k \partial_{tt}^2 u_N + B_u \frac{A_u \partial_t u_N}{1 + A_u^2 (\partial_t u_N)^2} = F_k \sin(\omega t) - \frac{P'}{(d' - u_N)^2} + \frac{P}{(d + u_N - u_{N-1})^2}, \quad (4)$$

burada d ve d' , sırasıyla kinkler arasındaki, ve sınır kinkleri ile düğüm (nodal) bağ noktaları arasındaki, statik denge halindeki mesafeleri göstermektedir. P ise kinkler arasındaki karşılıklı etkileşimin şiddetini temsil etmekte, ve şu ifade [26-29] ile verilmektedir;

$P = S_o^{el} a_k^2 / 2$, burada, S_o^{el} ise dislokasyon hattının elastik enerji kesiminin on logaritmasına [27] tekabül etmektedir. P' ise benzer şekilde sınır kinkleri ile nodal düğüm noktaları arasındaki karşılıklı etkileşim kuvvetlerinin şiddetini göstermekte, işbu kuvvetlerin ise Cououlombik model potansiyel ile ifade edilebileceği varsayımlı ele alınmaktadır

2.2 NORMALİZASYON TEKNİĞİ

Sırasıyla hemen şimdi sunacağımız normalizasyon transformasyonları kullanarak aşağıda sunduğumuz, tamamen boyutsuz üniversal parametreleri içeren bir differansiyel denklemler takımına erişilmiştir; $\omega t = \tilde{t}$ (ölçekleme-scaling) ve $\omega A_u u_i = y$, (germe-stretching), burada zaman sürücü stress sisteminin frekansına, ve keza deplasmanlar ise yayılmış haldeki ikame atomlarının bir periyottaki sıçrama mesafelerine, göre normalize edilmişler, ve sonuçta:

$i=2,3,\dots,N_k-1$

$$y_i'' = (\tilde{\tau}_u \tilde{\Omega}_A^2 F_s) \sin(\tilde{t}) - (\kappa_u \tilde{\tau}_u \tilde{\Omega}_A^2) \left(\frac{y_i'}{1+y_i'^2} \right) - (\kappa_d \tilde{\tau}_d \tilde{\Omega}_A^2) \left(\frac{y_i'}{1+\zeta_d^2 y_i'^2} \right) + \tilde{\tau}_u \tilde{\Omega}_A^2 F_{Bias} + \\ \left[\frac{L}{\pi^2} \tilde{\Omega}_A^2 \frac{y_{i+1} - 2y_i + y_{i-1}}{\underline{d}^2} \right] \bullet NLF. \quad (5)$$

Burada, NLF çizgisel olmama (nonlinearity) faktörü olup aşağıdaki ifade ile verilebilir:

$$NLF = \frac{\left\{ \frac{y_{i+1} - y_{i-1}}{2\underline{d}} + 1 \right\}}{\left\{ \frac{(y_{i+1} - y_i)}{\underline{d}} + 1 \right\}^2 \left\{ \frac{(y_i - y_{i-1})}{\underline{d}} + 1 \right\}^2}. \quad (6)$$

Yukarıdaki denklemde, $\underline{L} = L/a$ ölçeklenmiş (scaled) edilmiş dislokasyon parça boyutu, $\underline{d} = d/a$ denge halindeki normalize edilmiş kink-kink arasındaki mesafe olup, bu da şu ifadeyle değerlendirilebilir; $\underline{d} = \underline{L}/\{N_k^{-1+2(P'/P)^{1/2}}\}$. Sistemin çizgisel (lineer) rejimdeki serbest (normalize edilmiş) osilasyon frekansı $\tilde{\Omega}_A$ simbolü ile gösterilmektedir. Diğer bir değişle, normalizasyon harmonik dış kuvvetlerin frekansına nazaran yapılmıştır, $\tilde{\Omega}_A = \omega^0/\omega_0$. Burada şu klasik bağıntı geçerlidir, $\omega^0 = (K_k/M_k)^{1/2}$. K_k Coulombik zincirin çizgisel bölgedeki yay sabitesine (stiffness) karşılık gelmekte, ve aşağıdaki denklemle gösterilmektedir:

$$K_k = \left(\frac{\pi}{L}\right)^2 \frac{S_o^{el} a_k^2 n_k}{2}. \quad (7)$$

Burada n_k çizgisel kink yoğunluğu, ve F_s sürücü kuvvetin amplitüsü olup şöyle verilebilir; $F_s = F_k/F_{su}$, F_{su} statik kuvvet olup kinki bir kafes parametresi kadar deplasmana uğratacak kadar şiddettedir, $F_{su} = a_o K_k$. Benzer şekilde şu eşitliklerde hatırlanması gerekmektedir. $\kappa_u = B_u/F_{su}$, ve $\kappa_d = B_d/F_{su}$; $\tilde{\tau}_u = A_u a_o \omega$, ve $\tilde{\tau}_d = A_d a_o \omega$. Burada τ sembollerini, sırasıyla, normalize olmuş Snoek gevşeme zamanlarını işaret etmekte, ve yayılmış olan ara-ikame atomlarıyla, lokalize olmuş dekarator atomlarına karşılık gelmektedir. Gene sırasıyla, Kappalar yayılmış ve lokalize olmuş ara-ikame atomlarının, kink-ikame atomu ile kink-kink etkileşimlerinin oranlarını dile getirmektedir. Denklem (5)'de gördüğümüz ζ_d , şu ifadeyle tarif edilir, $\zeta_d = \tau_d/\tau_u$, ve eğer yayılmış ikame atomları ile dekarasyon atomları arasındaki difüzyon entalpileri çok farklı iseler, kuvvetli olarak sıcaklığı tabiidir. Bizim daha önce sunduğumuz kink viskosite teorisine göre [25] normalize kink drag katsayısı B_u , mobil ara-ikame atomlarını etkisi ile aşağıdaki ifadeyi geçerli kılar;

$$B_u = \frac{C_o^u a_o^3 a_k^2 C_{44}^2}{3k_B T} \left\{ \frac{1}{9} Tr^2 \underline{\lambda} \beta_1 + (\lambda_1 - \lambda_2)^2 (\beta_2 - \beta_3) \right\} \quad (8)$$

Burada C_o^u , başlangıçta uniform olarak dağılmış olan yaygın ara-ikame atomlarının yoğunluğunu (atomik kesir olarak), C_{44} elastik sabiteyi, λ_1 ve λ_2 tetragonal elastik dipol tensörünü, $\underline{\lambda}$ 'nın paraelastik ara-ikame atomları ile ilişkili (diagonal) köşemli elementlerinin değerini ifade etmektedir. Benzer şekilde, β_1 , β_2 , ve β_3 sırasıyla, kinkli dislokasyonun akustik ve optik bağlantı (coupling) sabitelerini göstermektedir. Bu sabiteler referans [23]'de detaylı bir şekilde nümerik olarak hesap edilerek, ve muhtelif vida tipi veya köşe tipi dislokasyonlar için HMK metallerde, elastik anisotropiyi de göz önüne alarak sunulmuştur. Dekorasyon atomları için B_d benzer bir matematik formül kullanılarak hesap edilebilir, ve burada sadece C_o^d 'yi lokal yoğunluk olarak ele almak yeterli olacaktır. Aks takdirde sistemin çizgisel olmayan (non-lineer) durumu yeniden ele alınması ve viskositenin ona göre hesap edilmesi gerekecektir.

Denklem (5)'de F_{Bias} dış bayas gerilimini temsil etmekte, ve F_s 'e göre normalize edilmiş bulunmaktadır. Benzer şekilde, $\tilde{d} = \underline{d}\tilde{\tau}_u$. Makro-sistem, sonuçta şu iç parametrelere (internal) sahip bulunmaktadır; $\tilde{\Omega}_A$, $\tilde{\tau}_u$, $\tilde{\tau}_d$, κ_u , κ_d , L , N_k ve R_p , burada $R_p = P'/P$. Keza iki adet daha, dıştan (external) ayarlanabilir parametreleri vardır, F_s ve F_{Bias} . Normal Bilgisayar simülasyon çalışmalarında, iç sürtünme katsayısını tek bir parametreye, $\tilde{\Omega}_u = \kappa_u \tilde{\tau}_u$ göre plotlama yaparız. Bu parametreyi ise yeniden-normalize edilmiş, yayılmış ara-ikame atomlarının gevşeme zamanı olarak tarif edilebiliriz. Böylece sistemin sabit sürücü frekansında, sıcaklığa göre genel davranışını tetkik etmemiz imkanı doğar. Maalesef, bu universal plotlama teknigi, sıcaklık ve frekans değişimleri için ayrı ayrı olarak elde edilen spektrumları aynı baza oturtamamaktadır. Şöyleki; eğer birden fazla çeşitte (more than one type of chemical species) ara-ikame atomları varsa. Bunun da başlıca sebebi, aynı tipten dekorasyon atomlarının iki parametre ile ifade edilebilmeleridir; $\phi_d = \kappa_d / \kappa_u$ ve $\zeta_d = \tau_d / \tau_u$. Burada, ilk oran nisbi olarak dekarator ile yayılmış ikame atomlarının yapışma özelliği göstermeye olup sıcaklığa ve frekansa tabi değildir. Fakat ikinci oran ise, farklı atomik sıçrama entalpilerine sahip olan farklı kimyasal yapıda ara-ikame atomlarının mevcudiyeti durumlarda çok etkili olarak sıcaklıkla değişim

göstermektedir. Bilgisayar simülasyonlarında her zaman hatırlamak gerekmektedir ki bu son parametre yalnız normalize olmuş gevşeme zamanının değil, fakat aynı anda sürücü frekansında zimmi (implicit) bir fonksiyonudur. Bizim çalışmalarımızda bu gerçekler nazarı dikkate alınmıştır.

Daha önceki yayınlarımızda [30] belirttiğimiz veçhile, bilgisayar simülasyonu için diğer bir üniversal şema daha vardır, söyleki;

$$y_i'' = \frac{\tilde{\Omega}_u \tilde{\Omega}_A^2 F_B}{2} \sin \tilde{t} - \tilde{\Omega}_u \tilde{\Omega}_A^2 \frac{y'_i}{1+y'^2_i} - \tilde{\Omega}_d \tilde{\Omega}_A^2 \frac{y'_i}{1+\zeta_d^2 y'^2_i} + \frac{\tilde{\Omega}_u \tilde{\Omega}_A^2 F'_{Bias}}{2} + \left(\frac{\frac{L^2}{\pi^2} \tilde{\Omega}_A^2 \frac{y_{i+1} - 2y_i + y_{i-1}}{d^2}}{d^2} \right) * NLF . \quad (9)$$

Burada, $\tilde{\Omega}_d = \kappa_d \tilde{\tau}_d$, $F_B = 2F_S/\kappa_u$, ve $F'_{Bias} = 2F_{Bias}/\kappa_u$. Bizler genellikle İç Sürtünme Katsayısının, sürücü gerilim amplitüdünden müstakil olunduğu, ve düşük frekansların kullanıldığı (relaksasyon modu) deneysel hallerle, ve dislokasyonlarla nokta hataların karşılıklı etkileşimlerinin sıcaklıkla değişimini içeren durumlarla enterese oluruz. Hal böyle olunca, yukarıdaki şema aşağıdaki ilişkileri hatırlayarak rahatlıkla kullanılabilir: $\tilde{\Omega} = \varphi_d \zeta_d \tilde{\Omega}_u$, burada ζ_d etkin bir biçimde sıcaklığa bağlı bir parametre olup şöyle hesap edilebilir;

$$\zeta_d = \zeta_d^o \left(\frac{\tilde{\Omega}_u}{\tilde{\Omega}_u^o} \right)^\eta \quad (10)$$

Burada, $\tilde{\Omega}_u^o$ şu ifade ile verilir, $\kappa_u \omega_u^o$. Bu da gösterir ki ana tayf (yaygın ara-ikame atomları) ile dekorasyon tayfi arasındaki mesafe, sıcaklık ölçüğünde frekansa tabiidir. Yukarıdaki denklemde $\eta = \delta Q/Q$, iki tip ara-ikame atomlarına ait kesirsel aktivasyon enerji

farklarına (logarithmic activation energy difference, $\delta \ln Q$) tekabül etmektedir. Benzer şekilde, $\zeta_d^o = \tau_d^o / \tau_u^o$ kesin surette sıcaklığı ve frekansa bağlı olmayan bir parametre olup, biçimsel bilgisayar simülasyonlarında bire eşit olarak alınabilir.

III. DİNAMİK İÇ SÜRTÜNME KATSAYISI

Referans 30' da iç sürtünme katsayısı , veya Q^{-1} faktörü, güç kaybı gösteren bir osilatör için geliştirilmiştir, ve ilk olarak kararlı denge halinde sınanmış ve daha sonra da dinamik (temporal) durumlar için genelleştirilmiştir. Makro sistemin operasyonel bir kantite olan kümülatif enerji kayıpları, sistemin faz diagramındaki başlangıç konumundan başlatılacak olan, zaman süresine bölünerek ele edilebilir, şöyle ki:

$$Q_u^{-1} = \frac{2\kappa_u}{\tilde{\tau}_u F_s^2} \frac{1}{N_T N_k} \sum_{i=0, j=1}^{i=N_t, j=N_k} \frac{\left(y_i'^j\right)^2}{1 + \left(y_i'^j\right)^2} \quad (\text{ana tayf}) \quad (11)$$

ve

$$Q_{deco}^{-1} = \frac{2\kappa_d}{\tilde{\tau}_d F_s^2} \frac{1}{N_T N_k} \sum_{i=0}^{i=N_t} \frac{\left(\zeta_d y_i'^d\right)^2}{1 + \left(\zeta_d y_i'^d\right)^2}, \quad (\text{dekorasyon tayfi}) \quad (12)$$

İkinci şemaya parametrelerine göre ise aşağıdaki denklemler üretilebilir;

$$Q_u^{-1} = \frac{8}{\tilde{\Omega}_u F_B^2} \frac{1}{N_T N_k} \sum_{i=0, j=1}^{i=N_t, j=N_k} \frac{\left(y_i'^j\right)^2}{1 + \left(y_i'^j\right)^2} \quad (13)$$

ve

$$Q_{deco}^{-1} = \frac{8\varphi_d^2}{\tilde{\Omega}_d F_B^2} \frac{1}{N_T N_k} \sum_{i=0}^{i=N_t} \frac{\left(\zeta_d y_i'^d \right)^2}{1 + \left(\zeta_d y_i'^d \right)^2} \quad (14)$$

Burada, i harfi ile diferansiyel denklem takımının, denklem (5)'in, i 'inci nümerik integrasyon adımını ifade ediyoruz. N_t ise ilk başlangıç durumuyla, istenilen andaki durum arasında geçen kümülatif adım sayısına tekabül etmektedir, yani enterese olunan zaman fasılmasına. Benzer şekilde, j harfi zincir üzerindeki j 'inci kinki tanımlamaktadır. Gerçekte, i indisinde daneli (discrete) zaman süreci ölçeginde zaman değişkenini ifade etmektedir. Operasyonel noktai nazardan, yukarıda verilen ortalama işlemi, dinamik sistemin **Kümülatif Ortalama Güç Kaybı** olarak tanımlanması mümkündür.

Bizim defalarca, mühtelif değerlerdeki sistem parametreleriyle gerçekleştirdiğimiz bilgisayar deneyleri göstermiştir ki; dinamik kink zinciri sistemi dış harmonik kuvvetlerle sürülürken (driven), eğer sistem Newtoniyen olmayan viskosite rejimi civarında değilse, kararlı denge durumuna bir kaç sayıldan sonra girmektedir; mesela beş sayıkıl fevkalade güvenilir bir transient sönüm sayısı olarak alınabilir.

IV. GÜC SPEKTRUMU YOĞUNLUĞU ANALİZİ

4.1 METODUN TANITIMI

Bu araştırma projemizde, literatürde ilk defa olarak, paraelastik ara-ikame atomları atmosferinde osilasyon hareketleri yapan, kink zincirinin güç (power) spektrumu, Süratlı Fourier (Fast Fourier) Transformasyon, FFT teknigi kullanılarak, sayısal olarak incelenmiş ve grafiksel olarak da sunulmuştur. Gayet keskin (very sharp) bir şekilde belirlenen, (threshold) basamak gerilim amplitüdü değerinin üstündeki değerlerde, ve sadece gevşeme tepesinin düşük sıcaklıklı bölgesinde, tek-harmonik jenerasyonuna

raslanmıştır. Mütevazi olarak sayılabilen gerilim amplitüdlerinde ise, kink zinciri sisteminin tabii frekansının hemen civarındaki bölgedeki harmoniklerde kuvvetli bir büyümeye (enhancement), ve diğer bölgelerde ise küçülme gözlenmektedir. En nihayette, kinklerin ara-ikame atomlarından oluşan atmosferi yırtma aşamasına tekabül eden çok yüksek gerilimlerde (super-Snoek rejim), quazi-kaotik olarak adlandırılacağımız kink osilasyonlarına, veya diğer bir deyimle geniş band gürültü spektrumuna raslanmaktadır.

Çizgisel olmayan (nonlinear) sistemlerin dış kuvvetler altındaki osilasyon karakteristiklerinin tetkiki, çok değişik alanlardaki katı hal fiziği problemlerinin çözümleri bakımından önem taşımaktadır. Mesala, ısı transferinde, ısı genleşmesinde, kafes dinamiğinde, katik elemanları kafes titreşimleri modlarında, ve çizgisel olmayan optikte [31] özellikle önemli modelleme özellikleri vardır. Bütün bu saydığımız hallerde, çizgisel olmama durumu karşılıklı etkileşim potensiyelinden [32] kaynaklanma, yani anharmonik-potensiyel durumu söz konusu olmaktadır. Bu tip dinamik denklemlerin çözümlerinde kaotik davranışlara ve gasketli çatallaşmalara tesadüf edilmektedir. Daha önceki çalışmalarımızda [33], literatürde ilk defa olarak güç kayıplarında vukua gelebilecek çizgisel olmama durumunun doğurduğu kaotik ve çatallanma (bifurcation) olguları incelenmiştir. Bunun Debye-tipinde olmayan sönümler (dampingler) gösteren ara-ikame atomları atmosferinde, izole kinklerin yüksek gerilim amplitüdlerinde yaptıkları hareketlerde (hipersonik), ortaya çıktıgı belirtilmiştir. Bu tip sistemlerin faz diagramları üzerinde yaptığımız bilgisayar simulasyon çalışmaları bize fevkalade ilginc bir olayın mevcudiyetini, yani disipatif karakterde bir rezonans olgunsunun mevcudiyetini ortaya çıkarmış (sıfır Q^{-1} değerinde). Keza İç sürtünme spekturmunda fevkalade keskin bir sıçrama (quazi-quantum sıçraması) müşahede edilmiştir. Cherenkov radyasyonunu andıran bu davranış, kinkin atmosferi yırtması halinde (ses duvarını aşması halinde) ortaya çıkmakta olup, tamamen reversible bir olay olduğu ayrıca tespit edilmiştir.

4.2. TEORİK

Hali hazır Coulombic kink zinciri probleminde, kinkler arasındaki karşılıklı etkileşim de nazara dikkate alındığından daha realistik bir fiziki model kabul edilmiş olunmaktadır. Buna ilaveten, ara-ikame atomları atmosferinin Stokesian olmayan davranışları gösterdiği rejim de sisteme matematiksel olarak eklenmiştir. Kink zinciri sisteminin, harmonik jenerasyonu yanında gelişigüzel (random) gürültü doğurumunun da incelenebilmesi için, hız-otokorelasyon fonksiyonu [34] (velocity autocorrelation function) Hzlı Fourier Transformasyonu (Fast Fourier Transformation, FFT) teknigi ile çok kapsamlı bir şekilde incelenmesi cihetine gidilmiştir.

İncelenmeyi basitleştirmek için birinci etapta kink zincirinin sadece uniform olarak dislokasyon boyunca dağılım gösteren ara-ikame atomları atmosferi nazarı dikkate alınmış, ve dekorasyon atomları devreden çıkarılmıştır. Böylece aşağı differensiyel denklem takımı kullanılmıştır,

$$M_k \partial_{tt}^2 y^i + B_k \frac{A_i \partial_t y^i}{1 + A_i^2 (\partial_t y^i)^2} = b a_k \sigma_r \sin(\omega t) + \sum_{i \neq j} F(y^i - y^j), \quad i = 2, 3, 4, \dots, N_k - 1 \quad (15)$$

burada karşılıklı etkileşim kuvveti $F(y^i - y^j)$, zincir uçları için modifiye edilmesi gerekmektedir. Yukarıdaki denklemde, M_k kinkin effektif kitesini, y^i ise i noktasındaki kinkin pozisyonu işaret etmekte, B_k kink hareketinin karşılaştığı viskositenin Newtonian rejimindeki değerini göstermekte, A_i ters Snoek sıçrama hızına tekabül etmektedir ve şu formülle ifade edilebilir, $A_i = \tau_s / a_o$. Burada, τ_o Snoek gevşeme zamanı olarak literatürde adlandırılır.

Yukarıdaki denklem zaman ve boyutlarda yapılan normalizasyon transformasyonları ile: $\omega t = \tilde{t}$ ve $\omega A_i u^i = y^i$, aşağıdaki formu almaktadır:

$$y_i'' = (\tilde{\tau}_s \tilde{\Omega}_A^2 F_s) \sin(\tilde{t}) - (\kappa \tilde{\tau}_s \tilde{\Omega}_A^2) \frac{y_i'}{(1+y_i')^2} + \tilde{\tau}_s \tilde{\Omega}_A^2 F_{Bias} + \left(\frac{L^2}{\pi^2} \right) \tilde{\Omega}_A^2 \frac{y_{i+1} - 2y_i + y_{i-1}}{d^2} \cdot NLF \quad (16)$$

burada NLF çizgisel olmama (anharmonicity) faktörü olup daha önce tarif edilmiştir. Yukarıdaki denklemde, $\underline{L} = L/a_o$ indirgenmiş dislokasyon parça boyutu, $\underline{d} = d/a_o$ ise kinkler arasındaki denge konumundaki mesafeyi göstermektedir. $\tilde{\Omega}_A$ simbolü sönüm olmamış sistemin çizgisel rejimdeki serbest osilasyon frekansını (normalize olduktan sonraki) değerini göstermektedir. Burada normalizasyon harmonik sürücünün frekansına nisbeten yapılmıştır, şöyleki, $\tilde{\Omega}_A = \omega^0/\omega$. Ayrıca şu klasik ifadeyi, $\omega^0 = (K_k/M_k)^{1/2}$ nazarı dikkate almak gerekmektedir. Coulombic kink zinciri sisteminin sertliği (stiffness) K_k olup sürücü kuvvet F_s şu şekilde normalize edilmiştir; $F_s = F_k/F_{su}$. F_u statik kuvvet olup kink'i bir kafes parametresi kadar deplasmana uğratabilecek değere sahib olacak şekilde tarif edilmiştir. Benzer şekilde, şu eşitliklerde akılda tutulmalıdır; $\kappa = B_k/F_{su}$ ve $\tilde{\tau}_s = \tau_s \omega$. Kappa, κ parametresi bilhassa çok önemlidir, ve sistemdeki iki ayrı etkileşim parametrelerinin oranını temsil eder; yani sırasıyla: ara-ikame atomları ile kinklerin, ve kinkler ile kinklerin etkileşimi gibi.

4.3. UYGULAMA YÖNTEMİ

Daha önceki kısımlarda kink zinciri ile ilişkili İç Sürtünme Katsayısı, Q^{-1} verilerinin toplama metodunu geniş bir şekilde izah edilmiştir. Burada aynı sisteme ait güç spektral yoğunluğunun (power spectral density), $S(\omega)$ kinkler gerek çizgisel ve gerekse çizgisel olmayan dinamik hareketler yaptıkları esnada nasıl hesap edildiğini, ve gerekli datanın nasıl toplandığından bahis edilecektir.

Güç spektral yoğunluğunun hesaplanmasıında aşağıdaki yöntem uygulanmıştır:

1. Hızın daneli (discrete) zaman serisini, $\{y'_r\}$, $r=0-N$, şu zaman aralıklarını, $\Delta=T/N$ kullanarak, rekord edilen hız datasından numunelendir (sampling) ;
2. Ortalama değeri hesap et, ve ortalaması sıfır olan yeni hız zaman serisini türet;
3. Bu son serinin Daneli Fourier Transformunu (Discrete Fourier Transform, DFT) hesapla; $\{Y_k\}$;
4. Geçerli çarpımları yaparak, lüzumlu olan spektral katsayılar serisini, $S_k=|Y_k|^2$ elde et;
5. Şu formülü kullanarak, $S(\omega_k)=T/2\pi S_k$ kontinuum spektrumun tahmini değerlerini hesapla. Burada $\omega_k=2\pi k/T$ rad/s , ve π/Δ Nyquist frekansı olup güvenilir frekans alanının üst limitini bize tanımlar;
6. Yumuşatma (smoothing) işlemini yanlardaki spektral tahminleri kullanarak gerçekleştir. Burada, T rekordun uzunluğunu, N ise data noktalarının sayısını belirtmektedir.

Bizim komputer çalışmalarımızda: $\Delta=0.01$, $N=2^{13}$ ve yumuşatma indeksi, $n=0,1,2$ olarak alınmış olup buda arzu edilen band genişliğini şu formule göre, $B_e=(2n+1)/T$ bize vermektedir. Zaman serisi başlangıçta, (cosine-taper) kosinus data penceresi kullanılarak şekillendirilmiştir.

V. SİMULASYON SONUÇLARI VE İRDELEMELER

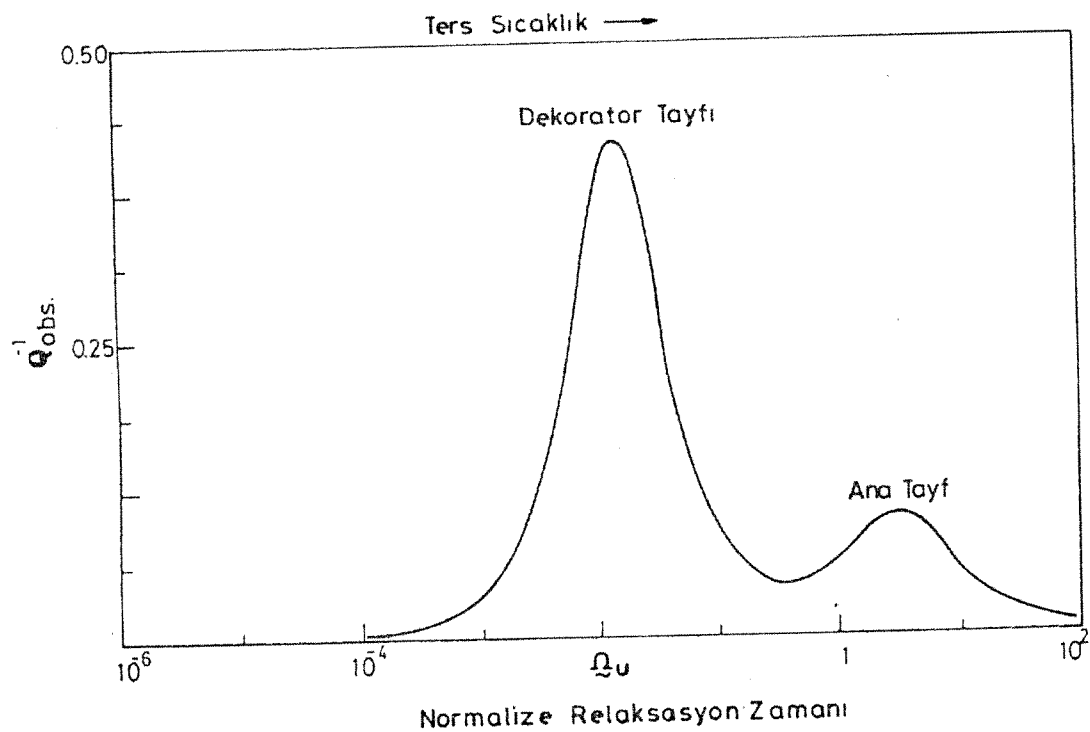
5.1. İÇ SÜRTÜNME KATSAYISI BULGULARI

Bilgisayar simülasyon çalışmalarında kullandığımız diferansiyel denklemler takımının nümerik çözümünde, daha önce kendi geliştirdiğimiz ve büyük başarı ile katı sistemlere tatbik ettiğimiz, fevkalade kararlı (stable), ve hassas (accurate) nümerik çözüm

teknigi kullanılmıştır. Bu teknik esas olarak Adams-Moulton metodunun [35] yeni bir versiyonudur. Runge-Kutta beşinci-mertebe, altıncı-kademe hassas metodu [36] her problem adımı için, başlangıç değerlerinin hesaplanması maksadıyla özellikle kullanmaktadır. Ayrıca otomatik step kontrolünü icra edilmektedir. Bu çalışmadaki bayağı (ordinary) diferansiyel denklemler katı (stiff) diferansiyel denklemler olarak tanımlanmakta ve nümerik çözümlerde çok büyük güçlükler ortaya çıkmaktadır. Bilhassa gevşeme (relaxation mode) modunda çalıştığımız zaman, en küçük zaman sabitesi, $t_u = 2/\tilde{\Omega}_u \tilde{\Omega}_A^2$, veya $t_{dec} = 2/\tilde{\Omega}_d \tilde{\Omega}_A^2$ denklemleri ile belirlenmekte olan minimal değere tekabül etmekte, düşük sıcaklıklarda 2×10^{-4} , ve 2×10^{-6} gibi değerlere ulaşmaktadır, sırasıyla $\tilde{\Omega}_A = 10$ ve $\tilde{\Omega}_A = 100$. Böylece, en kısa zaman stepleri aşağı yukarı sırasıyla şu mertebelerdedir; 10^{-6} ve 10^{-8} . Katı diferansiyel sistemlerin çözümde geçerli nümerik integrasyon stepleri en küçük gevşeme zamanı tarafından kontrol edildiği düşünülürse, hali hazırda problemde düşük sıcaklıklarda bilgisayar simulasyonun ne kadar büyük çapta prosesör zamanına ihtiyaç gösterdiğini anlamak güç olmaz! Diğer bir gevşeme zamanı da, ki bu bihassa yüksek sıcaklıklarda step büyüklüğünü kontrol eder, tam olarak $t_2=1$ dir.

Sekil (1)'de iç sürtünme katsayısı, Q^{-1} normalize olmuş yaygın ikame atomlarının gevşeme zamanına göre, $\tilde{\Omega}_u = \omega \tau_u$ (veya sıcaklık tersine göre T^{-1}) yarı-logaritmik ölçekte plot edilmiştir. Burada kullanılan (stress) gerilim amplitüsü, F_S çok küçük olup, böylece sistemin çizgisel rejimde (ağır sönüüm bölgesinde) kalması temin edilmiş bulunmaktadır. Bu şekil açıkça göstermektedir ki, yeni dislokasyon sönüüm tayıfı (dekorasyon tayıfı) ana tayfin yüksek sıcaklık tarafından omuzunda, veya bölgesinde ortaya çıkmaktadır. Daha ileri safhalarda ana tayıf, ki yaygın ikame atomlarından dolayı husule gelmekte, şiddet (intesity) bakımından faktör beşlik bir zayıflama göstermekte, ve buna paralel olarak da, teorik mülahazalara uygun miktarda daha düşük sıcaklıklara doğru bir tepe kayışı göstermektedir. Bu deneyde, dekoratör atomlarının difüzyon aktivasyon enerjisini yaygın ikame atomlarına nazaran %20 nispetinde büyük olduğu varsayılmıştır, aksi takdirde her iki nokta hatanın da yapışma güçleri, $\phi_d=1$, ve difüzyon sabiteleri, D_0 ise bir olarak kabul edilmiştir.

SEKİL (1)



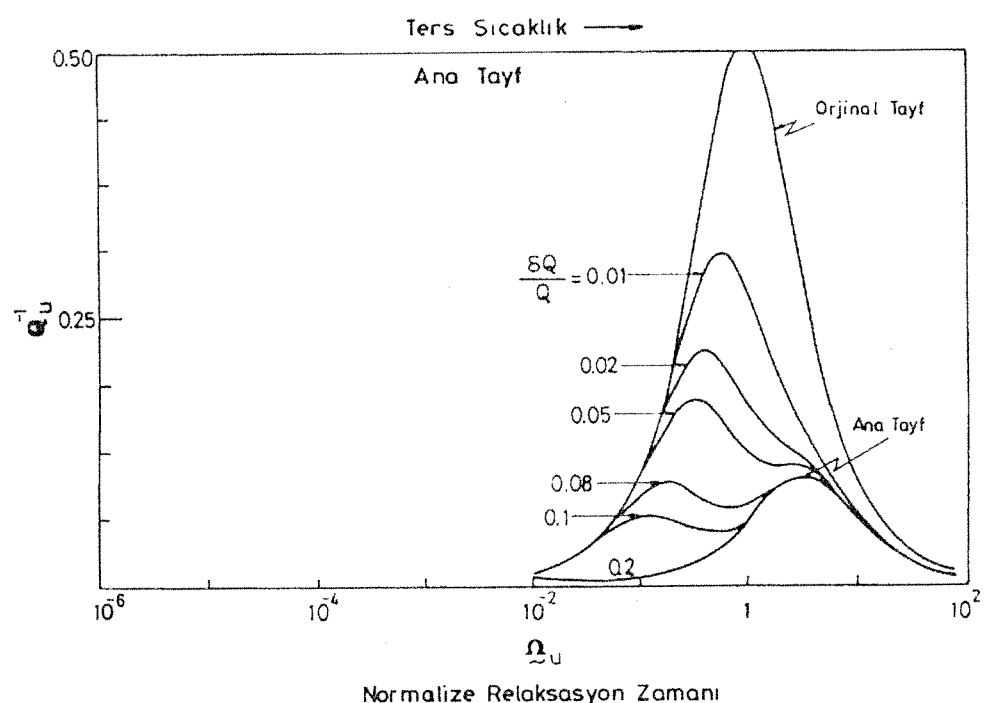
1. Kink zinciri üzerine yerleşik Dekoratör atomundan dolayı ortaya çıkan Tayf yarı logarithmik ölçek üzerinde, yaygın ara-ikame atomlara göre normalize edilmiş gevşeme zamanına göre (ters sıcaklık eksen) plot edilmiştir. Bu şekil, seçilen uygun parametrelere karşısında, dekoratör ve yaygın ara-ikame atomlarından sonuçlanan dislokasyon sönüüm spektrumunun gayet ayrık olarak ortaya çıkabileceğini kanıtlamaktadır. Parametreler: $h=0.2$ (kesirsel göc entalpi farkı), $j_d=1$ (yapışma gücü oranı), $\omega\tau_u^o=10^{-12}$ ve $N_k=3$; [$F_{bias}=0$, $F_s=0.1$, $R_p=1$, $L=100$].

Şekil (2)'de dislokasyon damping olayına (yaygın ara-ikame atomlarıyla etkileşimden dolayı zuhur eden) dekoratör atomlarının etkisi muhtelif difüzyon aktivasyon entalpileri kullanarak tetkik edilmiş, ve İç Sürtünme Katsayısı, Q^{-1} yarı logaritmik plotta sunulmuştur. Mukayese imkanı sağlansın diye dislokasyon damping tayfinin dekorasyondan önceki hali (original peak) bu grafikte yer almıştır. Bu deney serisi göstermektedir ki; dekoratörün aktivasyon enerjisini tedrici şekilde ayarlıyarak, ana tayfta husule gelen distorsiyonu ve keza birlikte oluşan peyk-tayfi (apparent subsidiary peak) gözlemlemek mümkün olabilmektedir. Ayrıca bu deneyler bize, mütevazi veya büyük aktivasyon enerji farklılıklarının bulunduğu hallerde, peyk-tayfin tamamen kaybolduğunu, ve sadece ana tayfin rigid bir durum alarak nihai pozisyonunu ve şiddetini (peak height) kabulenerek sıcaklık ekseniinde yerleştiğini göstermektedir.

Dekorasyon atomlarıyla ilişkili İç Sürtünme Tayfinin tam olarak teşekkürül etmesi Şekil (3)'de ele alınmıştır. Burada, büyük difüzyon entalpi değişimleri gösteren muhtelif dekoratör atom tipleri ele alınmıştır. Gözlemleri kolaylaştmak için, bu dekoratör atom türlerinin hepsinin de dislokasyona yapışma güçleri ($\phi_d=1$), yani kink ile ara-ikame atomu arasındaki karşılıklı etkileşimleri hep eşit olarak ele alınmıştır.

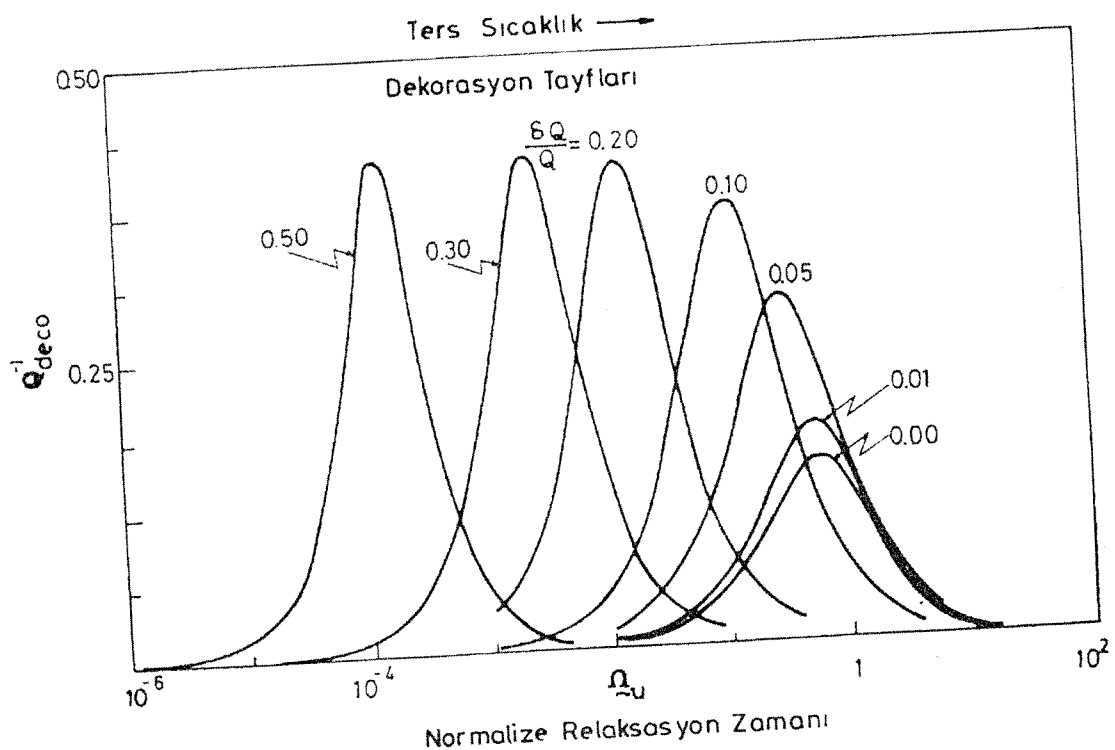
Nisbi yapışma gücünün, ϕ_d gerek dekorasyon tayfina ve gerekse yaygın ara-ikame atomlarından dolayı husule gelen ana tayfa (parent peak) olan etkisi bilgisayar deneyleri ile incelenmiş, ve sonuçlar sistematik bir şekilde Şekil (4)'de rapor edilmiştir. Bu bilgisayartır deneyleri serisinde, kasıtlı olarak her iki tip ara-ikame atomları (dekoratör ve yaygın) için aynı difüzyon aktivasyon enerjileri seçilmiş, fakat dekoratör atomlarının kinklerle yaygın ara-ikame atomlarına nazaran çok daha güçlü paraelastik etkileşime girişiği varsayılmıştır. Böylece nisbi yapışma katsayısının, ϕ_d arzu edildiği şekilde ayarlanması temin edilmiştir. Bu şekil açıkça göstermektedir ki nisbi yapışma gücünün yüksek olduğu hallerde, dislokasyon dekoratör tayfında yukarı sıcaklıklara doğru negatif bir kayma ortaya çıkmakta, ve keza relaksasyon şiddetinde tedrici bir büyümeye zuhur etmekte, ve en nihayette doyuma doğru yönlenmektedir. Gevşeme şiddetinin doyum

ŞEKİL (2)



2. Kinklerle birlikte sürükleşen dekoratör atomlarının, ana yaygın ara-ikame atomlarından dolayı oluşan dislokasyon damping tayflına olan etkisini görmek için, farklı difüzyon enthalpi değerleri gösteren dekoratörler kullanılmış, ve yarı logarithmik skala üzerinde İç Sürtünme Katsayısı normalize relaksasyon zamanına, veya ters sıcaklık koordinatına, göre plotlanmıştır. Parametreler: $\phi_d=1$, $\omega\tau_u^o=10^{-12}$ ve $N_k=3$; [$F_{bias}=0$, $F_s=0.1$, $R_p=1$, $L=100$].

ŞEKİL (3)

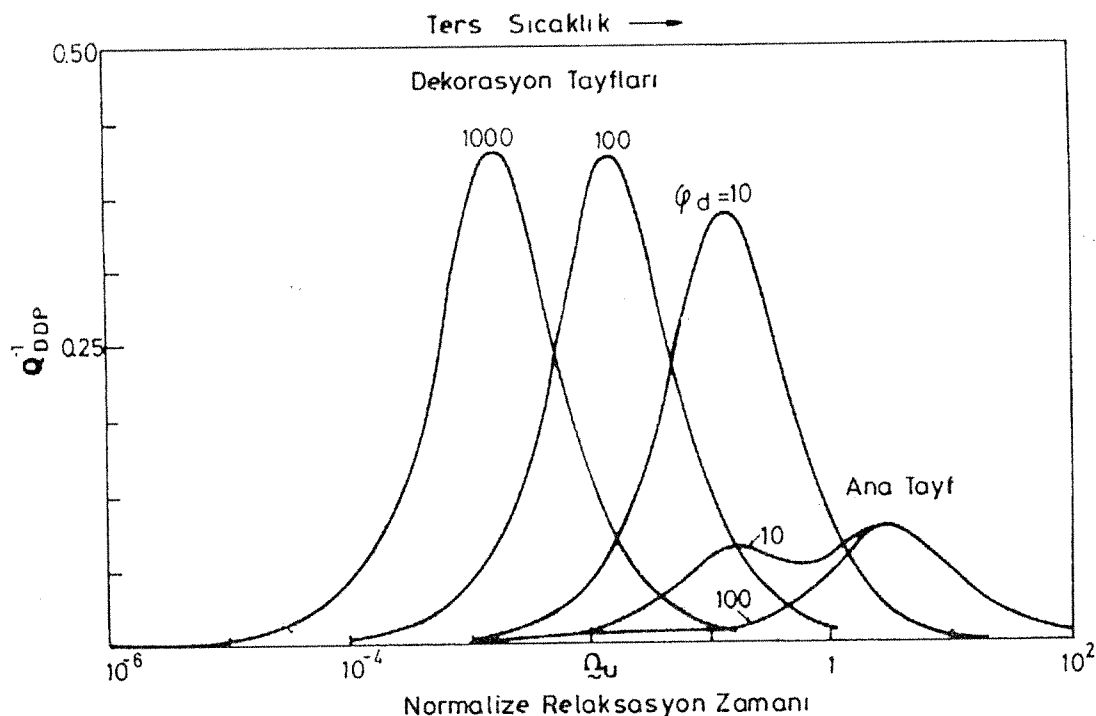


3. Dekoratör atomlarından dolayı ortaya çıkan İç Sürtünme Katsayısı mühtelif logarithmik enthalpi farkları için, normalize olmuş relaksasyon zamanına, veya sıcaklık tersine göre yarı logarithmik ölçük üzerinde plot edilmiştir. Parametreler: $j_d=1$, $\omega\tau_u^o=10^{-12}$ ve $N_k=3$; $[F_{bias}=0, F_s=0.1, R_p=1, L=100]$.

değeri, orijinal ana dislokasyon sönüüm tayfinin (yaygın ara-ikame atomlarından dolayı) %82 si civarındadır. Diğer taraftan aynı problemin kontinuum çözümü [24], dekorasyon tayfinin şiddetinin dislokasyon orijinal ana tayfinin tepe yüksekliğinin %76'sı civarında olması gerektiğini işaret etmektedir. Benzer şekilde yaygın ara-ikame atomları ile ilişkili tayfin ana alt yapısı düşük sıcaklıklara doğru kayış yapmakta, ve gevşeme şiddetinde faktör beşlik bir düşme (relatif şiddet %18 civarında) göstermektedir. **Kontinuum modelin** analitik çözümü ise, faktör dörtlük bir azalmanın, %25, doyum noktasında gerçekleştiğini bize vermektedir. Böylece, çok enteresan ve yeni bir tip **konservasyon (sakınım) prensibi** ile karşılaşıyoruz, şöyle ki; dislokasyon sönüüm tayflarının toplam şiddeti (dekarator artı yaygın ara-ikame atomlarından dolayı) değişmemekte, ve sadece aralarındaki paylaşım oranları değişim göstermektedir. Bu durum laboratuar deneylerinde de gözlemlenmiştir. Mesela, Tanaka [37] Ni-H alaşımlarında, deformasyona uğramış nümunelerde yaptığı hidrojen sürüklene (drag) İç Sürtünme ölçmelerinde, yaygın hidrojen atomlarından dolayı husule gelen sönüüm tayıfı ile hidrojenin dislokasyona çökmesinden dolayı ortaya çıkan dekorasyon tayfinin şiddetlerinin toplamının, ilk orijinal hidrojen-dislokasyon tayfinin şiddetinin aynı olduğunu saptamıştır. Diğer bir **enteresan gözlem** de, yaygın ara-ikame atomlarından dolayı ortaya çıkan ana tayfin, alçak yapışma gücü halinde ikiye ayrılığıdır. Düşük sıcaklıktaki alt-tayfin gayet kararlı olduğunu, ve yapışma gücünü daha fazla artırdığımızda bu tayfin tamamen kararlı (stabil) kaldığını, fakat yüksek sıcaklıktaki peykin ise ortadan tamamen kaybolduğunu ayrıca bulgularımız arasında yer almaktadır. Bu komputer simülasyon sonuçlarının aynısını, yazar daha önce geliştirdiği analitik teorisinde de müşahede etmiş bulunmaktadır (Bak. Şekil.(1), Referans.24).

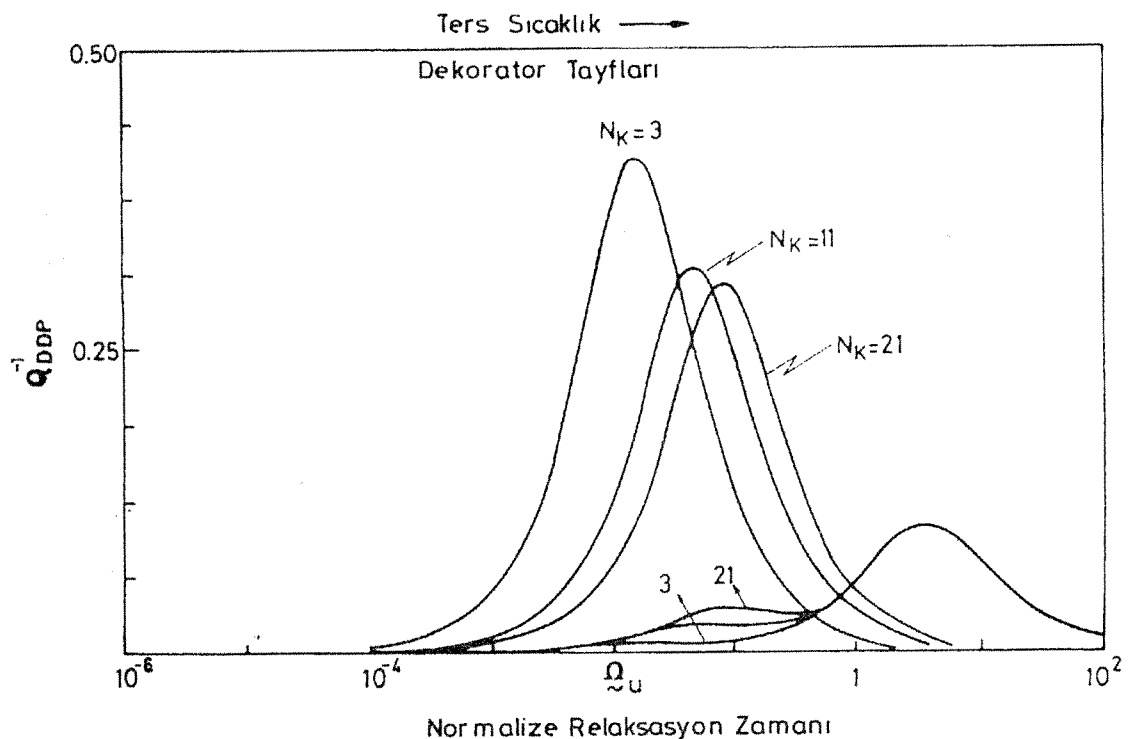
Şekil (5)'de, kinklerin çizgisel yoğunluklarının (lineer kink density), dekorasyon atomları sönüüm tayfinin gerek şiddetine, ve gerekse sıcaklık eksenindeki pozisyonuna olan etkileri açıkça gösterilmektedir. Şöyleki; kinklerin birim dislokasyon hattı üzerindeki sayısı (lineer density) tedricen artırıldıkça, dekorasyon tayıf tepesi düşük sıcaklıklara doğru kaymakta, ve yavaşça sönüüm şiddeti (tepe yüksekliği) azalmaktadır. Bu ikinci mertebeden etkileşimi kontinuum teorisinde gözlemlmek mümkün değildir. Bu bilgisayar simülasyon serisinde, maksatlı olarak yaygın ikame atomları ile lokalize olmuş dekoratör

ŞEKİL (4)



4. Dekoratör atomlarından dolayı oluşan tayflara ait İç Sürtünme Katsayıları mühtelif yapışma oranlarına nazırı dikkate alınarak yarı logarithmik ölçek üzerinde normalize relaksasyon zamanına, veya sıcaklık tersine göre plotlanmıştır. Parametrelər: $h=0$, $\omega\tau_u^o=10^{-12}$ ve $N_k=3$; [$F_{bias}=0$, $F_S=0.1$, $R_P=1$, $L=100$].

ŞEKİL (5)



5. Cizgisel kink densitesinin gerek dekoratör ve gerekse yaygın ara-ikame atomlarından dolayı oluşan spektruma etkisini incelemek gayesiyle İç Sürtünme Katsayıları yarı logarithmik ölçek üzerinde normalize edilmiş relaksasyon zamanına göre plot edilmiştir. Bu şekil bize yaygın atomlarla ilişkili peyk ve esas tayf ayırisimini açıkça göstermektedir. Parametreler: $j_d=100$, ve $h=0$, $\omega\tau_u^o=10^{-12}$; [$F_{bias}=0$, $F_s=0.1$, $R_p=1$, $L=100$].

atomları arasında, gerek mobilite ve gerekse aktivasyon entalpileri açısından fark olmadığını varsayıdık, ve böylece çizgisel kink yoğunluğunun direk etkisini gözlemlmek imkanını hazırladık. İki tip, yani yaygın ve lokalize olmuş ara-ikame atomları arasındaki yegane fark, bağlantı (coupling) sabitelerinde (Kappa parameteri) olmaktadır. Bu parametrenin dekoratör atomları için yaygın ara-ikame atomlarından yüz misli daha büyük olduğu kabul edilmiştir. Böylece, her iki tip dislokasyon spektrumunun biri birinden tamamen ayrışması (non-overlapping) sağlanmıştır.

Hali hazırda daha gerçekçi bir şekilde ele alınan, interaktif kink zinciri sönum problemi üzerindeki kompüter çalışmalarının sonuçları, daha önce yayınladığımız kontinuum modelinin analitik neticeleriyle tam bir uyum içinde olduğunu göstermektedir. Her iki tip modellemede de iki cins sönum ajansı göz önüne alınmıştır. Şöyledir ki; birinci cins, dislokasyon üzerinde ve civarında üniform ve sürekli olarak dağılmış ara-ikame atomları (mobil Cottrell Bulutu), ikincisi cins ise, dislokasyonun ortasında konumlanan geometrik kink üzerinde lokalize olmuş, mobil ara-ikame atomu veya çökereği (cluster) dir. Anatilik çalışmamızda, dekorasyon tayfinin gerek tepe pozisyonu ve gerekse tepe yüksekliği bir tek parametreye tabii olduğu, ve bunun R ile gösterildiği, değerinin ise $R = \tilde{\Omega}_d^c / \tilde{\Omega}_u^c$ ile verildiği belirtildi. Bu değer şu ifadeden de B_d^c / LB_u^c hesaplanabilir. Burada, B_d^c , ve B_d^c , sırasıyla dekoratör ve yaygın ara-ikame atomlarının normalize olmuş sürünlme katsayılarıdır. (not: bu bölümde kullandığımız “c” yukarı-indisi (superscript) kontinuum modelini işaret etmektedir)

Benzer şekilde, $\tilde{\Omega}_d^c$ ve $\tilde{\Omega}_u^c$ normalize olmuş dekaratör ve yaygın ara-ikame atomlarının kontinuum takribiyetindeki gevşeme zamanlarına tekabül etmektedir. Sırasıyla, Dirac delta fonksiyonun özelliklerini kullanarak, aşağıdaki ara-bağıntıları göstermek mümkündür; $B_u^c = B_u \tau_u / a_o$, ve $B_d^c = B_d \tau_d L / a_o N_k$. Böylece kontinuum modelle, daneli (discrete) model arasındaki önemli bazı ilişkileri çıkarmak kabil olmaktadır, şöyledi: $\tilde{\Omega}_u^c = \tilde{\Omega}_u$, ve $\tilde{\Omega}_d^c = \tilde{\Omega}_d / N_k$. Halihazırda daneli (discrete) dislokasyon kink zinciri

modeli için R, parametresini şu şekilde ifade etmek aydınlatıcı olacaktır, $R=(\phi_d \zeta_d / Nk)$. Bu ifade bize, R parametresinin, lokalize dekaratör atomları ile yaygın ara-ikame atomları arasında difüzyon enthalpileri farkı mevcut ise, sıcaklığın kuvvetli bir fonksiyonu olduğu göstermektedir. Bu formul keza göstermektedir ki, verilen bir kink çizgisel yoğunluğu, n_k için sürüme şiddet orani, R dislokasyon segmen boyu L, ile sıkıca bağıntılı halde dir; $R=(j_d \zeta_d / L n_k)$. Böylece, uzun dislokasyon segmenlerinin ortasına yerleşmiş dekaratör atomlarının yaygın ara-ikame atomlarından dolayı oluşan dislokasyon sönüümüne olan etkisi tamamen ihmali edilebilir bir mertebedendir (aynı çizgisel yoğunlukda kinkler bulunduğu takdirde). Dekorasyon, bilhassa **kısa dislokasyon segmenleri** üzerinde yerleşik bir kaç geometrik veya termal kinkin bulunduğu hallerde, fevkalade negatif etkileşime haizdir, ve yaygın ara-ikame atomlarının oluşturduğu ana tayfin tamamen ortadan kaybolması yönünde davranışta bulunur.

Dekorasyon tayfinin tepe noktasının posizyonu, aşağıdaki ifadeden bulunabilir, ve bu da R parametresinin başlangıçtaki tarifini kullanarak yapılabilir;

$$\tilde{\Omega}_{u,dec}^{\max} = \frac{\tilde{\Omega}_d^{c,\max}}{R} \quad (17)$$

burada $\tilde{\Omega}_{u,dec}^{\max}$ değeri, $\tilde{\Omega}_u$ parametresinin dekorasyon tayfinin tepe noktasına şiddet bakımından tekabül eder, ve keza benzer şekilde $\tilde{\Omega}_d^c$ değeri ise, $\tilde{\Omega}_d^c$ parametresinin kontinuum takribiyetindeki karışıtı olan değere tekabül eder. Şekil (4), üzerinde yaptığımız analize göre, aşağı yukarı 0.526 civarındadır. Burada, şu dekorasyon sönüüm tayıfı kullanılmıştır; $\phi_d=1000$, $z_d=1$ ve $Nk=3$. Bilgisayar çalışmasını basitleştirmek ve irdelemeyi kolaylaştmak için, her iki nokta-hatanında, yaygın ara-ikame atomları ve lokalize olmuş dekaratör atomlarının difüzyon aktivasyon enthalpilerini, ve D_0 değerlerini eşit olarak seçtik. Şekil (4)' e göre, bütün deneyde kullanılan parametreler muvacehesinde $\tilde{\Omega}_{u,dec}^{\max}=1.6 \times 10^{-3}$, olarak bulduk. Buda bize R parametresinin 1000/3

mertebesinde değer aldığı göstermektedir. $\tilde{\Omega}_d^{c,\max}$ için elde ettiğimiz sayısal değer, dislokasyon üzerinde üniform olarak dağılmış kinkler modelinin (kontinuum takribiyeti) analitik çözümünden elde ettiğimiz değere, söyleki; $\tilde{\Omega}_d^{c,\max} = 4/\pi^2$, (Bak Denklem (23), Referans.[24]) aşağı yukarı eşdeğerdir.

Daha önceleri ifade ettiğimiz vechile, yaygın ara-ikame atomları ile dekoratör atomlarının difüzyon aktivasyon enerjileri arasındaki fark büyük olduğu zaman; mesala hidrogen atomları Niobiumdaki dislokasyonda yaygın bir Cottrell atmosferi meydana getirmekte, ve buna karşılık oksijen atomları lokalize olarak kinklere yerleşmektedir, ζ_d parametresi kuvvetli bir şekilde $\tilde{\Omega}_u$ değişgenin (sıcaklığın tersi ile oranlı) değerine tabiidir. Daha doğrusu sıcaklığına sıkı sıkı bağlımlıdır, ve böylece R parametresi artık deney esnasında sabit kalmaz. İç Sürtünme Deneylerinde ya sürekli ısimma veya sürekli soğuma işlemi kullanılmaktadır. Bu takdirde, denklem [10] ile denklem [15] birleştirilerek, ve R parametresinin tarifi de dikkatle nazara alınarak, aşağıdaki ifadeyi elde etmek ve kullanmak mümkün olacaktır;

$$\tilde{\Omega}_{u,dec}^{\max} = \left(\frac{\tilde{\Omega}_d^{\max} N_k}{\varphi_d \zeta_d^o} \right)^{\left(\frac{1}{1+\eta} \right)} \left(\tilde{\Omega}_u^o \right)^{\left(\frac{\eta}{1+\eta} \right)}. \quad (18)$$

Burada $\eta = (Q_d - Q_u)/Q_u$, sürüklenen dekoratör atomları ile sıçrayan ara-yaygın atomların difüzyon aktivasyon enerjilerinin kesirsel (veya logarithmik, $\delta \ln Q$) farklarını göstermektedir. Yukarıdaki ifadede, ζ_d^o değerlerinin her iki nokta hata içinde aynı ve bire eşit olarak alabiliriz, çünkü D_0 değerleri aşağı yukarı eşdeğerdir. Benzer şekilde, $\tilde{\Omega}_u^o = \omega \tau_u^o$ lçizgisel olarak eksitasyon frekansına tabidir. Refrakter metallerde ve alaşımında, bir çok ara-ikame atomları için τ_u^o aşağı yukarı 10^{-12} saniye mertebesindedir.

Yaygın ara-ikame atomları ve dekoratör nokta hataları için, dislokasyon iç sürtünme tayflarının efektif relaksasyon zamanları aşağıdaki formüllerle belirlenebilir;

$$\tau_{host}^{eff} = \frac{2B_u L^2 \tau_u}{\pi^2 a_o a_k^2 S_o^{el} n_k} \frac{1}{\tilde{\Omega}_u^{\max}}, \quad (19)$$

ve

$$\tau_{dec}^{eff} = \frac{2B_d L \tau_d}{\pi^2 a_o a_k^2 S_o^{el} n_k^2} \frac{1}{\tilde{\Omega}_d^{c,\max}}. \quad (20)$$

Burada $\tilde{\Omega}_u^{\max} = 4$, ve $\tilde{\Omega}_d^{c,\max} = 4/\pi^2$, gerek geliştirdiğimiz analitik teoriye ve gerekse bilgisayar simülasyon sonuçlarına göre bulunmuştur. Denklem (20) göstermektedir ki effektif gevşeme zamanları, dekoratör atomlarından dolayı ortaya çıkan dislokasyon sönümlerinde, yaygın ara-ikame atomlarına nazaran çok daha az olarak çizgisel kink yoğunluğuna bağımlılık göstermektedir. Benzer şekilde, dekoratör atomları ile ilişki iç sürtünme tayfının gevşeme zamanı, dislokasyon segment boyu ile direkt olarak orantılı olduğu halde, yaygın ara-ikame atomlarından dolayı ortaya çıkan tayflarda bu durum segment boyunun karesi ile orantılı olduğu gözlenmektedir. Mesela, Snoek-Koster SK tepecikleri ile ilişkili gevşeme zamanı buna tam bir misal teşkil etmektedir, bilhassa şu durumlarda; $n_k^{eq} L \leq 1$ (alçak sıcaklık derecelerinde,[38]).

Yaygın ara-ikame atomları, ve lokalize dekoratör ara-ikame atomları ile ilişkili effektif gevşeme zamanlarını, aşağıdaki formüllerle ifade etmek mümkündür ($b=1/k_B T$):

$$H_{ddp}^{eff} = \frac{d \ln \tau_{ddp}}{d\beta} = \frac{d \ln \beta_u}{d\beta} + \frac{d \ln \tau_u}{d\beta} - \frac{d \ln N_k}{d\beta} \quad (\text{yaygın ara-ikame atomları}), \quad (21)$$

ve

$$H_u^{eff} = H_s^M + H_s^b + k_B T, \quad (\text{Dekarator ikame atomları}). \quad (22)$$

Bu da, bizim daha önce geliştirdiğimiz kinklerin sürünmeleri ile ilgili çizgisel olmayan viskosite teorilerine göre [28], aşağıdaki sonuçları, doyum sıcaklıklarının yukarısındaki bölgelerde geçerli olmak üzere verir:

$$H_u^{eff} = H_s^M + H_s^b + k_B T, \quad (\text{Sığ kapanlar, geometrik kinkler}) \quad (23)$$

$$H_u^{eff} = H_s^M + H_s^b + \frac{1}{2}k_B T + H_k, \quad (\text{Sığ kapanlar, termal kinkler}) \quad (24)$$

$$H_{dec}^{eff} = H_d^M + H_d^b + k_B T, \quad (\text{Sığ kapanlar, geometrik kinkler}) \quad (25)$$

$$H_{dec}^{eff} = H_d^M + H_d^b + 2H_k, \quad (\text{Sığ kapanlar, termal kinkler}). \quad (26)$$

Yukarıdaki sonuçlar çizgisel kink sürünlme teorisinden [23] elde edilebilir, söyleki; nümunedeki başlangıçtaki uniform ara-ikame atomlarının dağılımını gösteren, C_u^0 konsentrasyonu yerine geçmek üzere, C_d^u , yani ara-ikame atomlarının dislokasyon gövdesindeki dağılım konsentrasyonunu ikame etmek şartı ile. Derin kapanların (deep trapping) mevcudiyeti veya yüksek derecede lokalizasyonun var olduğu durumlarda, yukarıdaki formüller gene tatbik edilebilir, şu şartla ki; sönüüm tayfları (iç sürünlme tepecikleri) kapanların doyum sıcaklıklarının üstünde zuhur etsinler. Bu durumda, sadece $2k_B T$ terimini yukarıdaki denklemlerden çıkarmak gerekecektir. Bu rapor ettiğimiz sonuçlar, belki kaza ile veya zahiren, Seeger [39] tarafından *ad hoc* olarak sunulan denklem takımları ile tam bir uyum içindedir. Daha önceki yayınlarımızda belirttiğimiz vechile, kink-sürüklendirme probleminin detaylı ve özgün (rigorous) çözümü [23] bize göstermiştir ki; Seeger'in SK gevşeme teorisinde [39,40], kink viskositesi $k_B T/D_k$ olarak ele alınmıştır, ve bu bizim daha önce sunduğumuz B_k , (viskos-drag katsayı, referans. (23), denklem. 40) ile ikame edilmelidir. Bu viskosite ikamesinin sıcaklık bağımlılığı, tamamen Seeger teorisindeki *ad hoc* ifadeden farklıdır, söyleki $1/k_B T D_i$. Aradaki fark, sayısal bakımından küçük, fakat konsept bakımından çok önemlidir. Yukarıdaki matematik

ifadelerde, H_s^M ve H_d^M yaygın ara-ikame atomları ile dekoratör atomlarının, sırasıyla, difüzyon aktivasyon entalpilerine tekabül etmektedir. Benzer şekilde, H_s^b ve H_d^b gene sırasıyla, adı geçen nokta kristal hatalarının dislokasyon göbeğine bağlanma enerjilerini göstermektedir. Bu durum, bilhassa Oğurtani ve Seeger'in son yıllarda geliştirdiği (nonlinear) çizgisel olmayan dislokasyon sönüüm teorisinin [28] sonuçları olarak, ve sağlam analitik temellere dayanarak ortaya çıkmaktadır, bir takım *ad hoc* varsayımların ve spekülasyonların neticeleri olarak değil!.

Benzer şekilde, dekoratör ve ara-yaygın ikame atomları ile ilişkili ön-eksponansiyel faktörleri, denklem (8)'de verilen sürüünme katsayısı ifadesini, dislokasyon sönüüm gevşeme zamanları formüllerinde, yani denklem (19) ve denklem (20)'de kullanarak elde etmek mümkündür, şöyle ki;

$$\tau_{host}^\infty = \tau_u^o \tilde{\beta}_u \tilde{\Omega}_u^{\max} \frac{32 G C_u^o L^2}{9\pi k_B T n_k}, \quad (27)$$

burada aşağıdaki takribiyetleri kullandık: makaslama modülü $G=C_{44}$, ve $S_0^{el} = G b^2 / 4\pi$. Burgers vektörü b için de hacim merkezli kübik HMK yapının [111] yönü tabii yön olarak seçilmiştir. $\tilde{\beta}_u$ simbolü kink-ev sahibi (yaygın) ara-ikame atomları arasındaki karşılıklı etkileşim parametresi olup, denklem (8)'de verilen formülün parantez içinde kalan kesimini göstermektedir. Benzer şekilde, dekoratör atomlarının on-eksponansiyel faktörü aşağıdaki formülle bulunur;

$$\tau_{deco}^\infty = \tau_u^o \tilde{\beta}_d \tilde{\Omega}_{dec}^{\max} \frac{32 G C_d L^2}{9\pi k_B T n_k^2} \quad (28)$$

Burada $\tilde{\beta}_d$ kink-dekoratör atomu arasındaki karşılıklı etkileşim parametresine tekabül eder, ve C_d ise orta konumdaki kinklerin hemen civarındaki ortalama dekoratör atomları konsentrasyonunu gösterir. Keza zikretmek gereki ki, f_0 effektif frekansı, tayfin tepe

noktası sıcaklığı T_p ile eksitasyon frekansı arasındaki Arrhenius grafiğinden elde edilebilir. Bu bulgu teorik olarak elde ettigimiz şu formülle mukayese edilebilir: $f_o = 1/2\pi\tau_{ddp}^\infty$, burada τ_{ddp}^∞ parametresi τ_{host}^∞ veya τ_{dec}^∞ on-eksponensiyel faktörleriyle ikame edilebilir, ilgili olduğumuz dislokasyon sönüüm olayına bağlı olarak, yani yaygın ara-ikame atomları veya lokalize olmuş dekoratör atomları gibi.

Şu noktayı belirtmekte yarar var; deney malzemesinin (numune) İç Sürütünme Katsayı ile bu olayı simüle eden diferensiyal denklemler takımının, Q^{-1} faktörü arasında çok önemli bir ilişki vardır, ve bu da bizler tarafından daha önce yayınlanmıştır [30], şöyle ki:

$$Q_{sample}^{-1} = \left\{ \frac{2\Lambda Gb^2 L^2}{\pi^2 S_o^{el}} \right\} Q_{ddp}^{-1} \quad (29)$$

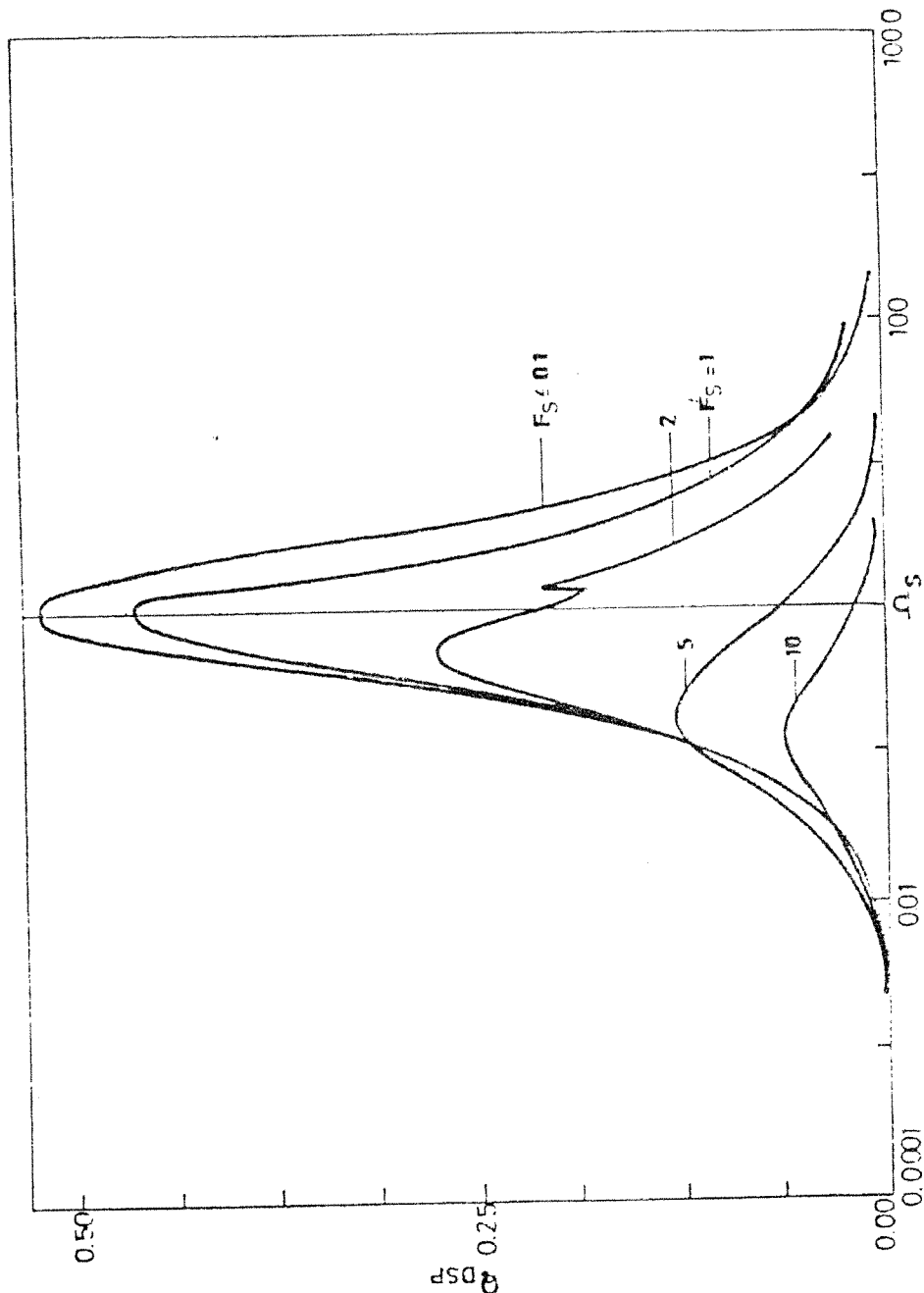
yukarıdaki formülde, arzu edilen duruma göre, Q_{ddp}^{-1} ya yaygın ara-ikame atomlardan dolayı ortaya çıkan dislokasyon sönüüm katsayısını, Q_u^{-1} , veya dekaratör atomları ile ilişkili dislokasyon sönüüm katsayısını, Q_{dec}^{-1} göstermektedir. Λ sembolü ise numunedeki dislokasyon yoğunluğuudur. Büyük parantezler içindeki matematik ifade dislokasyon-nokta hata sisteminden dolayı ortaya çıkan İç Sürütünme Katsayısının doyum halindeki gevşeme şiddetini vermektedir, ve hali hazır durumda kink zincirinin kontinuum analitik [24] çözümünden, $\pi^2/8$ faktörü kadar daha büyütür. Dekorasyon tayıfı aynı tip bir nokta hata için Snoek-Köster relaksasyon tayıfına nazaran 82% kadarlık bir değerde doyuma olmaktadır. Şu noktayı belirtelim ki Snoek-Köster tayıfı her zaman uniform olarak yayılmış nokta hatalardan dolayı ortaya çıkmakta, ve teorik olarak 0.5 değerinde Q^{-1} doyuma ulaşmaktadır. Diğer taraftan daneli kink zinciri üzerinde kurulan bilgisayar simulasyonu işbu doyumun 0.52 gerçekleştigiğini göstermektedir, ve buda analitik değere fevkalade yakın bulunmaktadır.[24]

5.2. GÜC KAYIPLARI İLE İLGİLİ SONUÇLAR

Şekil (6)' de İç Sürtünme Katsayısı normalize olmuş Snoek gevşeme zamanına, $\tilde{\tau}_s = \tau_s \omega$ göre veya diğer bir deyişle ters sıcaklığa göre yarı logarithmik ölçekte plotlanmıştır. Burada ağır söñüm bölgesi dediğimiz kesimden, mühtelif normalize gerilim amplitüdleri, F_s , kullanılmıştır. Bu sekilden hemen görüleceği üzere, sistem anomalous dediğimiz bir gerilim amplitüdü bağımlılığı göstermektedir. Normal gerilim amplitüdü bağımlılığında <İç Sürtünme Katsayısı> tepe değerinin gerilim şiddeti ile orantılı olarak artması gerekmektedir. Normal gerilim (stress) bağımlılığında, gerilim amplitüdü muayyen bir eşik değerinin (threshold) üstüne çıktığında, iç Sürtünme Katsayısında azalma gözlemlenmekte, ve tepe sıcaklığı ise sürekli olarak düşük sıcaklıklara doğru kayma yapmaktadır. Eşik değerinin ki bu da ara-ikame atomlarının yoğunluğu ile orantılıdır, altındaki gerilimlerde dislokasyon söñümleri bir doyum (saturation) haline ulaşmaktadır. Bu sekildeki graflardan birinde görülen iç Sürtünme Katsayılarındaki ani sıçrama olayı, normalize edilmiş gerilim amplitünün $F_s = 2$ değeri için çok belirgin bir şekilde ortaya çıkmakta, ve kinkin etrafını çeviren atmosferi yırtması olayı [33] ile direkt ilişki içerisinde bulunmaktadır.

Doyum haline ulaşmış dislokasyon söñüm eğrisinin, tam tepe noktasına tekabül eden, normalize olmuş gevşeme frekansında, $\Omega_B=1$, güç spektrumu yoğunluğu mühtelif gerilim amplitüdleri için alınmış, ve Şekil (7)' de plot edilmiştir. Bu sekilden açıkça görüleceği üzere, tekli (odd) harmonik jenerasyonu gayet keskin tepeçikler şeklinde kendini göstermekte, ve kink zincirinin tabii osilasyon frekansının, $\Omega_A=20$ hemen civarında konumlanmaktadır. Bilhassa yüksek gerilim ($F_s=10-25$) amplitüdlerinde, geniş-band (broad band) gürültü spektrumuna da raslanmaktadır. Çok daha yüksek gerilim amplitüdlerinde ($F_s=50$) ise; sistem bir yandan tabii frekans civarında çift harmonik jenerasyonu gösterirken, diğer yandan da yüksek şiddette gürültü bandı vermektedir, ve tek harmoniklerin kayıp olduğu duruma doğru yönelmektedir.

ŞEKİL (6)



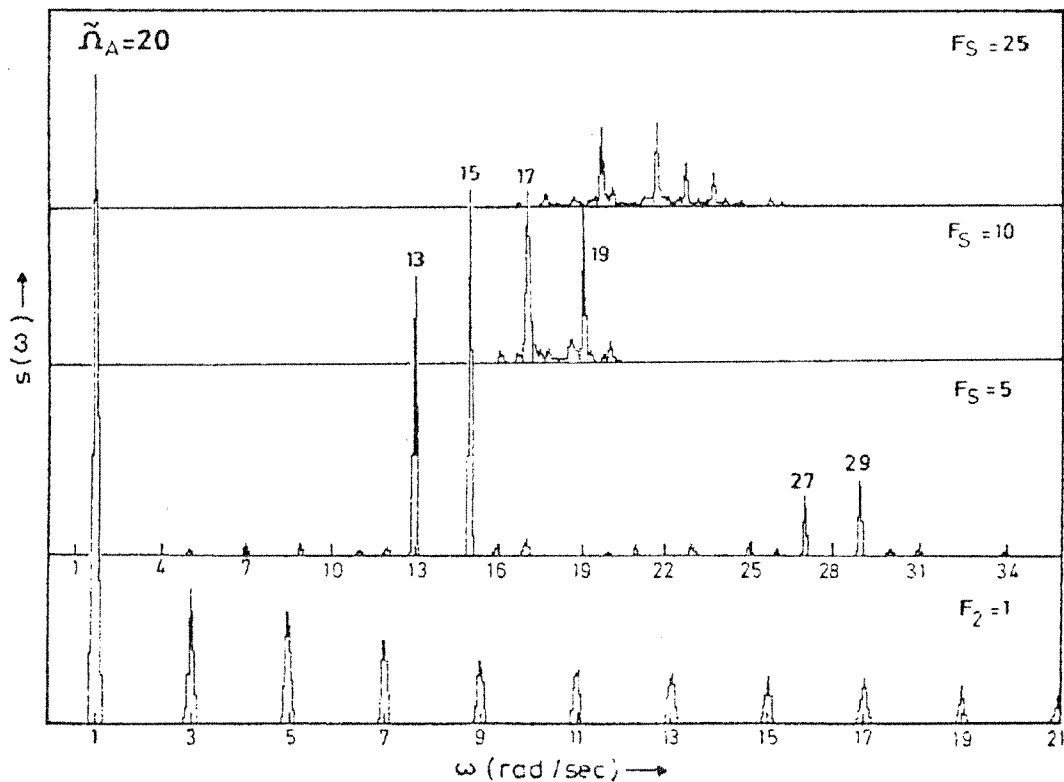
6. İç Sürünme Katsayısı, mühitelis gerilim amplitüdleri için, yarı-logarithmik skalada normalize edilmiş Snock relaksasyon zamanına göre plot edilmiştir. Bu şekil bize anormal gerilim amplitüdübağımlılığı göstermektedir, ve yüksek ara-ikame atomları konsentrasyonlarında İç Sürünme tayfinin doyuma ulaşıldığını işaret etmektedir. $F_s=2$ değerine tekabül eden spektrumda görülen ani sıçrama gerçek olup kinkin atmosferi yırtması olayına karşılık gelmektedir. Parametreler: $F_{bias}=0$, $L=100$, ve $N_k=3$ (Normalize olmuş sistem rezonans frekansı, $\tilde{\Omega}_A=10$).

Şekil (8)' de tabii sistem frekansı yüksek, $\Omega_A=50$ olan bir kink zinciri ele alınmış, ve burada gene yüksek gerilim amplitüdlerinde genel olarak titreşim dinamiği incelenmiştir. Bu çalışma açıkça göstermektedir ki eğer sürücünün frekansı sistemin tabii frekansının çok altında ise, işbu çizgisel olmayan sistem hiç bir tek harmonik jenerasyonu göstermemekte, ve sadece yüksek frekanslarda bazı çift harmonik jenerasyonu gerçekleştirmesi yanında, sistemin tabii frekansı civarında ($\omega=50$) yüksek şiddette gürültü spektrumu (noise band) yaratmaktadır. Bu plotlama sisteminde frekans, ω sürücünün frekansına göre normalize edilmiş frekans ölçüğünü göstermektedir. Mesela $\omega=1$ sürücü gerilimlerin frekansına karşılık gelmektedir.

Sistemin düşük sürücü frekanslarında yarattığı geniş band gürültü dinamiğinin ince detaylarını incelemek üzere, Şekil (9)' de yarı-logarithmik plotlama tekniği kullanılmıştır. Bu şekilde nisbeten mütevazi gerilim amplitüdlerinde (fakat hypersonik bölgede) bile kaotik davranışlar görülmektedir. Daha ziyade çizgisel plotlamada bariz bir şekilde ortaya çıkan keskin tayflar veya çizgiler bize Feigenbaum [41] karakterinde bazı periodik hallerin de (states) mevcudiyetini haber vermektedir.

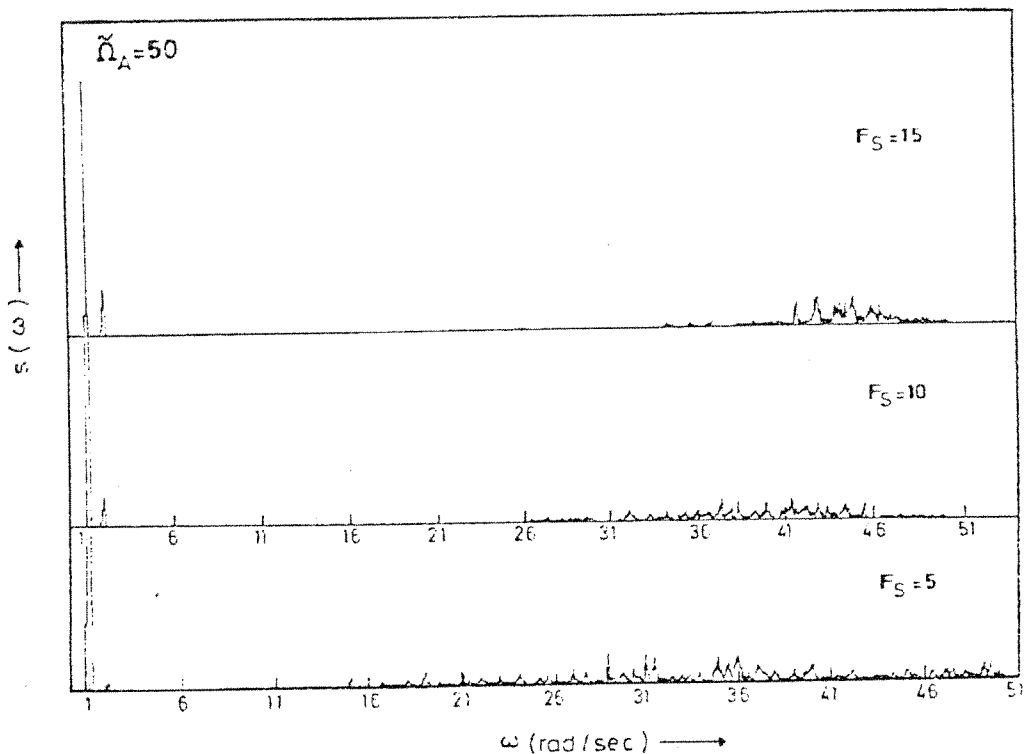
Sonuç olarak şu söylemek mümkünkündür ki; kuvvetli olarak güç kayıplarına uğrayan çizgisel olmayan sistemlerde, sadece harmonik jenerasyonu değil ve aynı zamanda yüksek sürücü kuvvetlerinde kaotik titreşimlere de rastlanmaktadır.[42,43]

ŞEKİL (7)



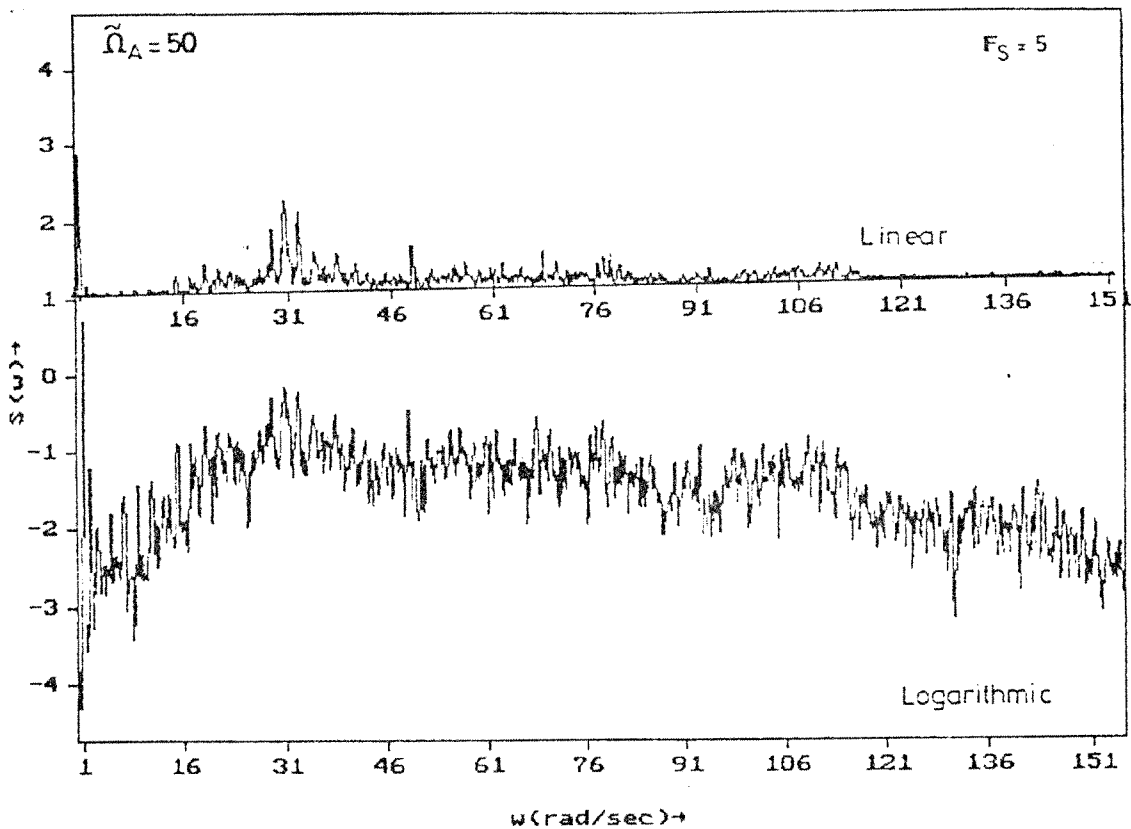
7. Güç spektral densitesi, $S(\omega)$ normalize olmuş frekansa, ω göre (dış sürücü frekansı) muhtelif gerilim amplitüdlerine, F_s için plot edilmiştir. Bu şekil sistemin tabii frekansı ($\tilde{\Omega}_A=20$) civarında tek-harmoniklerin jenere olduğunu göstermektedir. Bu çalışmalarda nisbeten mütevazi gerilim amplitüdleri kullanılmıştır. Çok yüksek gerilim amplitüdlerinde geniş band gürültü spektrumu ve buna bindirilmiş gayet keskin tayfların ortaya çıktığı gözlenmektedir. Parametreler: $F_{bias}=0$, $L=100$, $N_k=3$ (data kayıtları $\tilde{\Omega}_B=1$ değerinde alınmıştır).

ŞEKİL (8)



8. Güc spektral densitesi, $S(\omega)$ normalize olmuş frekansa, ω göre (diş sürücü frekansı) muhtelif gerilim amplitüdlerine, F_s için plot edilmiştir. Bu deneylerde çok yüksek sistem tabii frekansı kullanılmıştır, ($\tilde{\Omega}_A=50$). Bu şekil bize tek-harmoniklerin tamamen silindiğini, ve yerlerine geniş band gürültü spektrumlarının olduğunu göstermektedir. Parametreler; $F_{bias}=0$, $L=100$, $N_k=3$ (data $\tilde{\Omega}_B=1$ değerinde kayıt edilmiştir).

ŞEKİL (9)



9. Güc spektral densitesi, $S(\omega)$ normalize olmuş frekansa, ω göre (dış sürücü frekansı) ve mütevazi bir gerilim amplitüdünde, $F_s = 5$ yarı-logarithmik ölçek kullanılarak plot edilmiştir. Sistemde kullanılan sürücü frekansı, ($\tilde{\Omega}_A=50$ çok düşük olup relaksasyon modundaki bir çalışmaya tekabül etmektedir. Bu şekil geniş band gürültü spektrumu jenerasyonu yanında, buna bindirilmiş konumda bazı gayet keskin hat tayflarının ortaya çıktığını göstermektedir. Parametreler; $F_{bias}=0, L=100, N_k=3$ (data kayıtları şu değerde alınmıştır; $\Omega_B=1$), ve yumuşatma indeksi (the smoothing index) olarak 2 seçilmiştir).

VI. GENEL DEĞERLENDİRME

6.1. KINK MOBİLİTESİ

Snoek-Köster diye adlandırılan dislokasyon sönüm olayı ile ilgili olup da, literatürde en çok kabul edilen model, Seeger [8] tarafından öne sürülmüştür. Bu teoriye göre SK relaksasyonu dislokasyonlar üzerinde oluşan termal kink çiftlerinin, malzemede mevcut yabancı (foreign) atomlarla karşılıklı etkileşinden dolayı ortaya çıkmaktadır. Fiziksel olarak işbu teoride en önemli parametre, kink mobilitesi (tersinir drag katsayı) dir, ve bu da yabancı atomların (interstitial veya substitutional) mevcudiyeti ile fevkalade etkilenmekte ve adeta olayı kontrol edilmektedir. Seeger [8], bu parametrenin direkt hesaplanmasıın fevkalade güc olduğunu sezinliyerek, damping prosesinin ana hatları hakkında bir fikir verebilmek için, şu ilişkiyi *ad hoc* olarak teklif etmiştir; $\mu_k \approx D^i / C_d k_B T$ (orijinal olarak Schoeck tarafından teklif edilmiştir, [19]). Daha sonraları [33,34], adı geçen araştırmacı Einstein-Nerst ilişkisini, $\mu_k \approx D_k / k_B T$ kullanarak mobiliteyi kink difuzivitesi cinsinden yazmayı denemiştir. Burada da gene *ad hoc* olarak şu ilişkileri zaman zaman makalelerinde kullanmaktadır;

$$D_K = (\lambda_1 - \lambda_2)^2 \exp(-H_k^M / k_B T) / \tau^s C_d , \quad (30)$$

veya

$$\cdot D_k = \exp(-H_k^M / k_B T) / \tau^s C_d . \quad (31)$$

Çok yakın bir geçmişte, Seeger ve ortak çalışanları [35], kink difusivitesi ile atomik difuzyon katsayısı arasındaki ilişki için, yeni bir ifadeyi daha denemişlerdir, söyleki: $D_k^{SK} = (\beta C_d)^{-1} D^i$ burada β kapling sabitesi olup dislokasyonlarla ilgili ara-ikame

atomlarının karşılıklı etkileşimini içermektedir, ve ayrıca sıcaklıktan etkilenmediğini varsayımlardır.

Bizim gerek çizgisel [23,25], ve gerekse çizgisel olmayan teorilerle geliştirdiğimiz kink-sürünme [28] hadisesi göstermiştir ki, yukarıdaki *ad hoc* formüllerin hepsi de temelden hatalıdır. Mesala, sonuncu formul şu şekilde modifiye edilerek, $D_k^{SK} = (k_B T)^2 (\beta C_d)^{-1} D^t$ hiç olmazsa çizgisel viskosite rejimi için gerçeli bir ifade yazılabilirdi. Bu viskosite rejiminde Snoek-Köster spektrumlarının tepe noktası yüksekliği tatbik edilen dış gerilimlerinin amplitüdleri ile değişmezler. Reference. [23'] de zikrettigimiz veçhile, yukarıdaki doğru sıcaklık bağıntısı, nümerik olarak küçük bir modifikasyon yaparak SK relaksasyon tayfinin effektif enthalpisinde $2k_B T$ kadar bir katkıda bulunmaktadır. Oktahedral [23] ve tetrahedral [25] ikame atomları için, Oğurtani ve Seeger'in geliştirdiği çizgisel teoriye göre birinci mertebeden takribiyet arzeden şu ifade mevcuttur; $\beta = \left[a_o^6 C_{44}^2 / 324 \right] \tilde{\beta}$. Bu ifade de hacim merkezli kubik HMK yapılarda {110} düzlemindeki tek kinkler için caridir, ve kinki taşıyan dislokasyonun karakterine, saf köse veya saf vida tiplerinde olması gibi, bağımlı değildir. $\tilde{\beta}$ ise kink-ikame atomları arasındaki karşılıklı etkileşim parametresi olup aşağıdaki formülle hesaplanabilir, ve bilhassa oktaedral yahut ağır ikame atomları dediğimiz, C, N, O için büyük bir hassasiyetle geçerlidir:

$$\tilde{\beta} = \left\{ \frac{1}{9} Tr^2 \lambda * \beta_1 + (\lambda_1 - \lambda_2)^2 (\beta_2 + \beta_3) \right\}. \quad (32)$$

Burada parantez içerisindeki birinci terim dilatasyondan [44] mütevvelit (Cottrell Atmosferi) viskosite katkısı, ve ikinci terim ise sabit hacimli hareket (saf makaslama) ile ilişkili viskosite katkısını göstermektedir. Bizim terminolojimize göre ikinci viskosite katkısı Snoek atmosferini teşkil eden ara-ikame atomlarından doğmaktadır. β_i katsayısı mühtelif karakterdeki dislokasyon-kink konfigurasyonları için HMK metallerde, izotropik veya

anizotropik elastik ortamlarda hesap edilmiştir (Bak: Tablo IV, Ref.23). Keza aynı tip hesaplamalar tetrahedral ikame atomları için de yapılmıştır (Bak: Tablo VIII, Ref.25).

Bu sayısal çalışmalar bize göstermiştir ki **kink genişliği** viskosite katsayısına (β_i tayini dolayısıyla) çok önemli bir şekilde etkilemde bulunmakta, ve bu bilhassa vida tipi dislokasyonlar üzerinde konumlanmış kinkler civarında yoğunlaşan küresel ara-ikame atomlarının meydana getirdiği **Cottrell atmosferinin** mevcudiyeti halinde, çok önemli bir fiziksel parametre olarak ortaya çıkmaktadır. Ani kinkler (**abrupt**) durumunda ise, yani kink genişliğinin sıfıra ulaştığı hallerde, sadece izotropik etkileşim değil (**akustik mod**), ve aynı zamanda saf kesme tipi etkileşim (**akustik mod**), kinki taşıyan dislokasyonun karakteri ne olursa olsun (köse veya vida), viskositin tayininde çok önemli role haizdir. Bundan dolayı, kink genişliğini bilmeksizin (ki bu parametre kink formasyon enthalpisi ile ters orantılıdır), küresel ara-ikame atomların dolayı oluşan SK relaksasyonun sadece kuvvetli köse komponentine haiz dislokasyonlar tarafından yaratılacağı, ve burada vida dislokasyonun bir rol oynayamacağını speküle etmek mümkün değildir. Mesela, Hauptman [42] ve ortak çalışanlarının Palladiumda gözlemlledikleri Hidrojen esaslı Snoek-Köster spektrumunun köse dislokasyonlarından dolayı oluştuğunu varsayımlı gibi. Bu alaşım sisteminde, kink genişliği vida dislokasyonlar için köse dilokasyonlara nazaran takriben faktör iki kadar daha azdır. Dolayısıyla, bu musait şartlar altında Hidrojen SK relaksasyon tepeciğinin vida dislokasyonlar üzerinde oluşan kink-çiftlerinden mitevelliit hiusule geldiğini söylemek daha gerçekçidir. Bunu destekleyen diğer bir hususta hidrojen ara-ikame atomları tarafından indüklenen ilave relaksasyon tayfinin, aynı numunedeki Bordoni tayfinin yüksek sıcaklık kanadında zuhur etmesidir. Buna benzer durum, Tanaka ve arkadaşlarının [37] nikelde yaptıkları hidrojen şarjı deneylerinde çok daha vuzuh olarak ortaya çıkmaktadır, çünkü bu metalde hidrojenin solubilitesi çok yüksektir, dolayısıyla konsentrasyonla oynamak çok daha rahattır, söyleki; hidrojen konsentrasyonu artıkça, ilk olarak şarjsız numunedede deformasyon sonucu ortaya çıkan ve vida dislokasyonlarındaki termal kink-çiftlerin oluşuma atfedilen Bordoni tayı, P_d yavaş yavaş şiddetini kaybetmeyecektir, ve yerini P_{dH} (hidrojen SK) tipi bir relaksasyon tepeciğinin P_d nazaran çok daha yüksek sıcaklıklarda husule gelmesini intaç ettirmektedir.

6.2. SONUÇLAR VE ÖZETLEME

Gerek yaygın ve gerekse lokalize olmuş (dekoratör) nokta hatalarının kinklerle olan karşılıklı etkileşimi sonucunda ortaya çıkan *Dislokasyon İç Sürtünme olayı*, daneli (discrete) kink zinciri modeli kullanılarak ve bunlar arasında kink-kink etkileşimini de hesaba katarak komputerde simulasyonu gerçekleştirilmiştir. Hem dinamik İç Sürtünme Katsayısı, ve hemde Güç Spektral Yoğunluk detaylı bir şekilde irdelenmiştir.

Hali hazır çok detaylı olarak yapılan komputer deneyleri bize göstermektedir ki;

1. Dekoratör atomları yüksek difüzyon aktivasyon enerjisine ve/veya daha büyük yapışma özelliğine sahip oldukları takdirde, yaygın (ana) ara-ikame atomlarının oluşturduğu dislokasyon iç sürtünme tayfinin tepesi daha düşük sıcaklıklara doğru kaymakta, ve aynı zamanda şiddetinde bir azalma husule gelmektedir.
2. Dekoratör atomlarından (lokalize nokta hata) dolayı oluşan dislokasyon iç sürtünme tayı, difüzyon aktivasyon entalpisi veya kinklere yapışma kapasitesi ana-ikame atomlarına nazaran (diğer bir tabirle yaygın) çok daha yüksek seviyelerde bulunan dekoratör atom çeşitleri için seçkin ve ayrik bir şekilde müşahede edilebilir.
3. Küçük difüzyon aktivasyon veya yapışma gücü farkları için, yaygın nokta hatalardan dolayı oluşan ana-tayfta iki ayrisma husule gelir, söyleki: esas tayf (main peak) ve peyk tayf (subsidiary peak) olarak isimlendirmek olasılığı ile. Pek tayf esas tayfin sol üst köşesinde (yüksek sıcaklık omuzu) yer almaktır, zamanla dekoratör tayı güçlendikçe ortadan kalkmaktadır. Fakat esas tayf nihai pozisyonda, fevakalade stabil bir konumda kalmaktadır. Esas tayfin tepesi, $\tilde{\Omega}_u^{\max} = 4$, ve relaksasyon şiddeti ise $Q_u^{-1} = 1/5$ dir, ve bu da analitik teorinin önsezgisi gibi dislokasyon segmenti boyundaki faktör ikilik bir kısaltmanın karesinin yaratacağı şiddet indirimine aynen karşılık gelmektedir

4. Dekoratör tayf tepeciğinin gerek yüksekliği (relaksasyon şiddeti) ve gerekse normalize olmuş sıcaklık eksenindeki pozisyonu kink yoğunluğunun çok hassas bir şekilde fonksiyonudur.

5. Kink zincirinden oluşan sistem çok yüksek gerilim amplitüdlerinde tahrik edildiği takdirde geniş band spektrumlu, gelişő güzel (random) gürültü jenerasyonu yapmakta, ve kaotik bir dinamik yapı göstermektedir.

En nihayet, yukarıdaki bilgisayar deneylerinin sonuçlarının ışığı altında şunu söylemek mümkündür; eldeki bilgisayar modellemesini ve verilerini, yalnız geometrik kink zinciri için değil ve aynı zamanda termal kink ve geometrik kink karışımından oluşan sistemlere de aynen uygulamak mümkündür, yeterki kink yoğunluğunundaki, bir eksitasyon periodu süresine tekabül eden zaman aralığındaki değişim çok az düzeyde olsun. Diğer bir değişle, termal kinklerin jenerasyon ve anhilasyon frekanları sürücünün eksitasyon frekansına nazaran çok büyük olsun. Buda, gerek dekaratör ve gerekse yaygın ikame atomları ile ilişkili dislokasyon iç sürtünme spektrumlarının tepe sıcaklıklarının **Gama** ve **Alfa** tepelerinin [43] sıcaklıklarının çok daha üstünde olması gerektiğini göstermektedir. Böylece, aynen bu raporda verilen matematik yapıyı muhafaza ederek, termal olarak yaratılmış kinkler-çiftlerinden [44] oluşan kink zincirin ara-ikame atomları ile olan etkileşimleri sonucu ortaya çıkabilecek damping spektrumunu bilgisayarda simule etmek mümkün olabilecektir,. Bu esaslar içersinde bizim bilgisayar deneylerimizin verileri ile Seeger'in **SK relaksasyonu** için {38,40] oluşturduğu kink-çiftleri teorisinin verilerinin tam bir uygunluk içinde olduğu muşahede edebiliriz (Mukayese et: Denklem (22) ile Seeger-Denklem (36) ve Denklem (24) ile Seeger-Denklem (30-31), Referans.38, ve keza Referans 40.'deki Tablo.I).

Çok enteransıdır ki, bizim bilgisayar deneylerinin olguları ile Tanaka ve yardımcılarının [37] plastik olarak deform edilmiş, ve hidrojenle şarj olunmuş Nikel numunelerdeki **İç Sürtünme** laboratuar deneyleri sonuçları fevkalade benzerlikler göstermektedir. Tanaka bu deneyleri ile açıkça göstermiştir ki, nikel metali içersinde katı

eriyik halinde bulunan hidrojen ara-ikame atomları metalin zati (intrinsic) tayfinı bastırmakta, ve daha yukarı sıcaklıklarda yeni bir iç sürtünme tayfi oluşturmaktadır. İlk tayf Bordoni tipinde olduğu, ve yeni oluşan tayfında SK tipi bir relaksasyon tayfi olduğu sonucuna adı geçen araştırmacılar varmışlardır. Şöyleki, iki tip sürükleme mekanizması çalışmaktadır; birinci mekanizma dislokasyon boyunca uniform olarak etkileşim dağılımı yapmakta, ve ikinci mekanize ise lokalize olmuş daneli bir yapı içerisinde kendini göstermekte. Bu mekanizmalar ve oluşturdukları iki ayrı tip tepecikler, o zaman içerisindeki mevcut teorilerle [8,13,48,49] izah edilmeye uğraşılmıştır. Halbuki teoriler kendi içerisinde çok belirgin bazı tutarsızları vardır. Tanaka tarafından [37] elde edilen Hidrojen ile ilişkili tayfin effektif aktivasyon enerjisi (0.50 ± 0.05 eV) bizim çalışmamızda geliştirilmiş Denklem (26) ile tam bir uyum içersindedir. Burada şu datayı kullanabiliriz: $H_d^b = 0.14eV$, $2H_k = 0.16eV$, ve $H_d^M = 0.19eV$.

REFERANSLAR

1. J.S. Koehler, in Imperfections in Nearly Perfect Crystals, edited by W. Shockley (Wiley, New York, 1952), p.197.
2. A. V. Granato and K. Lucke, J. Appl. Phys. 27, 583 (1956).
3. A. V. Granato and K. Lucke, J. Appl. Phys. 27, 789 (1956).
4. H. M. Simpson, A. Sosin, and D. F. Johnson, J. Appl. Phys. 44, 1435 (1973).
5. H. M. Simpson, A. Sosin, and D. F. Johnson, Phys. Rev. B 5, 1393 (1972).
6. L. Seiffert, H. M. Simpson, and Sosin, J. Appl.Phys. 44, 3404 (1973).
7. J. P. Hirth, Scr. Metall. 16, 221 (1982).
8. A. Seeger, Phys. Status solidi (a) 55, 547 (1979).
9. J. P. Hirth, Metall. Trans. 11A, 861 (1980).
10. T. Ogurtani and A. Seeger, Phys. Rev. B31, 5044 (1985).
11. T. Ogurtani and A. Seeger (unpublished).
12. T. Ogurtani, Phys. Status Solidi (a) 128, 69 (1991).
13. A. Seeger and P. Schiller, Acta Metall. 10, 348 (1962).
14. T. Suzuki and C. Elbaum, J. Appl. Phys. 35, 1439 (1964).
15. K. Lucke and A. V. Granato, Phys. Rev. B24, 6991 (1981).
16. A. V. Granato and K. Lucke, Phys. Rev. B24, 7007 (1981).
17. H. M. Simpson and A. Sosin, Phys. Rev. B 16, 1489 (1977).
18. H. M. Simpson and A. Sosin, Phys. Rev. B 5, 1382 (1972).
19. G. Schoeck, Acta Metall. 16, 221 (1963).
20. A. D. Brailsford, in Dislocation Modeling of Physical Systems, edited by M.F. Ashby et al. (Pergamon, New York, 1981), p.430.
21. T. Ogurtani, Phys. Rev. B 21, 4373 (1980).
22. T. Ogurtani and A. Seeger, Phys. Rev. B 29, 1728 (1984).
23. T. Ogurtani and A. Seeger, J. Appl. Phys. 57, 193 (1985).
24. T. Ogurtani, Phys. Rev. B 40, 2873 (1989).
25. T. Ogurtani and A. Seeger, J. Appl. Phys. 58, 4102 (1985).

26. A. Seeger and P. Schiller, Physical Acoustics, Ed. W. P. Mason, Vol.3, (Academic Press, New York, 1966), p.361.
27. L. M. Brown, Canad. J. Phys. 45, 863 (1967).
28. T. Ogurtani and A. Seeger, J. Appl. Phys. 62, 852 (1987).
29. T. Ogurtani and A. Seeger, J. Appl. Phys. 62, 3704 (1987).
30. T. Ogurtani and A. Seeger, J. Appl. Phys. 65, 4679 (1989)
31. N. Bloembergen, Nonlinear Optics (Benjamin, New York, 1965).
32. B. A. Huberman and J.P. Crutchfield, Phys. Rev. lett. 43, 1743 (1979).
33. T.O.Ogurtani, J.Appl.Phys.66, 5274 (1989).
34. D.E.Newland, Random Vibration and Spectral Analysis (John Wiley, New York, 1984).
35. D. M. Young and R. T. Gregory, A Survey of Numerical Mathematics, Vol. 1 (Addison Wesley, New York, 1973), p.488.
36. J.D. Lambert, Computational Methods in Ordinary Differential Equations (J. Wiley, London, 1973), p.143.
37. K. Tanaka, T. Inukai, K. Uchida, and M. Yanada, J. Appl. Phys. 54, 6890 (1983).
38. A. Seeger, M. Weller, J. Diehl, Z. L. Pan, J. Zhang, and T. S. Ke, Z. Metallk. 73, 1 (1962).
39. A. Seeger, J. de Physique, 42,C5-201 (1981).
40. A. Seeger, Scripta Met., 16, 241 (1982)
41. M. Feigenbaum, J. Stat. Phys. 19, 25 (1978).
42. F.J. Di Salvo and T.M.Rice, Phys. Today 32, No.4, 32 (1979).
43. J. B. Boyce and B. A. Huberman, Phys. Rep. 51, 189 (1979).
44. A. C. Eringen, Mechanics of Continua (Krieger, New York, 1980), p.253.
45. G. Hauptmann, W. Ulfert, H. Kronmuller, and A. Seeger, Z. Metallk. 83, 457 (1992).
46. G. Alefeld, J. Appl. Phys. 36, 2642 (1965).
47. J. Baur, W. Benoit, and H. Schultz, Acta Metall. 37, 1159, 1989.
48. K. Lucke and A.V. Granato, Phys. Rev. B 24, 6991 (1981).
49. A. V. Granato and K. Lucke, Phys. Rev. B 24, 7007 (1981).

```

LUMP.PAS
{$n+}
{version 2}
program
  lumpam5;
uses
  crt,graph;
const
  ndata=8192;
type
  viewportyper=record
    x1,y1,x2,y2:double;
  end;
var
  viewportwidth,viewportheight,i,j,k,l,mlc,gd,gm,hght,
  wdh,nl,nk,dumi,its,nls,osl,osr,kbw,ist,iw,it,rec,
  recc,nos,nskip,ntsc,nlsk,rndch,page,npage,logq,pp,
  nlf :integer;
  force,kp,xm,facto,kpb,dw,dlw,xf,kkk0,kpa,xb,idme,id,
  idi,f,fbias,vm,tf,pii,ntp,dtdiv,m,q1,nd,oab,dt,kkb,
  l1,fsb,fbia,os,osb,ose,osl,os2,b,nkk,d0,d01,t,
  t1,s1,x,y,cxmean,cvmean,sfac,osmul,osm,osms,ossmul,
  expmul,sos,soss,osmo,osmi,endcheck,mulfac,rndrng,
  sdt,dtds,dtps,dtd,dtpp,oss1,oss2 :double;
  windowwidth>windowheight :array[0..1] of double;
  x0,v0,ff,r1,r2,r3,r4,r5,r6,r11,r12,r13,r14,r15,r16 :array[1..5,1..5] of double;
  ffl,prx,prv,crx,crv,osd,ost :array[1..5] of double;
  wincoor :array[0..1] of viewportyper;
  viewcoor :viewportyper;
  phs,dis :text;
  ss,filename,ssl,prost :string;
  duch,proch :char;
  state :record
    m,t :double;
    velo,disp,forc :array[1..5,1..5] of double;
  end;

function mody(yr:double;vpo:boolean):integer;
var
  yd:integer;
begin
  yd:=round(viewportheight*((wincoor[page].y1-yr)/windowheight[page]+1));
  if vpo then mody:=yd else mody:=yd+viewcoor.y1;
end;
function modx(xr:double;vpo:boolean):integer;
var
  xd:integer;
begin
  xd:=round(viewportwidth*(xr-wincoor[page].x1)/windowwidth[page]);
  if vpo then modx:=xd else modx:=xd+viewcoor.x1;
end;
procedure setusercoord(xd,yd,xu,yu:double;page:byte);
begin
  windowwidth[page]:=xu-xd;
  windowheight[page]:=yu-yd;
  with wincoor[page] do begin
    x1:=xd;
    x2:=xu;
    y1:=yd;
    y2:=yu;
  end;
end;
function power(base,top:double):double;
begin
  power:=exp(top*ln(base));
end;
function log(base,top:double):double;
begin
  log:=ln(top)/ln(base);
end;
procedure printxy(x,y,len,dec:integer;tit:string;num:double);
begin

```

```

    str(num:len:dec,ss);
    outtextxy(x,y,tit+ss);
end;
procedure usepage(pn:integer);
begin
  page:=pn;
  setactivepage(pn);
end;
procedure putparam;
begin
  outtextxy(0,1,'Program : LUMPAM5');
  outtextxy(35*wdth,1,'Session ID:'+filename);
  outtextxy(wdth,hght+1,'Mode ='+'prost');
  printxy(wdth,2*hght+1,3,1,'ND.NLF=',nd+nlf/10);
  printxy(wdth,3*hght+1,6,2,'Mscale=',multfac);
  printxy(wdth,4*hght+1,6,2,'Oab   =',oab);
  printxy(wdth,5*hght+1,3,0,'NL   =',nl);
  printxy(16*wdth,hght+1,6,2,'Kapa  =',kpb);
  printxy(16*wdth,2*hght+1,6,2,'LL   =',ll);
  printxy(16*wdth,3*hght+1,6,2,'Fsb   =',fsb);
  printxy(16*wdth,4*hght+1,6,2,'Fbias =',fbia);
  printxy(16*wdth,5*hght+1,6,2,'A'/A =',kp);
  printxy(31*wdth,hght+1,3,0,'Nkink =',nk);
  printxy(31*wdth,2*hght+1,3,0,'Random=',rndch);
  printxy(31*wdth,3*hght+1,7,3,'RndRng=',log(10,rndrng));
  if proch='P' then printxy(31*wdth,4*hght+1,7,3,'Os   =',log(10,os));
  if proch='J' then begin
    printxy(31*wdth,4*hght+1,7,3,'Osstrt=',log(10,osb));
    printxy(31*wdth,5*hght+1,7,3,'Osend =',log(10,ose));
  end;
  if proch='S' then begin
    printxy(31*wdth,4*hght+1,7,3,'Osslow=',log(10,oss1));
    printxy(31*wdth,5*hght+1,3,0,'NLslow=',nls);
    for i:=1 to iw+1 do begin
      str(log(10,osd[i]):7:3,ss);
      if i=1 then ss:='Osstrt='+ss
      else
        if i=iw+1 then ss:='Osend ='+'ss
        else begin
          str(i-1:1,ss1);
          ss:='Osret'+ss1+'='+'ss';
        end;
      outtextxy(46*wdth,i*hght+1,ss);
    end;
    if its=1 then begin
      for i:=1 to it do begin
        str(i:1,ss);
        printxy(61*wdth,i*hght+1,7,3,'Osrec'+ss+'=',log(10,ost[i]));
      end;
    end;
  end;
end;
procedure writephsinfo;
var
  pn:integer;
begin
  if proch='P' then usepage(0) else usepage(1);
  setviewport(0,0,getmaxx,getmaxy,clipon);
  with viewcoor do begin
    bar(x1,y1-hght-1,x2,y1-1);
    str(log(10,os):1:8,ss);
    outtextxy(x1,y1-hght-1,'log(Os)='+ss);
    str(1/sfac:1:8,ss);
    outtextxy(x1+20*wdth,y1-hght-1,'Scale='+'ss');
    if (kbw>nk) or (kbw<1) then ss:='average' else str(kbw:2,ss);
    outtextxy(x1+45*wdth,y1-hght-1,'Kink='+'ss');
    setviewport(x1,y1,x2,y2,clipon);
  end;
end;
procedure writedisinfo;
begin
  usepage(0);

```

```

setviewport(0,0,getmaxx,getmaxy,clipon);
with viewcoor do begin
  bar(x1,y1-hght-1,x2,y1-1);
  str(log(10,os):1:8,ss);
  outtextxy(x1,y1-hght-1,'log(Os)='+ss);
  str(dt:1:12,ss);
  outtextxy(x1+20*wdth,y1-hght-1,'dt='+ss);
  str(pii:1:0,ss);
  outtextxy(x1+38*wdth,y1-hght-1,'spc='+ss);
  str(m:1:0,ss);
  outtextxy(x1+52*wdth,y1-hght-1,'s='+ss);
  setviewport(x1,y1,x2,y2,clipon);
end;
end;
function takechar(instr:string):char;
var
  s:char;
begin
  repeat
    s:=uppercase(readkey);
    until pos(s,instr)>0;
    takechar:=s;
  end;
procedure putscope;
var
  c0:integer;
begin
  with viewcoor do begin
    rectangle(x1,y1,x2,y2);
    if page=1 then begin
      c0:=modx(0,false);
      line(c0,y1,c0,y2);
      c0:=mody(0,false);
      line(x1,c0,x2,c0);
    end;
  end;
end;
procedure erasescope;
begin
  if proch='P' then usepage(0) else usepage(1);
  clearviewport;
  setviewport(0,0,getmaxx,getmaxy,clipon);
  putscope;
  with viewcoor do setviewport(x1,y1,x2,y2,clipon);
end;
procedure putxscale(x1,x2,xs:double;xsname:string);
var
  y:integer;
  x:double;
begin
  y:=viewcoor.y2;
  settextjustify(lefttext,toptext);
  for i:=0 to trunc((x2-x1)/xs) do begin
    x:=x1+i*xs;
    line(modx(x,false),y,modx(x,false),y+hght div 2);
    printxy(modx(x,false),y+hght,1,1,'',x);
  end;
  i:=modx(wincoor[page].x1+windowwidth[page]/2,false);
  j:=y+2*hght;
  outtextxy(i,j,xsname+chr(26));
  settextjustify(lefttext,toptext)
end;
procedure putyscale(y1,y2,ys:double;xsname:string);
var
  x:integer;
  y:double;
begin
  x:=viewcoor.x1;
  settextjustify(righttext,centeredtext);
  for i:=0 to trunc((y2-y1)/ys) do begin
    y:=y1+i*ys;
    line(x-wdth div 2,mody(y,false),x,mody(y,false));
  end;
end;

```

```

    printxy(x-wdth,mody(y,false),1,1,'',y);
end;
i:=x-wdth;
j:=mody(wincoor[page].y1+windowheight[page]/2,false);
settextstyle(defaultfont,vertdir,1);
outtextxy(i,j,xsname+chr(26));
settextstyle(defaultfont,horizdir,1);
settextjustify(lefttext,toptext);
end;
procedure keyhandle;
begin
  duch:=upcase(readkey);
  case duch of
    'B':begin
      pp:=1;
      usepage(1);
      writephsinfo;
    end;
    'E':begin
      pp:=0;
      writephsinfo;
    end;
    'P':begin
      setvisualpage(1);
      writephsinfo;
    end;
    'D':begin
      setvisualpage(0);
      writedisinfo;
      writephsinfo;
    end;
    'C':begin
      erasescope;
      writephsinfo;
    end;
    'A':begin
      sfac:=1/fsb/os;
      writephsinfo;
    end;
    'I':begin
      writedisinfo;
      writephsinfo;
    end;
    '+','-', '*', '/','.' :begin
      case duch of
        '+':sfac:=sfac*2;
        '-':sfac:=sfac/2;
        '*':sfac:=sfac*10;
        '/':sfac:=sfac/10;
        '.':sfac:=1;
      end;
      writephsinfo;
    end;
    '0'..'9':begin
      val(duch,kbw,dumi);
      writephsinfo;
    end;
  end;
end;
procedure keyhandlep;
begin
  duch:=upcase(readkey);
  case duch of
    'C':begin
      erasescope;
      writephsinfo;
    end;
    'A':begin
      sfac:=1/fsb/os;
      writephsinfo;
    end;
    '+','-', '*', '/','.' :begin

```

```

    case duch of
      '+':sfac:=sfac*2;
      '-':sfac:=sfac/2;
      '*':sfac:=sfac*10;
      '/':sfac:=sfac/10;
      '.':sfac:=1;
    end;
    writephsinfo;
  end;
  '0'..'9':begin
    val(duch,kbw,dumi);
    writephsinfo;
  end;
end;
end;
procedure initxv(rnd:integer);
begin
  randomize;
  for i:=1 to nk do
    if rnd=1 then begin
      x0[i,1]:=(2*random-1)*rndrng;
      v0[i,1]:=(2*random-1)*rndrng;
      end
    else begin
      x0[i,1]:=0;
      v0[i,1]:=0;
      end;
    end;
  end;
procedure x_y(kink:integer);
begin
  if (kink>nk) or (kink<1) then begin
    cxmean:=0;
    cvmean:=0;
    for i:=1 to nk do begin
      cxmean:=cxmean+crx[i];
      cvmean:=cvmean+crv[i];
    end;
    cxmean:=cxmean/nk;
    cvmean:=cvmean/nk;
    x:=cxmean;
    y:=cvmean;
  end
  else begin
    x:=crx[kink];
    y:=crv[kink];
  end;
  end;
procedure putphsdot;
begin
  if proch='P' then usepage(0) else usepage(1);
  x_y(kbw);
  putpixel(modx(sfac*x,true),mody(sfac*y,true),15);
end;
procedure putdisdot;
var
  yc:integer;
  qt:double;
begin
  usepage(0);
  idิ:=id/pii;
  if proch<>'S' then os1:=os;
  q1:=2*idi*kkb/(os1*sqr(fsb));
  qt:=q1;
  q1:=log(10,q1);
  s1:=log(10,os1);
  if proch='S' then
    writeln(dis,os1,' ',qt,' ',s1,' ',q1);
  if logq=0 then
    yc:=mody(mulfac*qt,true)
  else
    yc:=mody(q1,true);
  putpixel(modx(s1,true),yc,15);
end;

```

```

    end;
procedure timestep;
begin
  if (os>=oss1) and (os<oss2) then
    begin
      osmul:=osms;
      nos:=nls;
      dtdiv:=dtds;
      dtp:=dtps;
    end
  else
    begin
      osmul:=osm;
      nos:=nl;
      dtdiv:=dtd;
      dtp:=dtpp;
    end;
  t1:=2*aab*aab/(kkb*os);
  if t1>=0.1 then dt:=dtp else dt:=t1/dtdiv;
  pii:=round(2*pi/dt);
  dt:=2*pi/pii;
  endcheck:=nos*pii;
  if proch='S' then ossmul:=power(osmul,(1/endcheck));
end;
procedure changeos(mul:double);
begin
  os:=os*mul;
  dw:=os*d0;
  dlw:=dw*sqrt(kp);
  ffbias:=fbia*os/(aab*aab);
  b:=os*kkb/(aab*aab);
  f:=os*fsb/(aab*aab);
end;
procedure savestate;
begin
  state.m:=m;
  state.t:=t;
  for l:=1 to 4 do
    for i:=1 to nk do begin
      state.disp[i,l]:=x0[i,l];
      state.velo[i,l]:=v0[i,l];
      state.forc[i,l]:=ff[i,l];
    end;
end;
procedure restorestate;
begin
  m:=state.m;
  t:=state.t;
  for l:=1 to 4 do
    for i:=1 to nk do begin
      x0[i,l]:=state.disp[i,l];
      v0[i,l]:=state.velo[i,l];
      ff[i,l]:=state.forc[i,l];
    end;
end;
procedure interact;
begin
  if nk=1 then
    force:=-2*kkk0*xm/sqr(sqr(2*xm/l1)-1)
  else
    if i=1 then begin
      if nlf=0 then
        facto:=((xf-kpb*xm)/2/dw+1)/sqr(xm/dlw+1)/sqr((xf-xm)/dw+1)
      else
        facto:=1;
      force:=kkk0*(xf-kpa*xm)*facto;
    end
    else
      if i=nk then begin
        if nlf=0 then
          facto:=((-xb+kpb*xm)/2/dw+1)/sqr(xm/dlw+1)/sqr((xm-xb)/dw+1)
        else

```

```

        facto:=1;
        force:=kkk0*(xb-kpa*xm)*facto;
    end
    else begin
        if nlf=0 then
            facto:=((xf-xb)/2/dw+1)/sqr((xf-xm)/dw+1)/sqr((xm-xb)/dw+1)
        else
            facto:=1;
            force:=kkk0*(xf-2*xm+xb)*facto;
    end;
    force:=force+f*sin(tf)+(1-exp(-tf/2))*fbias-b*vm/(1+nd*vm*vm)
end;
procedure dissipate;
begin
    idme:=0;
    for i:=1 to nk do
        idme:=idme+crv[i]*crv[i]/(1+nd*crv[i]*crv[i]);
    id:=id+idme/nk;
end;
procedure runge_kutta;
begin
    m:=0; id:=0;
    for l:=1 to 3 do begin
        for i:=1 to nk do begin
            r1[i,l]:=dt*v0[i,l];
            xm:=x0[i,l];
            if i>1 then xb:=x0[i-1,l];
            if i<nk then xf:=x0[i+1,l];
            vm:=v0[i,l];
            tf:=t;
            interact;
            ff[i,l]:=force;
            r11[i,l]:=dt*force;
        end;
        for i:=1 to nk do begin
            r2[i,l]:=dt*(v0[i,l]+r11[i,l]/3);
            xm:=x0[i,l]+r1[i,l]/3;
            if i>1 then xb:=x0[i-1,l]+r1[i-1,l]/3;
            if i<nk then xf:=x0[i+1,l]+r1[i+1,l]/3;
            vm:=v0[i,l]+r11[i,l]/3;
            tf:=t+dt/3;
            interact;
            r12[i,l]:=dt*force;
        end;
        for i:=1 to nk do begin
            r3[i,l]:=dt*(v0[i,l]+(4*r11[i,l]+6*r12[i,l])/25);
            xm:=x0[i,l]+(4*r1[i,l]+6*r2[i,l])/25;
            if i>1 then xb:=x0[i-1,l]+(4*r1[i-1,l]+6*r2[i-1,l])/25;
            if i<nk then xf:=x0[i+1,l]+(4*r1[i+1,l]+6*r2[i+1,l])/25;
            vm:=v0[i,l]+(4*r11[i,l]+6*r12[i,l])/25;
            tf:=t+2*dt/5;
            interact;
            r13[i,l]:=dt*force;
        end;
        for i:=1 to nk do begin
            r4[i,l]:=dt*(v0[i,l]+(r11[i,l]-12*r12[i,l]+15*r13[i,l])/4);
            xm:=x0[i,l]+(r1[i,l]-12*r2[i,l]+15*r3[i,l])/4;
            if i>1 then xb:=x0[i-1,l]+(r1[i-1,l]-12*r2[i-1,l]+15*r3[i-1,l])/4;
            if i<nk then xf:=x0[i+1,l]+(r1[i+1,l]-12*r2[i+1,l]+15*r3[i+1,l])/4;
            vm:=v0[i,l]+(r11[i,l]-12*r12[i,l]+15*r13[i,l])/4;
            tf:=t+dt/2;
            interact;
            r14[i,l]:=dt*force;
        end;
        for i:=1 to nk do begin
            r5[i,l]:=dt*(v0[i,l]+(6*r11[i,l]+90*r12[i,l]-50*r13[i,l]+8*r14[i,l])/81);
            xm:=x0[i,l]+(6*r1[i,l]+90*r2[i,l]-50*r3[i,l]+8*r4[i,l])/81;
            if i>1 then xb:=x0[i-1,l]+(6*r1[i-1,l]+90*r2[i-1,l]-50*r3[i-1,l]+8*r4[i-1,l])/81;
            if i<nk then xf:=x0[i+1,l]+(6*r1[i+1,l]+90*r2[i+1,l]-50*r3[i+1,l]+8*r4[i+1,l])/81;
            vm:=v0[i,l]+(6*r11[i,l]+90*r12[i,l]-50*r13[i,l]+8*r14[i,l])/81;
            tf:=t+2*dt/3;
            interact;

```

```

r15[i,1]:=dt*force;
end;
for i:=1 to nk do begin
  r6[i,1]:=dt*(v0[i,1]+(6*r11[i,1]+36*r12[i,1]+10*r13[i,1]+8*r14[i,1])/75);
  xm:=x0[i,1]+(6*r1[i,1]+36*r2[i,1]+10*r3[i,1]+8*r4[i,1])/75;
  if i>1 then xb:=x0[i-1,1]+(6*r1[i-1,1]+36*r2[i-1,1]+10*r3[i-1,1]+8*r4[i-1,1])/75;
  if i<nk then xf:=x0[i+1,1]+(6*r1[i+1,1]+36*r2[i+1,1]+10*r3[i+1,1]+8*r4[i+1,1])/75;
  vm:=v0[i,1]+(6*r11[i,1]+36*r12[i,1]+10*r13[i,1]+8*r14[i,1])/75;
  tf:=t+4*dt/5;
  interact;
  r16[i,1]:=dt*force;
end;
for i:= 1 to nk do begin
  x0[i,1+1]:=x0[i,1]+(23*r1[i,1]+125*r3[i,1]-81*r5[i,1]+125*r6[i,1])/192;
  v0[i,1+1]:=v0[i,1]+(23*r11[i,1]+125*r13[i,1]-81*r15[i,1]+125*r16[i,1])/192;
  if proch='S' then id:=id+v0[i,1+1]*v0[i,1+1]/(1+nd*v0[i,1+1]*v0[i,1+1]);
end;
m:=m+1;
t:=t+dt;
for i:=1 to nk do begin
  xm:=x0[i,1+1];
  if i>1 then xb:=x0[i-1,1+1];
  if i<nk then xf:=x0[i+1,1+1];
  vm:=v0[i,1+1];
  tf:=t;
  interact;
  ff[i,1+1]:=force;
end;
if proch='S' then changeos(ossmul);
end;
id:=id/nk;
end;
procedure adams_moulton;
begin
  for i:=1 to nk do begin
    prx[i]:=x0[i,4]+(dt/24)*(55*v0[i,4]-59*v0[i,3]+37*v0[i,2]-9*v0[i,1]);
    prv[i]:=v0[i,4]+(dt/24)*(55*ff[i,4]-59*ff[i,3]+37*ff[i,2]-9*ff[i,1]);
    crx[i]:=x0[i,4]+(dt/24)*(9*prv[i]+19*v0[i,4]-5*v0[i,3]+v0[i,2]);
  end;
  for i:= 1 to nk do begin
    xm:=crx[i];
    if i>1 then xb:=crx[i-1];
    if i<nk then xf:=crx[i+1];
    vm:=prv[i];
    tf:=t;
    interact;
    ffl[i]:=force;
    crv[i]:=v0[i,4]+(dt/24)*(9*ffl[i]+19*ff[i,4]-5*ff[i,3]+ff[i,2]);
  end;
  for i:=1 to nk do begin
    x0[i,1]:=x0[i,2];
    x0[i,2]:=x0[i,3];
    x0[i,3]:=x0[i,4];
    x0[i,4]:=crx[i];
    v0[i,1]:=v0[i,2];
    v0[i,2]:=v0[i,3];
    v0[i,3]:=v0[i,4];
    v0[i,4]:=crv[i];
    ff[i,1]:=ff[i,2];
    ff[i,2]:=ff[i,3];
    ff[i,3]:=ff[i,4];
    ff[i,4]:=ffl[i];
  end;
  m:=m+1;
  t:=t+dt;
end;
procedure getrecord;
var
  sdc,dc,skc:double;
begin
  savestate;
  sfac:=1/fsb/os;

```

```

writephsinfo;
if proch='S' then begin
  usepage(1);
  setvisualpage(1);
  erasescope;
  str(rec:1,ss);
  str(mlc:1,ss1);
  ss:=filename+ss1+ss+'.dat';
  end
else
  ss:=filename+'_s.dat';
skc:=round(sdt/dt);
assign(phs,ss);
rewrite(phs);
writeln(phs,dt*skc,' ',os);
for k:=1 to nlsk do begin
  dc:=0;
  repeat
    adams_moulton;
    x_y(kbw);
    putpixel(modx(sfac*x,true),mody(sfac*y,true),15);
    gotoxy(1,1);
    writeln(0,0,dc,pii);
    dc:=dc+1;
  until dc>=pii;
end;
dc:=0;
repeat
  sdc:=0;
  repeat
    adams_moulton;
    x_y(kbw);
    putpixel(modx(sfac*x,true),mody(sfac*y,true),15);
    sdc:=sdc+1;
  until sdc>=skc;
  writeln(phs,x,' ',y);
  dc:=dc+1;
until dc>nldata;
close(phs);
restoretstate;
rec:=rec+ist;
end;
procedure phase;
begin
  nlsk:=0;
  initxv(rndch);
  timestep;
  changeos(1);
  runge_kutta;
  sfac:=1/fsb/os;
  usepage(0);
  writephsinfo;
  repeat
    adams_moulton;
    if keypressed then keyhandlep;
    putphsdot;
  until m>=endcheck;
  if its=1 then getrecord;
end;
procedure jump;
begin
  os:=osb;
  changeos(1);
  sfac:=1/fsb/os;
  repeat
    initxv(rndch);
    timestep;
    t:=0;
    m:=0;
    writedisinfo;
    runge_kutta;
    repeat

```

```

adams_moulton;
if keypressed then keyhandle;
if pp=1 then putphsdot;
if m>=endcheck then dissipate;
until m>=endcheck+pii;
putdisdot;
changeos(osmul);
until os>ose;
end;
procedure sweep;
begin
  assign(dis,filename+'_d.dat');
  rewrite(dis);
  initxv(rndch);
  for i:=1 to nk do begin
    x0[i,4]:=x0[i,1];
    v0[i,4]:=v0[i,1];
  end;
  for mlc:=1 to iw do begin
    osb:=osd[mlc];
    ose:=osd[mlc+1];
    if its=1 then
      if ist=1 then rec:=1 else rec:=it
    else
      rec:=0;
    os2:=osb;
    repeat
      os1:=os2;
      os:=os1;
      timestep;
      changeos(1);
      sfac:=1/fsb/osb;
      osmo:=power(osmul,ist);
      os2:=os1*osmo;
      m:=0;
      writedisinfo;
      osmi:=power(ossmul,ist);
      if ist*(ose-os2)<0 then os2:=ose;
      for i:=1 to nk do begin
        x0[i,1]:=x0[i,4];
        v0[i,1]:=v0[i,4];
      end;
      runge_kutta;
      repeat
        adams_moulton;
        if keypressed then keyhandle;
        if pp=1 then putphsdot;
        if m<=pii then dissipate;
        changeos(osmi);
        if (rec>0) and (rec<=it) then
          if ist*(ost[rec]-os)<=0 then getrecord;
        until ist*(os2-os)<=0;
        if m>=pii then putdisdot;
        until ist*(ose-os2)<=0;
        ist:=-1*ist;
      end;
      close(dis);
    end;
  procedure prepphspage;
  begin
    usepage(page);
    putparam;
    putscope;
    putxscale(-4,4,1,'Displacement');
    putyscale(-4,4,1,'Velocity');
  end;
  procedure prepdispage;
  begin
    usepage(0);
    putparam;
    putscope;
    with wincoor[0] do

```

```

putxscale(x1,x2,1,'Log(Os)');
if logq=0 then
  putyscale(0,1.5,0.5,'1/Q')
else
  putyscale(-4,4,1,'Log(1/Q)');
end;
procedure initgraphics;
begin
  detectgraph(gd,gm);
  if gd=9 then gm:=1;
  initgraph(gd, gm, 'c:\tp\bgi');
  setfillstyle(1,0);
  setcolor(15);
  hght:=textheight('H');
  wdth:=textwidth('H');
  hght:=hght+1;
  with viewcoor do begin
    x1:=round(getmaxx/10);
    y1:=round(getmaxy/5);
    x2:=x1*9;
    y2:=getmaxy-3*hght;
    viewportwidth:=x2-x1;
    viewportheight:=y2-y1;
  end;
  page:=0;
  if proch<>'P' then begin
    if logq=0 then
      setusercoord(osl,0,osr,1.5,page)
    else
      setusercoord(osl,-4,osr,4,page);
    prepdispage;
    page:=1;
  end;
  setusercoord(-4,-4,4,4,page);
  prepphspage;
  pp:=1;
  usepage(0);
  setvisualpage(0);
  with viewcoor do setviewport(x1,y1,x2,y2,clipon);
end;
procedure getconst;
begin
  nkk:=nk-1+2*sqrt(kp);
  kbw:=1;
  d0:=11/nkk;
  d01:=d0*sqrt(kp);
  kpa:=(sqrt(kp)+1)/sqrt(kp);
  kpb:=(sqrt(kp)-1)/sqrt(kp);
  kkk0:=sqr(nkk/pi/oab);
  osm:=power(10,sos);
  osms:=power(10,soss);
  sfac:=1;
  t:=0; sdt:=0.01;
  if proch='P' then begin
    oss1:=1e10;
    oss2:=1e10;
    nls:=nl;
  end;
end;
procedure getparam;
begin
  repeat
    clrscr;
    textcolor(black);
    textbackground(white);
    writeln('Program : LUMPAM5');
    textcolor(lightgray);
    textbackground(black);
    writeln;
    write('Enter Session ID:->');readln(filename);
    write('Choose procedure:(dissipation(Jump,Sweep),Phase)->');
    proch:=takechar('JSP');

```

```

case proch of
  'J': prost:='Jump';
  'S': prost:='Sweep';
  'P': prost:='Phase';
end;
writeln(prost);
writeln('INPUT THE INITIAL PARAMETERS.');
write('ScreenFact ->'); readln(mulfac);
write('Randomness ->'); readln(rndch);
rndrng:=1;
if rndch=1 then begin
  write('Random range->'); readln(rndrng);
end;
write('Nvisco    ->'); readln(nd);
write('NLF       ->'); readln(nlf);
write('Oab       ->'); readln(oab);
write('Kapa      ->'); readln(kkb);
write('LL        ->'); readln(ll);
write('Fsb       ->'); readln(fsb);
write('Fbias     ->'); readln(fbia);
write('A'/A      ->'); readln(kp);
write('Nkink     ->'); readln(nk);
write('NL        ->'); readln(nl);
write('dt        ->'); readln(dtpp);
write('dtdiv     ->'); readln(dtd);
if (proch='J') or (proch='S') then begin
  write('Log plot 1/Q ? (y/n):');
  if upcase(readkey)='Y' then begin
    writeln('Yes');
    logq:=1;
  end
  else begin
    writeln('No');
    logq:=0;
  end;
  writeln('Input the logarithms of Os.');
  writeln('Calculation:');
  write('Os step   ->'); readln(sos);
  write('Os start   ->'); readln(osb);
  osb:=power(10,osb); osd[1]:=osb;
  iw:=1;
  if proch='S' then begin
    write('Paths     ->'); readln(iw);
    write('Direction 1->'); readln(ist);
    if iw>1 then begin
      for k:=2 to iw do begin
        write('Osret',k-1:6,'->'); readln(osd[k]);
        osd[k]:=power(10,osd[k]);
      end;
    end;
  end;
  write('Os end     ->'); readln(ose);
  ose:=power(10,ose); osd[iw+1]:=ose;
  write('Slow down ? (y/n):');
  if upcase(readkey)='Y' then begin
    writeln('Yes');
    writeln('Input the slow range parameters.');
    write('Os slowstep->'); readln(soss);
    write('Os left    ->'); readln(oss1);
    oss1:=power(10,oss1);
    write('Os right   ->'); readln(oss2);
    oss2:=power(10,oss2);
    write('NL slow    ->'); readln(nls);
    write('dt slow    ->'); readln(dtpp);
    write('dtdiv slow ->'); readln(dtdd);
  end
  else begin
    writeln('No');
    oss1:=1e10;
    oss2:=1e10;
    soss:=sos;
    nls:=nl;
  end;
end;

```

```

dtps:=dtpp;
dtds:=dtd;
end;
if proch='S' then begin
  write('Get record ? (y/n):');
  if upcase(readkey)='Y' then begin
    writeln('Yes');
    its:=1;
    write('NL to skip ->'); readln(nlsk);
    write('# of points ->'); readln(it);
    for k:=1 to it do begin
      write('Osrec',k:6,'->'); readln(ost[k]);
      ost[k]:=power(10,ost[k]);
    end;
  end
  else begin
    writeln('No');
    its:=0;
    it:=0;
  end;
end;
if proch='J' then its:=0;
writeln('Plotting:');
write('Os left ->'); readln(osl);
write('Os right ->'); readln(osr);
end;
if proch='P' then begin
  write('Log(OS) ->'); readln(os); os:=power(10,os);
  write('Get record ? (y/n):');
  if upcase(readkey)='Y' then begin
    writeln('Yes');
    its:=1;
    nlsk:=0;
  end
  else begin
    writeln('No');
    its:=0;
  end;
  osl:=-4;
  osr:=4;
end;
writeln('Is everything okey ? (y/n):');
until upcase(readkey)='Y';
getconst;
end;
begin
  clrscr;
  getparam;
  initgraphics;
  case proch of
    'J': jump;
    'S': sweep;
    'P': phase;
  end;
  setvisualpage(0);
  usepage(0);
  setviewport(0,0,getmaxx,getmaxy,clipon);
  outtextxy(20*wdth,1,'COMPLETED');
  if proch<>'P' then
    repeat
      if keypressed then keyhandle;
      until duch=#27
  else
    repeat until readkey=#27;
  closegraph;
end.

```

```

SPECTRUM.PAS
{$n+}
program
  spectrum;
uses
  crt,graph;
const
  n=8192;
  halfn=n div 2;
type
  complex=record
    r,i:double
  end;
  comptr=^complex;
  viewportyper=record
    x1,y1,x2,y2:double;
  end;
var
  a                               :array[1..n] of comptr;
  ts,ft                           :text;
  flnm,ss,ssl                      :string;
  sigma,mean,max,min,be,nyf,tl,dt,os,ist,famp,xw,xw0,
  yw,yw0>windowwidth>windowheight,jsx,jsy           :double;
  gd,gm,i,j,k,viewportwidth,viewportheight,ch,cw,xv,yv,
  cy,jsm,lch,sn                   :integer;
  wincoor                         :viewportyper;
  viewcoor                         :viewporttype;
  s                                :char;
  ps,pp,pe                         :pointer;

procedure setusercoord(xd,yd,xu,yu:double);
begin
  windowwidth:=xu-xd;
  windowheight:=yu-yd;
  with wincoor do begin
    x1:=xd;
    x2:=xu;
    y1:=yd;
    y2:=yu;
  end;
end;

function mody(yr:double;vpo:boolean):integer;
var
  yp:integer;
begin
  yp:=round(viewportheight*((wincoor.y1-yr)/windowheight+1));
  if vpo then mody:=yp else mody:=yp+viewcoor.y1;
end;

function modx(xr:double;vpo:boolean):integer;
var
  xp:integer;
begin
  xp:=round(viewportwidth*(xr-wincoor.x1)/windowwidth);
  if vpo then modx:=xp else modx:=xp+viewcoor.x1;
end;

procedure beep;
begin
  Sound(1000);
  Delay(50);
  NoSound;
end;

function int2str(num:integer):string;
var
  s:string;
begin
  str(num,s);
  int2str:=s;
end;

```

```

end;

function flt2str(flt:single;w,d:byte):string;
var
  s:string;
begin
  str(flt:w:d,s);
  flt2str:=s;
end;

function logy(x,y:double):double;
begin
  logy:=ln(x)/ln(y);
end;

function power(x,y:double):double;
begin
  power:=exp(y*ln(x));
end;

procedure putyscale(xsname:string);
var
  x,ys,n,i:longint;
  ym,y:double;
begin
  x:=viewcoor.x1;
  settextjustify(righttext,centeredtext);
  n:=trunc(logy(wincoor.y2,10));
  if n<0 then n:=n-1;
  ym:=power(10,n);
  ys:=trunc(wincoor.y2/ym);
  for i:=0 to ys do begin
    y:=i*ym;
    line(x-cw div 2,mody(y,false),x,mody(y,false));
    outtextxy(x-cw,mody(y,false),int2str(i));
    if (xsname<>'S(w)' or ((xsname='S(w)' and (lch=1))) then begin
      line(x-cw div 2,mody(-y,false),x,mody(-y,false));
      outtextxy(x-cw,mody(-y,false),int2str(-i));
    end;
  end;
  settextstyle(defaultfont,vertdir,1);
  if n<>0 then
    outtextxy(2*cw,viewportheight div 2+viewcoor.y1,xsname+chr(26)+'x10^'+int2str(n))
  else
    outtextxy(2*cw,viewportheight div 2+viewcoor.y1,xsname+chr(26));
  settextstyle(defaultfont,horizdir,1);
  settextjustify(lefttext,toptext);
end;

procedure putxscale(xsname:string);
var
  y,xb,dx,n:longint;
begin
  y:=viewcoor.y2;
  settextjustify(centeredtext,toptext);
  xb:=trunc(wincoor.x1)+1;
  n:=trunc(wincoor.x2)-trunc(wincoor.x1)-1;
  if n>10 then n:=10;
  if n=0 then n:=1;
  dx:=trunc((wincoor.x2-wincoor.x1)/n);
  repeat
    line(modx(xb,false),y+ch div 2,modx(xb,false),y);
    outtextxy(modx(xb,false),y+ch,int2str(xb));
    xb:=xb+dx;
  until xb>wincoor.x2;
  i:=modx(wincoor.x1+windowwidth/2,false);
  j:=y+2*ch;
  outtextxy(i,j,xsname+chr(26));
  settextstyle(defaultfont,horizdir,1);
  settextjustify(lefttext,toptext);
end;

```

```

procedure initarray;
begin
  for i:=1 to n do new(a[i]);
end;

procedure initialize;
begin
  lch:=-1;
  if s='D' then ss:='displacement' else ss:='velocity';
  detectgraph(gd,gm);
  initgraph(gd,gm,'c:\tp\bgi');
  with viewcoor do begin
    x1:=round(getmaxx*0.1);
    y1:=round(getmaxy*0.2);
    x2:=round(getmaxx*0.9);
    y2:=round(getmaxy*0.9);
    viewportwidth:=x2-x1;
    viewportheight:=y2-y1;
  end;
  ch:=textheight('H');
  cw:=textwidth('H');
  i:=imagesize(0,0,2*cw,2*ch);
  getmem(pp,i);
  getmem(ps,i);
  getmem(pe,imagesize(0,0,40*cw,ch));
  getimage(0,0,40*cw,ch,pe^);
  line(20-cw,20,20+cw,20);
  line(20,20-ch,20,20+ch);
  getimage(20-cw,20-ch,20+cw,20+ch,pp^);
  cy:=-ch-1;
end;

procedure readfile;
var
  x:array [1..2] of double;
  ii:byte;
begin
  write('Enter file name:');readln(flnm);
  write('Enter SN:');readln(sn);
  s:=' ';
  write('Displacement or Velocity (D/V)');
  repeat
    s:=upcase(readkey);
    until (s='D') or (s='V');
    if s='D' then ii:=1 else ii:=2;
    ss:=flnm+'.'+dat;
    assign(ts,ss);
    reset(ts);
    readln(ts,dt,os);
    for i:=1 to n do begin
      readln(ts,x[1],x[2]);
      a[i]^ .r:=x[ii];
      a[i]^ .i:=0;
    end;
    close(ts);
  end;
end;

procedure writefile;
begin
  ss:=flnm+'F.DAT';
  assign(ft,ss);
  rewrite(ft);
  for i:=1 to halfn do
    writeln(ft,(i-1)/(halfn-1)*nyf,' ',a[i]^ .r);
  close(ft);
end;

procedure maxmin(strt,fin:integer);
begin
  max:=a[strt]^ .r;
  min:=max;
  for i:=strt to fin do begin

```

```

if a[i]^r>max then max:=a[i]^r;
if a[i]^r<min then min:=a[i]^r;
end;
end;

procedure getdataspec;
begin
mean:=0;
sigma:=0;
for i:=1 to n do begin
mean:=mean+a[i]^r;
sigma:=sigma+sqr(a[i]^r);
end;
mean:=mean/n;
sigma:=sigma/n;
sigma:=sqrt(sigma-sqr(mean));
tl:=dt*(n-1);
nyf:=pi/dt;
be:=(2*sn+1)/tl;
end;

procedure zeromean;
begin
for i:=1 to n do a[i]^r:=a[i]^r-mean;
end;

procedure wind;
begin
for i:=1 to n do a[i]^r:=a[i]^r*0.5*(1-cos(2*pi*(i-1)/(n-1)));
end;

procedure swap(var v1,v2:double);
var
dum :double;
begin
dum:=v1; v1:=v2; v2:=dum;
end;

procedure fft(dir:integer);
var
nbd2,nbml,me,lpk,basen,j,k,l,m :integer;
ui,ur,wi,wr,tr,ti,sr :double;
begin
basen:=round(ln(n)/ln(2));
if dir=1 then
for j:=1 to n do begin
a[j]^r:=a[j]^r/n;
a[j]^i:=a[j]^i/n;
end;
dir:=-dir;
nbd2:=n div 2;
nbml:=n-1;
j:=1;
for l:=1 to nbml do begin
if l < j then begin
swap (a[j]^r, a[l]^r);
swap (a[j]^i, a[l]^i);
end;
k:=nbd2;
while k<j do begin
j:=j-k;
k:=k div 2;
end;
j:=j+k;
end;
for m:=1 to basen do begin
ur:=1;
ui:=0;
me:=round(exp(m*ln(2)));
k:=me div 2;
wr:=cos(pi/k);
wi:=dir*sin(pi/k);

```

```

for j:=1 to k do begin
  l:=j;
  while l<=n do begin
    lpk:=l+k;
    tr:=a[lpk]^r*ur-a[lpk]^i*ui;
    ti:=a[lpk]^i*ur+a[lpk]^r*ui;
    a[lpk]^r:=a[l]^r-tr;
    a[l]^i:=a[l]^i-ti;
    a[l]^r:=a[l]^r+tr;
    a[l]^i:=a[l]^i+ti;
    l:=l+me;
  end;
  sr:=ur;
  ur:=ur*wr-ui*wi;
  ui:=ui*wr+sr*wi;
end;
end;
end;

procedure spectra;
begin
  max:=t1/2/pi;
  for i:=1 to n do
    a[i]^r:=max*(sqr(a[i]^r)+sqr(a[i]^i));
end;

procedure smooth(sn:integer);
var
  aa:array[1..9] of double;
  i,j,k:integer;
begin
  for i:=1 to sn do aa[i]:=a[i]^r;
  for i:=sn+1 to n-sn do begin
    aa[sn+1]:=a[i]^r;
    for j:=1 to sn do aa[sn+1]:=aa[sn+1]+a[i-j]^r+a[i+j]^r;
    aa[sn+1]:=aa[sn+1]/(2*sn+1);
    a[i-sn]^r:=aa[1];
    for j:=1 to sn do aa[j]:=aa[j+1];
  end;
  for i:=1 to sn do a[n-2*sn+i]^r:=aa[i];
end;

procedure clipcoord(k:integer);
begin
  case k of
    6:if xw>wincoor.x2 then begin
      beep;
      xw:=wincoor.x2;
      xv:=modx(xw,false);
    end;
    4:if xw<wincoor.x1 then begin
      beep;
      xw:=wincoor.x1;
      xv:=modx(xw,false);
    end;
    8:if yw>wincoor.y2 then begin
      beep;
      yw:=wincoor.y2;
      yv:=mody(yw,false);
    end;
    2:if yw<wincoor.y1 then begin
      beep;
      yw:=wincoor.y1;
      yv:=mody(yw,false);
    end;
    else
    end;
  end;
end;

procedure remplus;
begin
  putimage(xv-cw,yv-ch,ps^,normalput);

```

```

end;

procedure putplus;
begin
  getimage(xv-cw, yv-ch, xv+cw, yv+ch, ps^);
  putimage(xv-cw, yv-ch, pp^, xorput);
  putimage(viewcoor.xl, viewcoor.yl-ch-1, pe^, normalput);
  outtextxy(viewcoor.xl, viewcoor.yl-ch-1, 'w=' + flt2str(xw, 1, 4));
  outtextxy(viewcoor.xl+20*cw, viewcoor.yl-ch-1, 'S(w)=' + flt2str(yw, 1, 4));
end;

procedure carryplus(xc, yc, k:integer);
begin
  remplus;
  xv:=xc;
  yv:=yc;
  clipcoord(k);
  putplus;
end;

procedure newplus;
begin
  xw:=wincoor.xl;
  yw:=wincoor.yl;
  xv:=modx(xw, false);
  yv:=mody(yw, false);
  putplus;
end;

procedure plot(heading, xlabel, ylabel:string; xb, xe:double; yb, ye:double);
var
  dx, xl:double;
  ist, ien, nn:integer;
begin
  if heading='SPECTRUM' then begin
    nn:=halfn;
    xl:=nyf;
  end
  else begin
    nn:=n;
    xl:=tl;
  end;
  ist:=round(xb*(nn-1)/xl)+1;
  ien:=round(xe*(nn-1)/xl)+1;
  dx:=xl/(nn-1);
  if yb>ye then begin
    maxmin(ist, ien);
    if heading<>'SPECTRUM' then
      if abs(min)>abs(max) then max:=-min else min:=-max
    else begin
      if lch=1 then begin
        max:=logy(max, 10);
        min:=logy(min, 10);
        if abs(min)>abs(max) then max:=-min else min:=-max;
      end
      else
        min:=0;
    end;
    yb:=1.1*min;
    ye:=1.1*max;
  end;
  setusercoord(xb, yb, xe, ye);
  setviewport(0, 0, getmaxx, getmaxy, true);
  cleardevice;
  outtext(heading+'  Filename:' + flnm);
  if lch=1 then outtext('  Logarithmic');
  outtextxy(cw, 2*ch, 'Total Time      =' + flt2str(tl, 1, 4));
  outtextxy(cw, 3*ch, 'Sampling Interval=' + flt2str(dt, 1, 6));
  outtextxy(cw, 4*ch, 'Nyquist Frequency=' + flt2str(nyf, 1, 4));
  outtextxy(cw, 5*ch, 'Bandwidth       =' + flt2str(be, 1, 8));
  with viewcoor do rectangle(xl, yl, xl+20*cw, yl+ch);
  putxscale(xlabel);
end;

```

```

putyscale(ylabel);
with viewcoor do setviewport(x1,y1,x2,y2,true);
if lch=1 then
  moveto(modx(xb,true),mody(logy(a[ist]^r,10),true))
else
  moveto(modx(xb,true),mody(a[ist]^r,true));
for i:=ist to ien do
  if lch=1 then
    lineto(modx((i-1)*dx,true),mody(logy(a[i]^r,10),true))
  else
    lineto(modx((i-1)*dx,true),mody(a[i]^r,true));
setviewport(0,0,getmaxx,getmaxy,true);
repeat until readkey=#13;
xw0:=xb;
yw0:=yb;
xw:=xb;
yw:=yb;
if heading='SPECTRUM' then begin
  jsx:=windowwidth/(viewportwidth+1);
  dx:=ln(jsx)/ln(10);
  if dx<0 then i:=trunc(dx)-1 else i:=trunc(dx);
  if i<>0 then
    jsx:=int(jsx/exp(i*ln(10)))*exp(i*ln(10))
  else
    jsx:=int(jsx);
  jsy:=windowheight/(viewportheight+1);
  dx:=ln(jsy)/ln(10);
  if dx<0 then i:=trunc(dx)-1 else i:=trunc(dx);
  if i<>0 then
    jsy:=int(jsy/exp(i*ln(10)))*exp(i*ln(10))
  else
    jsy:=int(jsy);
  jsm:=5;
  newplus;
end;
end;

procedure graphhandle;
var
  xb,xe,yb,ye:double;
begin
repeat
  s:=readkey;
  case s of
    #0 :begin
      s:=readkey;
      case s of
        #77:begin
          xw:=xw+jsm*jsx;
          carryplus(modx(xw,false),mody(yw,false),6);
        end;
        #75:begin
          xw:=xw-jsm*jsx;
          carryplus(modx(xw,false),mody(yw,false),4);
        end;
        #72:begin
          yw:=yw+jsm*jsy;
          carryplus(modx(xw,false),mody(yw,false),8);
        end;
        #80:begin
          yw:=yw-jsm*jsy;
          carryplus(modx(xw,false),mody(yw,false),2);
        end;
        #79:begin
          xw:=wincoor.x2;
          carryplus(modx(xw,false),mody(yw,false),6);
        end;
        #71:begin
          xw:=wincoor.x1;
          carryplus(modx(xw,false),mody(yw,false),4);
        end;
      #73:begin

```

```

        yw:=wincoor.y2;
        carryplus(modx(xw,false),mody(yw,false),8);
    end;
#81:begin
    yw:=wincoor.y1;
    carryplus(modx(xw,false),mody(yw,false),2);
end;
#82:begin
    yw0:=yw;
    xw0:=xw;
    putplus;
end;
else
end;
end;
'L','l': lch:=lch*(-1);
#13 :begin
    if xw>1 then begin
        if xw0=xw then xw0:=0 else if xw0>xw then swap(xw,xw0);
        if yw0>yw then yw:=yw0;
        if (yw>0) and (lch=-1) then
            plot('SPECTRUM','w(rad/sec)', 'S(w)',xw0,xw,0,yw)
        else
            plot('SPECTRUM','w(rad/sec)', 'S(w)',xw0,xw,0,-1);
    end;
    end;
#8 :plot('SPECTRUM','w(rad/sec)', 'S(w)',0,nyf,0,-1);
#43 :if jsm<10 then jsm:=jsm+1 else beep;
#45 :if jsm>1 then jsm:=jsm-1 else beep;
else
end;
until s=#27;
end;

begin
clrscr;
initarray;
readfile;
getdataspec;
initialize;
plot('SIGNAL','time',ss,0,t1,0,-1);
zeromean;
wind;
fft(1);
spectra;
smooth(sn);
writefile;
plot('SPECTRUM','w(rad/sec)', 'S(w)',0,nyf,0,-1);
graphhandle;
closegraph;
end.

```

```

        yw:=wincoor.y2;
        carryplus(modx(xw,false),mody(yw,false),8);
    end;
#81:begin
    yw:=wincoor.y1;
    carryplus(modx(xw,false),mody(yw,false),2);
end;
#82:begin
    yw0:=yw;
    xw0:=xw;
    putplus;
end;
else
end;
end;
'L','l': lch:=lch*(-1);
#13 :begin
    if xw>1 then begin
        if xw0=xw then xw0:=0 else if xw0>xw then swap(xw,xw0);
        if yw0>yw then yw:=yw0;
        if (yw>0) and (lch=-1) then
            plot('SPECTRUM','w(rad/sec)', 'S(w)',xw0,xw,0,yw)
        else
            plot('SPECTRUM','w(rad/sec)', 'S(w)',xw0,xw,0,-1);
        end;
    end;
#8 :plot('SPECTRUM','w(rad/sec)', 'S(w)',0,nyf,0,-1);
#43 :if jsm<10 then jsm:=jsm+1 else beep;
#45 :if jsm>1 then jsm:=jsm-1 else beep;
else
end;
until s=#27;
end;

begin
    clrscr;
    initarray;
    readfile;
    getdataspec;
    initialize;
    plot('SIGNAL','time',ss,0,t1,0,-1);
    zeromean;
    wind;
    fft(1);
    spectra;
    smooth(sn);
    writefile;
    plot('SPECTRUM','w(rad/sec)', 'S(w)',0,nyf,0,-1);
    graphhandle;
    closegraph;
end.

```

```

680 VM = VO(I, L): TF = T
690 GOSUB 1990
700 FF(I, L) = FORCE
710 R11(I, L) = DT * FORCE
720 NEXT I
730 FOR I = 1 TO NK
740 R2(I, L) = DT * (VO(I, L) + R11(I, L) / 3)
750 IF I = 1 THEN XM = X0(1, L) + R1(1, L) / 3: XF = X0(2, L) + R1(2, L) / 3: GOTO 770
760 XM = X0(I, L) + R1(I, L) / 3: XB = X0(I - 1, L) + R1(I - 1, L) / 3: XF = X0(I + 1, L)
+ R1(I + 1, L) / 3
770 VM = VO(I, L) + R11(I, L) / 3: TF = T + DT / 3
780 GOSUB 1990
790 R12(I, L) = DT * FORCE
800 NEXT I
810 FOR I = 1 TO NK
820 R3(I, L) = DT * (VO(I, L) + (4 * R11(I, L) + 6 * R12(I, L)) / 25)
830 IF I = 1 THEN XM = X0(1, L) + (4 * R1(1, L) + 6 * R2(1, L)) / 25
840 IF I = 1 THEN XF = X0(2, L) + (4 * R1(2, L) + 6 * R2(2, L)) / 25: GOTO 880
850 XM = X0(I, L) + (4 * R1(I, L) + 6 * R2(I, L)) / 25
860 XB = X0(I - 1, L) + (4 * R1(I - 1, L) + 6 * R2(I - 1, L)) / 25
870 XF = X0(I + 1, L) + (4 * R1(I + 1, L) + 6 * R2(I + 1, L)) / 25
880 VM = VO(I, L) + (4 * R11(I, L) + 6 * R12(I, L)) / 25: TF = T + 2 * DT / 5
890 '
900 GOSUB 1990
910 R13(I, L) = DT * FORCE
920 NEXT I
930 FOR I = 1 TO NK
940 R4(I, L) = DT * (VO(I, L) + (R11(I, L) - 12 * R12(I, L) + 15 * R13(I, L)) / 4)
950 IF I = 1 THEN XM = X0(1, L) + (R1(1, L) - 12 * R2(1, L) + 15 * R3(1, L)) / 4
960 IF I = 1 THEN XF = X0(2, L) + (R1(2, L) - 12 * R2(2, L) + 15 * R3(2, L)) / 4: GOTO
1000
970 XM = X0(I, L) + (R1(I, L) - 12 * R2(I, L) + 15 * R3(I, L)) / 4
980 XF = X0(I + 1, L) + (R1(I + 1, L) - 12 * R2(I + 1, L) + 15 * R3(I + 1, L)) / 4
990 XB = X0(I - 1, L) + (R1(I - 1, L) - 12 * R2(I - 1, L) + 15 * R3(I - 1, L)) / 4
1000 VM = VO(I, L) + (R11(I, L) - 12 * R12(I, L) + 15 * R13(I, L)) / 4: TF = T + DT / 2
1010 GOSUB 1990
1020 R14(I, L) = DT * FORCE
1030 NEXT I
1040 FOR I = 1 TO NK
1050 R5(I, L) = DT * (VO(I, L) + (6 * R11(I, L) + 90 * R12(I, L) - 50 * R13(I, L) + 8 *
R14(I, L)) / 81)
1060 IF I = 1 THEN XM = X0(1, L) + (6 * R1(1, L) + 90 * R2(1, L) - 50 * R3(1, L) + 8 *
R4(1, L)) / 81
1070 IF I = 1 THEN XF = X0(2, L) + (6 * R1(2, L) + 90 * R2(2, L) - 50 * R3(2, L) + 8 *
R4(2, L)) / 81
1080 IF I = 1 THEN GOTO 1130
1090 '
1100 XM = X0(I, L) + (6 * R1(I, L) + 90 * R2(I, L) - 50 * R3(I, L) + 8 * R4(I, L)) / 81
1110 XB = X0(I - 1, L) + (6 * R1(I - 1, L) + 90 * R2(I - 1, L) - 50 * R3(I - 1, L) + 8 *
R4(I - 1, L)) / 81
1120 XF = X0(I + 1, L) + (6 * R1(I + 1, L) + 90 * R2(I + 1, L) - 50 * R3(I + 1, L) + 8 *
R4(I + 1, L)) / 81
1130 VM = VO(I, L) + (6 * R11(I, L) + 90 * R12(I, L) - 50 * R13(I, L) + 8 * R14(I, L)) /
81: TF = T + 2 * DT / 3
1140 GOSUB 1990
1150 R15(I, L) = DT * FORCE
1160 NEXT I
1170 FOR I = 1 TO NK
1180 R6(I, L) = DT * (VO(I, L) + (6 * R11(I, L) + 36 * R12(I, L) + 10 * R13(I, L) + 8 *
R14(I, L)) / 75)
1190 IF I = 1 THEN XM = X0(1, L) + (6 * R1(1, L) + 36 * R2(1, L) + 10 * R3(1, L) + 8 *
R4(1, L)) / 75
1200 IF I = 1 THEN XF = X0(2, L) + (6 * R1(2, L) + 36 * R2(2, L) + 10 * R3(2, L) + 8 *
R4(2, L)) / 75
1210 IF I = 1 THEN GOTO 1240
1220 XM = X0(I, L) + (6 * R1(I, L) + 36 * R2(I, L) + 10 * R3(I, L) + 8 * R4(I, L)) / 75:
TF = T + 4 * DT / 5
1230 XB = X0(I - 1, L) + (6 * R1(I - 1, L) + 36 * R2(I - 1, L) + 10 * R3(I - 1, L) + 8 *
R4(I - 1, L)) / 75
1240 XF = X0(I + 1, L) + (6 * R1(I + 1, L) + 36 * R2(I + 1, L) + 10 * R3(I + 1, L) + 8 *
R4(I + 1, L)) / 75

```

```

1250 VM = VO(I, L) + (6 * R11(I, L) + 36 * R12(I, L) + 10 * R13(I, L) + 8 * R14(I, L)) /
75: TF = T + 4 * DT / 5
1260 GOSUB 1990
1270 R16(I, L) = DT * FORCE
1280 NEXT I
1290 FOR I = 1 TO NK
1300 X0(I, L + 1) = X0(I, L) + (23 * R1(I, L) + 125 * R3(I, L) - 81 * R5(I, L) + 125 *
R6(I, L)) / 192
1310 VO(I, L + 1) = VO(I, L) + (23 * R11(I, L) + 125 * R13(I, L) - 81 * R15(I, L) + 125 *
R16(I, L)) / 192
1320 ID = ID + VO(I, L + 1) * VO(I, L + 1) / (1 + ND * VO(I, L + 1) * VO(I, L + 1))
1330 NEXT I
1340 M = M + 1
1350 T = T + DT
1360 TF = T
1370 FOR I = 1 TO NK
1380 IF I = 1 THEN XM = X0(1, L + 1): XF = X0(2, L + 1): GOTO 1400
1390 XM = X0(I, L + 1): XB = X0(I - 1, L + 1): XF = X0(I + 1, L + 1)
1400 VM = VO(I, L + 1): TF = T
1410 GOSUB 1990
1420 FF(I, L + 1) = FORCE
1430 NEXT I
1440 NEXT L
1450 PII = 2 * 3.1216 / DT
1460 'ff(i,1)=0
1470 FOR I = 1 TO NK
1480 PRX(I) = X0(I, 4) + (DT / 24) * (55 * VO(I, 4) - 59 * VO(I, 3) + 37 * VO(I, 2) - 9 *
VO(I, 1))
1490 PRV(I) = VO(I, 4) + (DT / 24) * (55 * FF(I, 4) - 59 * FF(I, 3) + 37 * FF(I, 2) - 9 *
FF(I, 1))
1500 CRX(I) = X0(I, 4) + (DT / 24) * (9 * PRV(I) + 19 * VO(I, 4) - 5 * VO(I, 3) + VO(I,
2))
1510 NEXT I
1530 FOR I = 1 TO NK
1540 IF I = 1 THEN XM = PRX(1): XF = PRX(2): GOTO 1560
1550 XM = PRX(I): XF = PRX(I + 1): XB = PRX(I - 1)
1560 VM = PRV(I): TF = T
1570 GOSUB 1990
1580 FF1(I) = FORCE
1590 CRV(I) = VO(I, 4) + (DT / 24) * (9 * FF1(I) + 19 * FF(I, 4) - 5 * FF(I, 3) + FF(I,
2))
1600 NEXT I
1610 IF M / PII > NL THEN GOSUB 2080
1620 M = M + 1: T = T + DT
1630 FOR I = 1 TO NK
1640 X0(I, 1) = X0(I, 2)
1650 X0(I, 2) = X0(I, 3)
1660 X0(I, 3) = X0(I, 4)
1670 X0(I, 4) = CRX(I)
1680 VO(I, 1) = VO(I, 2)
1690 VO(I, 2) = VO(I, 3)
1700 VO(I, 3) = VO(I, 4)
1710 VO(I, 4) = CRV(I)
1720 FF(I, 1) = FF(I, 2)
1730 FF(I, 2) = FF(I, 3)
1740 FF(I, 3) = FF(I, 4)
1750 FF(I, 4) = FF1(I)
1760 NEXT I
1770 CXMEAN = 0: CVMEAN = 0
1780 FOR I = 1 TO NK
1790 CXMEAN = CXMEAN + CRX(I) / NK: CVMEAN = CVMEAN + CRV(I) / NK
1800 NEXT I
1810 IF ISEC = 2 THEN PSET (sfac * CXMEAN, sfac * CVMEAN)
1820 NKM = INT(NK / 2) + 1
1830 IF ISEC = 20 THEN PSET (sfac * CRX(NKM), sfac * CRV(NKM))
1840 IF M / PII <= NL + 1 THEN GOTO 1470
1850 IF ISEC = 20 THEN GOTO 480
1860 IF ISEC = 2 THEN GOTO 480
1870 IDI = ID / PII
1871 IDI2 = (IDI2 / NK) / PII
1872 q2 = 2 * IDI2 * kkb2 / (osj * FSB * FSB)
1880 q1 = 2 * IDI * KKB / (os * FSB * FSB): q3 = q2 + q1

```

```

1890 s1 = LOG(os) / 2.303 / 2
1900 'Where q10 is normalized properly with respect to resonance frequency
1910 IF (ISEC = 1) AND (sfac > 0) THEN
1911   LOCATE 1, 20
1912   IF 4 * sfac * q3 - 2 > 2 THEN
1913     PRINT "OUT"
1914   ELSE
1915     PRINT "IN "
1916     PSET (s1, -2 + 4 * sfac * q3)
1917   END IF
1918 END IF
1920 IF (ISEC = 1) AND (sfac = 0) THEN
1921   LOCATE 1, 20
1922   IF ABS(LOG(q3) / 2.303 / 2) > 2 THEN
1923     PRINT "OUT"
1924   ELSE
1925     PRINT "IN "
1926     PSET (s1, LOG(q3) / 2.303 / 2)
1927   END IF
1928 END IF
1930 os = os * 10 ^ .1
1940 IF os > 100 THEN GOTO 1960
1950 GOTO 540
1960 INPUT KJ
1970 END
1980 ' the following system involves the coulombic kink-kink interaction
1990 IF NK = 1 THEN FORCE = 2 * KKK * KP * XM: GOTO 2070
2000 IF I = 1 THEN FACTO1 = ((XF - KPB * XM) / 2 / DW + 1) / (XM / D1W + 1) ^ 2 / ((XF -
XM) / DW + 1) ^ 2
2010 IF I = 1 THEN FORCE = KKK0 * (XF - KPA * XM) * FACTO1: GOTO 2070
2020 IF I = NK THEN FACTO2 = ((-XB + KPB * XM) / 2 / DW + 1) / (XM / D1W - 1) ^ 2 / ((XM -
XB) / DW + 1) ^ 2
2030 IF I = NK THEN FORCE = -KKKO * (-XB + KPA * XM) * FACTO2: GOTO 2070
2040 FACTO = ((XF - XB) / DW / 2 + 1) / ((XF - XM) / DW + 1) / ((XM - XB) / DW + 1)
2050 FACTO = FACTO / ((XF - XM) / DW + 1) / ((XM - XB) / DW + 1)
2060 FORCE = KKK0 * (XF - 2 * XM + XB) * FACTO
2070 FBI = FBIAS * (1 - EXP(-TF / 2))
2071 IF I = NKO THEN GOTO 2073
2072 FORCE = FORCE + (F * SIN(TF) + FBI) - B * VM / (1 + ND * VM * VM): RETURN
2073 FORCE = FORCE + (F * SIN(TF) + FBI) - B * VM / (1 + ND * VM * VM)
2074 FORCE = FORCE - B2 * VM / (1 + ND * BET * BET * VM * VM): RETURN
2080 IDME = 0
2090 FOR I = 1 TO NK
2100 IDME = IDME + CRV(I) * CRV(I) / (1 + ND * CRV(I) * CRV(I))
2110 NEXT I
2111 ID2 = ID2 + CRV(NKO) * CRV(NKO) * BET * BET / (1 + ND * BET * BET * CRV(NKO) *
CRV(NKO))
2120 ID = ID + IDME / NK
2130 RETURN
2140 DAY = VAL(MIDS(DATE$, 4, 2)): LOCATE 1, 30: PRINT DAY - 1; ":"; TIME$
2150 RETURN

```

```

LUMPAM53.PAS
10 'Decoration Damping Peak in Kink Chain-Interstitial System
20 'It starts with Runge-Kutta and Continous with Adams Moulton
30 ' File Name /LUMPAm53/
40 DEFDBL B-D, F, K, O-P, R, T, V, X
50 SCREEN 12: KEY OFF
60 DIM X0#(50, 5), V0#(50, 5), FF#(50, 5), r1#(50, 5), r2#(50, 5), r3#(50, 5), r4#(50, 5)
70 DIM r11#(50, 5), r12#(50, 5), r13#(50, 5), r14#(50, 5), r15#(50, 5), R16#(50, 5)
80 DIM FF1#(50), prx#(50), prv#(50), CRX#(50), CRV#(50), r5(50, 5), R6(50, 5)
90 VIEW (64, 96)-(576, 393)
100 WINDOW (-3, -2)-(1, 2)
110 LINE (-3, -2)-(1, -2)
120 LINE (1, -2)-(1, 2)
130 LINE (1, 2)-(-3, 2)
140 LINE (-3, 2)-(-3, -2)
150 LINE (0, -2)-(0, 2)
160 LINE (-3, 0)-(1, 0)
170 FOR I = -3 TO 3
180 COOR = I / 2
190 LINE (COOR - 1, -2)-(COOR - 1, -1.94)
200 LINE (-3, COOR)-(-2.96, COOR)
210 NEXT I
280 LOCATE 16, 4: PRINT "1/Q";
282 LOCATE 11, 4: PRINT "100"
284 LOCATE 21, 4: PRINT ".01"
290 XX$ = "0.000001" + SPACE$(9) + "0.0001" + SPACE$(13) + CHR$(234) + "s" + SPACE$(14) +
"1" + SPACE$(14) + "100"
300 LOCATE 26, 5: PRINT XX$;
360 LOCATE 1, 60
370 PRINT "Sec: Q=1, Phase=2"
380 LOCATE 2, 60
390 INPUT ISEC
400 LOCATE 1, 1
410 LOCATE 3, 60
420 PRINT "Nvisco,SFact,Pin"
430 LOCATE 4, 60
440 INPUT ND, sfac, spin
450 LOCATE 1, 1: PRINT "File: LUMPAM53"
460 LOCATE 2, 1: PRINT "Enter Oab,dT,NLoop,Kapa1,Kapa2,LL,Fs"
470 LOCATE 3, 1: INPUT oab, DT1, NL, kkb, kkb2, LL, FSB
480 LOCATE 4, 1: PRINT "Enter Bias,A'/A,KINK,NKO,OS,DQ,BETO,THO"
490 LOCATE 5, 1: INPUT FBIA, KP, NK, nko, os, DQ, BETO, OS2
500 'TIMER ON
510 'TIME$ = "0:0:0": DATE$ = "1-1-1988": LOCATE 1, 30: PRINT " 0:"; TIME$
520 'ON TIMER(300) GOSUB 2140
530 NKK = NK - 1 + 2 * SQR(KP): D0 = LL / NKK: D01 = D0 * SQR(KP)
540 DW = os * D0: D1W = DW * SQR(KP): KPA = (SQR(KP) + 1) / SQR(KP): KPB = (SQR(KP) - 1) /
SQR(KP)
550 FBIAS = FBIA * os / (oab * oab)
551 QI = LOG(os / OS2): bet = BETO * EXP(DQ * QI): osj = os * bet
552 B2 = osj * kkb2 / (oab * oab)
555 IF (kkb2 * bet / kkb > 30) AND (kkb2 * osj > 100) THEN pin = spin ELSE pin = 0
556 B = os * kkb / (oab * oab): F = os * FSB / (oab * oab): KKK0 = NKK ^ 2 / (3.1416 ^ 2 *
oab * oab)
561 'time constant estimation procedure
565 t1 = 2 * oab * oab / (kkb * os): t2 = 2 * oab * oab / (kkb2 * osj)
566 IF (t2 < t1) AND (pin = 0) THEN t1 = t2
567 IF t1 > 1 THEN DT = .001
568 IF t1 < 1 THEN DT = t1 / DT1

570 T = 0: M = 1: ID = 0: IDI = 0: s1 = 0: P1 = 0: CXMEAN = 0: CVMEAN = 0
571 ID12 = 0: ID2 = 0
580 FOR L = 1 TO 4
590 FOR I = 1 TO NK
600 X0(I, L) = 0: V0(I, L) = 0
610 NEXT I
620 NEXT L
630 FOR L = 1 TO 3
640 FOR I = 1 TO NK
641 IF (I = nko) AND (pin = 1) THEN r1(I, L) = r11(I, L) = 0: GOTO 720
650 r1(I, L) = DT * V0(I, L)

```

```

660 IF I = 1 THEN XM = X0(1, L): XF = X0(2, L): GOTO 680
670 XM = X0(I, L): XB = X0(I - 1, L): XF = X0(I + 1, L)
680 VM = VO(I, L): TF = T
690 GOSUB 1990
700 FF(I, L) = FORCE
710 r11(I, L) = DT * FORCE
720 NEXT I
730 FOR I = 1 TO NK
731 IF (I = nko) AND (pin = 1) THEN r2(I, L) = r12(I, L) = 0: GOTO 800
740 r2(I, L) = DT * (VO(I, L) + r11(I, L) / 3)
750 IF I = 1 THEN XM = X0(1, L) + r1(1, L) / 3: XF = X0(2, L) + r1(2, L) / 3: GOTO 770
760 XM = X0(I, L) + r1(I, L) / 3: XB = X0(I - 1, L) + r1(I - 1, L) / 3: XF = X0(I + 1, L)
+ r1(I + 1, L) / 3
770 VM = VO(I, L) + r11(I, L) / 3: TF = T + DT / 3
780 GOSUB 1990
790 r12(I, L) = DT * FORCE
800 NEXT I
810 FOR I = 1 TO NK
811 IF (I = nko) AND (pin = 1) THEN r3(I, L) = r13(I, L) = 0: GOTO 920
820 r3(I, L) = DT * (VO(I, L) + (4 * r11(I, L) + 6 * r12(I, L)) / 25)
830 IF I = 1 THEN XM = X0(1, L) + (4 * r1(1, L) + 6 * r2(1, L)) / 25
840 IF I = 1 THEN XF = X0(2, L) + (4 * r1(2, L) + 6 * r2(2, L)) / 25: GOTO 880
850 XM = X0(I, L) + (4 * r1(I, L) + 6 * r2(I, L)) / 25
860 XB = X0(I - 1, L) + (4 * r1(I - 1, L) + 6 * r2(I - 1, L)) / 25
870 XF = X0(I + 1, L) + (4 * r1(I + 1, L) + 6 * r2(I + 1, L)) / 25
880 VM = VO(I, L) + (4 * r11(I, L) + 6 * r12(I, L)) / 25: TF = T + 2 * DT / 5
890 '
900 GOSUB 1990
910 r13(I, L) = DT * FORCE
920 NEXT I
930 FOR I = 1 TO NK
931 IF (I = nko) AND (pin = 1) THEN r4(I, L) = r14(I, L) = 0: GOTO 1030
940 r4(I, L) = DT * (VO(I, L) + (r11(I, L) - 12 * r12(I, L) + 15 * r13(I, L)) / 4)
950 IF I = 1 THEN XM = X0(1, L) + (r1(1, L) - 12 * r2(1, L) + 15 * r3(1, L)) / 4
960 IF I = 1 THEN XF = X0(2, L) + (r1(2, L) - 12 * r2(2, L) + 15 * r3(2, L)) / 4: GOTO
1000
970 XM = X0(I, L) + (r1(I, L) - 12 * r2(I, L) + 15 * r3(I, L)) / 4
980 XF = X0(I + 1, L) + (r1(I + 1, L) - 12 * r2(I + 1, L) + 15 * r3(I + 1, L)) / 4
990 XB = X0(I - 1, L) + (r1(I - 1, L) - 12 * r2(I - 1, L) + 15 * r3(I - 1, L)) / 4
1000 VM = VO(I, L) + (r11(I, L) - 12 * r12(I, L) + 15 * r13(I, L)) / 4: TF = T + DT / 2
1010 GOSUB 1990
1020 r14(I, L) = DT * FORCE
1030 NEXT I
1040 FOR I = 1 TO NK
1050 r5(I, L) = DT * (VO(I, L) + (6 * r11(I, L) + 90 * r12(I, L) - 50 * r13(I, L) + 8 *
r14(I, L)) / 81)
1051 IF (I = nko) AND (pin = 1) THEN r14(I, L) = r4(I, L) = 0: GOTO 1160
1060 IF I = 1 THEN XM = X0(1, L) + (6 * r1(1, L) + 90 * r2(1, L) - 50 * r3(1, L) + 8 *
r4(1, L)) / 81
1070 IF I = 1 THEN XF = X0(2, L) + (6 * r1(2, L) + 90 * r2(2, L) - 50 * r3(2, L) + 8 *
r4(2, L)) / 81
1080 IF I = 1 THEN GOTO 1130
1090 '
1100 XM = X0(I, L) + (6 * r1(I, L) + 90 * r2(I, L) - 50 * r3(I, L) + 8 * r4(I, L)) / 81
1110 XB = X0(I - 1, L) + (6 * r1(I - 1, L) + 90 * r2(I - 1, L) - 50 * r3(I - 1, L) + 8 *
r4(I - 1, L)) / 81
1120 XF = X0(I + 1, L) + (6 * r1(I + 1, L) + 90 * r2(I + 1, L) - 50 * r3(I + 1, L) + 8 *
r4(I + 1, L)) / 81
1130 VM = VO(I, L) + (6 * r11(I, L) + 90 * r12(I, L) - 50 * r13(I, L) + 8 * r14(I, L)) /
81: TF = T + 2 * DT / 3
1140 GOSUB 1990
1150 r15(I, L) = DT * FORCE
1160 NEXT I
1170 FOR I = 1 TO NK
1180 R6(I, L) = DT * (VO(I, L) + (6 * r11(I, L) + 36 * r12(I, L) + 10 * r13(I, L) + 8 *
r14(I, L)) / 75)
1181 IF (I = nko) AND (pin = 1) THEN r5(I, L) = r15(I, L) = 0: GOTO 1280
1190 IF I = 1 THEN XM = X0(1, L) + (6 * r1(1, L) + 36 * r2(1, L) + 10 * r3(1, L) + 8 *
r4(1, L)) / 75
1200 IF I = 1 THEN XF = X0(2, L) + (6 * r1(2, L) + 36 * r2(2, L) + 10 * r3(2, L) + 8 *
r4(2, L)) / 75
1210 IF I = 1 THEN GOTO 1240

```

```

1220 XM = X0(I, L) + (6 * r1(I, L) + 36 * r2(I, L) + 10 * r3(I, L) + 8 * r4(I, L)) / 75:
TF = T + 4 * DT / 5
1230 XB = X0(I - 1, L) + (6 * r1(I - 1, L) + 36 * r2(I - 1, L) + 10 * r3(I - 1, L) + 8 * r4(I - 1, L)) / 75
1240 XF = X0(I + 1, L) + (6 * r1(I + 1, L) + 36 * r2(I + 1, L) + 10 * r3(I + 1, L) + 8 * r4(I + 1, L)) / 75
1250 VM = V0(I, L) + (6 * r11(I, L) + 36 * r12(I, L) + 10 * r13(I, L) + 8 * r14(I, L)) /
75: TF = T + 4 * DT / 5
1260 GOSUB 1990
1270 R16(I, L) = DT * FORCE
1280 NEXT I
1290 FOR I = 1 TO NK
1291 IF (I = nko) AND (pin = 1) THEN GOTO 1330
1300 X0(I, L + 1) = X0(I, L) + (23 * r1(I, L) + 125 * r3(I, L) - 81 * r5(I, L) + 125 *
R6(I, L)) / 192
1310 V0(I, L + 1) = V0(I, L) + (23 * r11(I, L) + 125 * r13(I, L) - 81 * r15(I, L) + 125 *
R16(I, L)) / 192
1320 ID = ID + V0(I, L + 1) * V0(I, L + 1) / (1 + ND * V0(I, L + 1) * V0(I, L + 1))
1330 NEXT I
1340 M = M + 1
1350 T = T + DT
1360 TF = T
1370 FOR I = 1 TO NK
1371 IF (I = nko) AND (pin = 1) THEN FF(I, L + 1) = 0: GOTO 1430
1380 IF I = 1 THEN XM = X0(1, L + 1): XF = X0(2, L + 1): GOTO 1400
1390 XM = X0(I, L + 1): XB = X0(I - 1, L + 1): XF = X0(I + 1, L + 1)
1400 VM = V0(I, L + 1): TF = T
1410 GOSUB 1990
1420 FF(I, L + 1) = FORCE
1430 NEXT I
1440 NEXT L
1450 PII = 2 * 3.1216 / DT
1460 'ff(i,1)=0
1470 FOR I = 1 TO NK
1471 IF (I = nko) AND (pin = 1) THEN prx(I) = prv(I) = 0: GOTO 1510
1480 prx(I) = X0(I, 4) + (DT / 24) * (55 * V0(I, 4) - 59 * V0(I, 3) + 37 * V0(I, 2) - 9 *
V0(I, 1))
1490 prv(I) = V0(I, 4) + (DT / 24) * (55 * FF(I, 4) - 59 * FF(I, 3) + 37 * FF(I, 2) - 9 *
FF(I, 1))
1500 CRX(I) = X0(I, 4) + (DT / 24) * (9 * prv(I) + 19 * V0(I, 4) - 5 * V0(I, 3) + V0(I,
2))
1510 NEXT I
1530 FOR I = 1 TO NK
1531 IF (I = nko) AND (pin = 1) THEN FF1(I) = CRV(I) = CRX(I) = 0: GOTO 1600
1540 IF I = 1 THEN XM = prx(1): XF = prx(2): GOTO 1560
1550 XM = prx(1): XF = prx(I + 1): XB = prx(I - 1)
1560 VM = prv(I): TF = T
1570 GOSUB 1990
1580 FF1(I) = FORCE
1590 CRV(I) = V0(I, 4) + (DT / 24) * (9 * FF1(I) + 19 * FF(I, 4) - 5 * FF(I, 3) + FF(I,
2))
1600 NEXT I
1610 IF M / PII > NL THEN GOSUB 2080
1620 M = M + 1: T = T + DT
1630 FOR I = 1 TO NK
1640 X0(I, 1) = X0(I, 2)
1650 X0(I, 2) = X0(I, 3)
1660 X0(I, 3) = X0(I, 4)
1670 X0(I, 4) = CRX(I)
1680 V0(I, 1) = V0(I, 2)
1690 V0(I, 2) = V0(I, 3)
1700 V0(I, 3) = V0(I, 4)
1710 V0(I, 4) = CRV(I)
1720 FF(I, 1) = FF(I, 2)
1730 FF(I, 2) = FF(I, 3)
1740 FF(I, 3) = FF(I, 4)
1750 FF(I, 4) = FF1(I)
1760 NEXT I
1770 CXMEAN = 0: CVMEAN = 0
1780 FOR I = 1 TO NK
1790 CXMEAN = CXMEAN + CRX(I) / NK: CVMEAN = CVMEAN + CRV(I) / NK
1800 NEXT I

```

```

1810 IF ISEC = 2 THEN PSET (sfac * CXMEAN, sfac * CVMEAN)
1820 NKM = INT(NK / 2) + 1
1830 IF ISEC = 20 THEN PSET (sfac * CRX(NKM), sfac * CRV(NKM))
1840 IF M / PII <= NL + 1 THEN GOTO 1470
1850 IF ISEC = 20 THEN GOTO 480
1860 IF ISEC = 2 THEN GOTO 480
1870 IDI = ID / PII
1871 IDI2 = (IDI2 / NK) / PII
1872 q2 = 2 * IDI2 * kkb2 / (osj * FSB * FSB)
1880 Q1 = 2 * IDI * kkb / (os * FSB * FSB): q3 = q2 + Q1
1890 s1 = LOG(os) / 2.303 / 2
1900 'Where q10 is normalized properly with respect to resonance frequency
1910 IF (ISEC = 1) AND (sfac > 0) THEN
1911 LOCATE 1, 20
1912 IF 4 * sfac * q3 - 2 > 2 THEN
1913 PRINT "OUT"
1914 ELSE
1915 PRINT "IN "
1916 PSET (s1, -2 + 4 * sfac * q3)
1917 END IF
1918 END IF
1920 IF (ISEC = 1) AND (sfac = 0) THEN
1921 LOCATE 1, 20
1922 IF ABS(LOG(Q1) / 2.303 / 2) > 2 THEN
1923 PRINT "OUT"
1924 ELSE
1925 PRINT "IN "
1926 PSET (s1, LOG(Q1) / 2.303 / 2)
1927 END IF
1928 END IF
1930 os = os * 10 ^ .1
1940 IF os > 100 THEN GOTO 1960
1950 GOTO 540
1960 INPUT KJ
1970 END
1980 ' the following system involves the coulombic kink-kink interaction
1990 IF NK = 1 THEN FORCE = 2 * KKK * KP * XM: GOTO 2070
2000 IF I = 1 THEN FACTO1 = ((XF - KPB * XM) / 2 / DW + 1) / (XM / DIW + 1) ^ 2 / ((XF -
XM) / DW + 1) ^ 2
2010 IF I = 1 THEN FORCE = KKKO * (XF - KPA * XM) * FACTO1: GOTO 2070
2020 IF I = NK THEN FACTO2 = ((-XB + KPB * XM) / 2 / DW + 1) / (XM / DIW - 1) ^ 2 / ((XM -
XB) / DW + 1) ^ 2
2030 IF I = NK THEN FORCE = -KKKO * (-XB + KPA * XM) * FACTO2: GOTO 2070
2040 FACTO = ((XF - XB) / DW / 2 + 1) / ((XF - XM) / DW + 1) / ((XM - XB) / DW + 1)
2050 FACTO = FACTO / ((XF - XM) / DW + 1) / ((XM - XB) / DW + 1)
2060 FORCE = KKKO * (XF - 2 * XM + XB) * FACTO
2070 FBI = FBIAS * (1 - EXP(-TF / 2))
2071 IF I = nko THEN GOTO 2073
2072 FORCE = FORCE + (F * SIN(TF) + FBI) - B * VM / (1 + ND * VM * VM): RETURN
2073 FORCE = FORCE + (F * SIN(TF) + FBI) - B * VM / (1 + ND * VM * VM)
2074 FORCE = FORCE - B2 * VM / (1 + ND * bet * bet * VM * VM): RETURN
2080 IDME = 0
2090 FOR I = 1 TO NK
2100 IDME = IDME + CRV(I) * CRV(I) / (1 + ND * CRV(I) * CRV(I))
2110 NEXT I
2111 ID2 = ID2 + CRV(nko) * CRV(nko) * bet * bet / (1 + ND * bet * bet * CRV(nko) *
CRV(nko))
2120 ID = ID + IDME / NK
2130 RETURN
2140 DAY = VAL(MID$(DATES$, 4, 2)): LOCATE 1, 30: PRINT DAY - 1; ":"; TIME$
2150 RETURN

```

Project Director:
Research Asistant:

Professor Dr. Tarik Ömer Oğurtanı
Dr. Mehmet Rauf Güngör

COMPUTER SIMULATION OF INTERNAL FRICTION PEAKS ASSOCIATED WITH THE DISLOCATION - INTERSTITIAL INTERACTIONS IN REFRACTORY METALS

ABSTRACT

The set of non-linear differential equations which describes the kink chain oscillating in an atmosphere of continuously distributed paraelastic interstitials, and in addition, decorated by a dragging point defect at the midpoint, is solved numerically after introducing a novel scaling and re-normalization procedure. The internal friction coefficient obtained indicates the existence of two separate peaks, the decoration peak and the parent peak, which are directly related to the localized point defect dragging and the paraelastic interstitial atmosphere, respectively.

The power spectrum of a built-in kink chain oscillating in an atmosphere of paraelastic interstitials is investigated numerically by utilizing Fast Fourier Transformation technique. Above a sharply defined value of the strain amplitude, the odd-harmonic generation is observed, only at the low temperature side of the dislocation relaxation peak associated with the interstitials-kink interaction. At moderately high strain amplitudes, a strong enhancement in those harmonics that are situated at the immediate vicinity of the natural resonance frequency of the chain, and the complete depression of the rest is clearly seen. Finally, the onset of quasi-chaotic kink oscillations is detected while system strongly driven in the super-Snoek regime where the atmosphere tearing takes place.

Keywords: Internal Friction, Dislocation, Kink, Simulation

BİLYOGRAFİK BİLGİ FORMU

Proje No: TBAG-1211

2- Rapor Tarihi: Ocak 1996

Projenin Başlangıç ve Bitiş Tarihleri: Ekim 1993-Ekim 1995

Projenin Adı:

**Refrakter Metallerde Ara-İkame Atomlarla Dislokasyonların Etkileşimlerinden
Doğan İç Sürtünme Tayflarının Kompüter Simülasyonu**

Proje Yürüttücsü ve Yardımcı Araştırmacılar: Prof. Dr. Tarık Ö. Oğurtanı
Mehmet Rauf Güngör

Projenin Yürüttüğü Kuruluş ve Adresi:
Metalurji Mühendisliği Bölümü
Orta Doğu Teknik Üniversitesi

Destekleyen Kuruluş(ların) Adı ve Adresi:

TÜBİTAK

Öz (Abstract):

Paraelastik, yaygın ara-ikame atomlarından oluşan atmosfer içerisinde osilasyonlar yapan, kink zincirinin ortasına yerleştirilmiş sürünen bir dekoratör atomunu da içeren sistemi temsil eden, eğik differansiyel denklemler takımı, özel bir yeniden normalizasyon ve skalalama teknigi kullanılarak sayısal olarak çözülmüştür. Elde edilen iç sürtünme katsayısi iki ayrı spektrumun varlığını, dekoratör ve ana yaygın ikame atomlarına ait, ortaya atmaktadır ki, bunlar lokalize olmuş nokta (sürünen) hata ve paraelastik ara-ikame atmosferlerini oluşturmaktadırlar, sırasıyla.

Ayrıca, Çabuk Fourier Transformasyonu (Fast Fourier Transformation, FFT) ile paraelastik ara-ikame atmosferinde osilasyon yapan kink zincirinin güç spektral analizi yapılmıştır. Gayet keskin bir şekilde temayüz eden bir gerilim amplitüdünün üstündeki gerilimlerde, ve dislokasyon iç sürtünme tayflının düşük sıcaklıktaki bölgesinde, tek-harmonik jenerasyonuna raslanmıştır. Mütevazi gerilim amplitüdlerinde ise sistemin tabii frekanşı civarındaki harmoniklerde bir şiddetlenme, ve tamamen diğerlerinde bastırılma gözlemlenmiştir. En nihayet, atmosfer yırtma olayına tekabül eden quasi-kaotik kink osilasyonlarına sistem kuvvetli olarak süper-Snoek rejiminde sürüldürken müşahede eilmıştır.

Küçük Kelimeler: İç Sürtünme, Dislokasyon, Kink, Simülasyon

Proje ile ilgili Yayın/Tebliğlerle ilgili Bilgiler

Tarık Oğurtanı, Rauf Güngör, "The Power Spectrum Associated with a Kink" Journal of Alloys and Compounds, 211/212 (1994) p.140-143

Doçentlik B. Dalı Kodu: 604.02.00

ISIC Kodu:

Uzmanlık Alanı Kodu: 604.02.07

Dağıtım (*): Sınırlı Sınırsız

Raporun Gizlilik Durumu :

 Gizli Gizli Değil

Projenizin Sonuç Raporunun ullaştırılmasını istediğiniz kurum ve kuruluşları ayrıca belirtiniz